

საქართველოს ტექნიკური უნივერსიტეტის
ინფორმატიკისა და მართვის სისტემების
ფაკულტეტის „მოდელირებისა და მართვის
საინჟინრო-სამეცნიერო ცენტრი“

თამაზ ობგაძე

ჰიდროდინამიკის სტაციონარული ამოცანების
ამოხსნა რგაჩოვ-ობგაძის დ მეთოდის ბაზაზე
მონოგრაფია

$$\begin{aligned} u \frac{\partial u}{\partial x} + v \frac{\partial u}{\partial y} &= - \frac{\partial p}{\partial x} + \frac{1}{Re} \left(\frac{\partial^2 u}{\partial x^2} + \frac{\partial^2 u}{\partial y^2} \right), \\ u \frac{\partial v}{\partial x} + v \frac{\partial v}{\partial y} &= - \frac{\partial p}{\partial y} + \frac{1}{Re} \left(\frac{\partial^2 v}{\partial x^2} + \frac{\partial^2 v}{\partial y^2} \right), \\ \frac{\partial u}{\partial x} + \frac{\partial v}{\partial y} &= 0. \end{aligned}$$

**საქართველოს ტექნიკური უნივერსიტეტი
ინფორმატიკისა და მართვის სისტემების
ფაკულტეტის „მოდელირებისა და მართვის
საინჟინრო-სამეცნიერო ცენტრი“**

თამაზ ობგაძე

**ჰიდროდინამიკის სტაციონარული ამოცანების
ამოხსნა რეაქტორ-ობგაძის RO-მეთოდის ბაზაზე**

თბილისი

2017

მონოგრაფიას საფუძვლად დაედო ავტორის მიერ მრავალი წლის განმავლობაში ჩატარებული კვლევის შედეგები. იგი სავსებით შეესაბამება დარგის თანამედროვე განვითარების დონეს: მოიცავს რვაჩოვ-ობგაძის RO მეთოდის გამოყენების სხვადასხვა ასპექტს.

განხილულია RO მეთოდის არსი, მისი თავისებურებანი და წარმოშობის წანამდლვრები. მონოგრაფიაში განხილულია გეომეტრიული კოდირების რვაჩოვ-ობგაძის RO მეთოდი და მისი გამოყენება სასაზღვრო ამოცანების ამოსახსნელად.

განხილულია პიდროდინამიკის სტაციონარული ამოცანების ამოსახსნის ალგორითმები და მოყვანილია პრაქტიკული ამოცანების ამოსახსნის პროგრამები Mathcad გარემოში. მოყვანილია სხვადასხვა რიცხვითი მეთოდის შედარებითი ანალიზი.

ნაშრომი განკუთვნილია ინფორმატიკისა და მართვის სისტემების ფაკულტეტის მაგისტრანტებისა და დოქტორანტებისათვის. წიგნი დახმარებას გაუწევს რთული, არაწრფივი მოდელების რიცხვითი რეალიზაციით დაინტერესებულ მკითხველს.

რეცენზენტები: პროფ. თემურ ჩილაჩავა
პროფ. ზურაბ ციცქიშვილი

ISBN 978-9941-20-936-9

c ყველა საავტორო უფლება დაცულია. ამ წიგნის ნებისმიერი ნაწილის (ტექსტი, ფოტო, ილუსტრაცია თუ სხვა) გამოყენება არცერთი ფორმით და საშუალებით (ელექტრონული თუ მექანიკური) არ შეიძლება გამომცემლის წერილობითი ნებართვის გარეშე. საავტორო უფლების დარღვევა ისჯება კანონით.

წინასიტყვაობა

მონოგრაფია „პიდროდინამიკის სტაციონარული ამოცანების ამოხსნა რვაჩოვ-ობგაძის–RO მეთოდის ბაზაზე”, ეძღვნება რვაჩო-ვისა და ობგაძის შრომებში განვითარებულ ალგორითმებს, რომლებიც საშუალებას იძლევა ეფექტურად იქნას შესწავლილი პიდროდინამიკის, ელასტიკურობის, ასტროფიზიკის და ფიზიკის სხვა ამოცანა. მონოგრაფია საინტერესო იქნება ინჟინრებისა და ტექნიკური დარგის მეცნიერ-მკვლევრებისათვის, რომლებიც დაინტერესებული არიან უწყვეტი მათემატიკური მოდელებით აღწერილი პრაქტიკული ამოცანების ამოხსნით.

ნაშრომის პირველ თავში განხილულია ფუნქციონალური სიგრცეების ძირითადი განსაზღვრებები, რაც აუცილებელია შემდგომი მასალის გასაგებად. **მეორე თავი**, ეძღვნება უწყვეტ ტანთა მექანიკის მათემატიკური მოდელების აგების ტექნიკას. **მესამე თავში** შესწავლილია გალიორკინის, გალიორკინ-პეტროვის მეთოდების ალგორითმი, რვაჩოვ-ობგაძის ფუნქციების აგების დიაგრამა და საზღვრის ანალიზური კოდირების RO მეთოდი, რაც საშუალებას იძლევა აგებული იქნება RO მეთოდის ალგორითმი პიდროაეროდინამიკის სხვადასხვა თპერატორული განტოლებისათვის. განხილულია სხვადასხვა შინაარსის პრაქტიკული ამოცანები, რომლებიც ეფექტურად ისხსნება ნაშრომში შემოთავაზებული RO მეთოდის შესაბამისი ალგორითმით. მოცემულია ამ მეთოდის ვარიაციებიც. მონოგრაფიის მეოთხე თავში, მოცემულია რიცხვითი ანალიზის სხვადასხვა ალგორითმი, რომელიც ემყარება RO მეთოდის გამოყენებას პიდროდინამიკის სტაციონარული პროცესებისათვის.

ავტორი მადლობას უხდის მეცნიერ-ხელმძღვანელებს: პროფესორ თეიმურაზ გიორგის ძე ვოინიჩ-სიანოვენცის და აკადემიკოს გიორგი ივანეს ძე პეტროვს, რომელთა შრომისმოყვარეობა, თავდა-დება და სამეცნიერო პატიოსნება მისთვის იყო სტიმულის მომცემი.

ასევე დიდი მადლიერება მინდა გამოვხატო აკადემიკოს არჩილ ფრანგიშვილის მიმართ, რომლის დიდი მხარდაჭერითაც დაიწერა ეს მონოგრაფია.

I თავი. ფუნქციონალური სიმრავლეები

შესავალი

სამყაროს როგორი პროცესების აღსაწერად, როგორც წესი, იყენებენ სხვადასხვა ტიპის ფუნქციას. ამ ფუნქციებს ახასიათებს გარკვეული ზოგადი თვისებები, რის გამოც, მათ აერთიანებენ გარკვეულ კლასებში – ფუნქციონალურ სიმრავლეებში [1-7]. ასევე უწყვეტი პროცესების მოდელირებისას, ვეძებთ დიფერენციალურ (ოპერატორულ) განტოლებათა როგორც კლასიკურ, ისე განზოგადებულ ამონასნებს. ამიტომ, ფუნქციონალური სივრცეების (სიმრავლეების) შესწავლა რიცხვითი ანალიზის ერთ-ერთი მნიშვნელოვანი ამოცანაა.

1.1. წრფივი ფუნქციონალური სივრცე

განსაზღვრება: G სიმრავლეზე განსაზღვრულ ფუნქციათა L სიმრავლეს ეწოდება ლინეალი (წრფივიანი), თუ $u_1(x)$ და $u_2(x)$ ფუნქციებთან ერთად ის შეიცავს მათ წრფივ კომბინაციასაც (ანუ $a_1u_1(x) + a_2u_2(x)$ ფუნქციას).

მაგალითი : 1. ვთქვათ, L არის ჩაკეტილ \bar{G} არეზე განსაზღვრულ უწყვეტ ფუნქციათა სიმრავლე. მაშინ უწყვეტი ფუნქციების თვისებებიდან გამომდინარე, L იქნება ლინეალი.

2. ვთქვათ, L არის ჩაკეტილ \bar{G} არეზე განსაზღვრულ უწყვეტ ფუნქციათა სიმრავლე რომელთათვისაც ადგილი აქვს პირობას $|u(x)| \leq 5$. მაშინ ასეთი ფუნქციების სიმრავლე არ იქნება ლინეალი, რადგან თუ $u(x) = 3$ და $a = 2$, მივიღებთ $au(x) = 6 > 5$.

P.S. თუ L არის ლინეალი, მაშინ ი ფუნქციებთან $\{u_i(x)\}_{i=1}^n$ ერთად ის შეიცავს მათ წრფივ კომბინაციასაც $\sum_{i=1}^n a_i u_i(x)$, სადაც $a_i \in R$ ნამდვილი რიცხვებია, თუმცა, შეიძლება ლინეალი ავაგოთ კომპლექსურ რიცხვთა სიმრავლის ზემოთაც.

განსაზღვრება: L ლინეალის ორი $u(x)$ და $v(x)$ ფუნქციების სკალარული ნამრავლი $(u; v)$ განისაზღვრება ტოლობით:

$$(u; v) = \int_G u(x)v(x)dx . \quad (1.1)$$

ასე რომ, ლინეალის ორი ფუნქციის სკალარული ნამრავლი არის რიცხვი.

მაგალითი : $u(x) = x;$ $v(x) = 1;$ $G = \{x | 0 \leq x \leq 5\};$ გამოიყენოთ სკალარული ნამრავლი იქნება:

$$(u; v) = \int_G u(x)v(x)dx = \int_0^5 x \cdot 1 dx = \frac{x^2}{2} \Big|_0^5 = \frac{25}{2} .$$

(1.1) სკალარული ნამრავლის თვისებები გამომდინარეობს უმუალოდ ინტეგრალის თვისებებიდან:

$$(u; v) = (v; u); \quad (1.2)$$

$$(a_1 u_1 + a_2 u_2; v) = a_1(u_1; v) + a_2(u_2; v); \quad (1.3)$$

$$(u; u) \geq 0; \quad (1.4)$$

$$(u; u) = 0 \Leftrightarrow u(x) \equiv 0 \quad \forall x \in G. \quad (1.5)$$

განსაზღვრება: ლინეალის $u(x)$ ფუნქციის ნორმა $\|u(x)\|$ გვთვალისწინება არაუარყოფით რიცხვს:

$$\|u(x)\| = \sqrt{(u; u)} = \sqrt{\int_G u^2(x)dx} . \quad (1.6)$$

ახლა შემოვიდოთ ლინეალის ორ ფუნქციას შორის მანძილის ცნება, რომელსაც ფუნქციონალურ ანალიზში მეტრიკა ეწოდება:

განსაზღვრება: ლინეალის ორ $u(x)$ და $v(x)$ ფუნქციებს შორის მანძილი (ანუ მეტრიკა) ეწოდება არაუარყოფით რიცხვს:

$$\rho(u; v) = \|u - v\| = \sqrt{(u - v; u - v)} = \sqrt{\int_G (u - v)^2 dx} . \quad (1.7)$$

მაგალითი: $u(x) = x;$ $v(x) = 1;$ $G = \{x | 0 \leq x \leq 5\},$ გამოიყენოთ სკალარული ნამრავლი იქნება:

$$\|u(x)\| = \sqrt{\int_0^5 x^2 dx} = \sqrt{\left. \frac{x^3}{3} \right|_0^5} = \sqrt{\frac{125}{3}} = \frac{5\sqrt{3}}{3} .$$

$$\rho(u;v) = \|u - v\| = \sqrt{(u - v; u - v)} = \sqrt{\int_G (u - v)^2 dx} = \sqrt{\int_0^5 (x-1)^2 dx} = \sqrt{\frac{64+1}{3}} = \sqrt{\frac{65}{3}}.$$

მათემატიკაში გამოყოფენ იმ ძირითად თვისებებს, რომელსაც აკმაყოფილებს მეტრიკა (მანძილი):

$$\rho(u;v) \geq 0; \quad (1.8)$$

$$\rho(u;v) = 0 \Leftrightarrow u(x) = v(x); \quad (1.9)$$

$$\rho(u;v) = \rho(v;u); \quad (1.10)$$

$$\rho(u;z) \leq \rho(u;v) + \rho(v;z). \quad (1.11)$$

ეს ის თვისებებია, რომლებიც განსაზღვრავენ მეტრიკას.

გარდა (1.7) მეტრიკისა, რომელიც ინდუცირებულია ნორმით, ზოგჯერ განიხილავენ მეტრიკის სხვა სახეებსაც. მაგალითად, ჩებიშევის მეტრიკას:

$$\rho_c(u;v) = \max_{x \in G} |u(x) - v(x)|. \quad (1.12)$$

P.S. მეტრიკას, როგორც არ უნდა განისაზღვროს ის, მოეთხოვება მხოლოდ (1.8)-(1.11) თვისებების დაკმაყოფილება. მიუხედავად იმისა, რომ ჩებიშევის (1.12) მეტრიკა უფრო ინტუიციურად ზუსტია (1.7) მეტრიკასთან შედარებით უწყვეტი ფუნქციებისათვის, მას იშვიათად იყენებენ. ეს გამოწვეულია იმით, რომ პრაქტიკაში უფრო ხშირად გვაქს საქმე წყვეტილ ფუნქციებთან, რომლებისთვისაც ჩებიშევის მეტრიკა არ გამოდგება. ამიტომ, ჩვენ შემდგომი აგებებისათვის გამოვიყენებთ (1.7) მეტრიკას, რომელიც სკალარული ნამრავლით განიმარტება. თუ ლინეალს ვაგებთ კომპლექსურ რიცხვთა სიმრავლის ზემოთ, მაშინ სკალარული ნამრავლი განიმარტება ფორმულით $(u;v) = \int_G u(x)\overline{v(x)} dx$, სადაც $\overline{v(x)}$ არის $v(x)$ ფუნქციის კომპლექსურად შეუდლებული ფუნქცია.

1.2. პილბერტის ფუნქციონალური სივრცე

განსაზღვრება: გ არეზე განსაზღვრულ $u(x)$ – ფუნქციას კვადრატით ინტეგრებადი ეწოდება, თუ ლებეგის ინტეგრალები

$$\int_G u(x) dx; \quad \int_G u^2(x) dx; \quad (1.13)$$

ერთდროულად არსებობს (არის კრებადი).

კვადრატით ინტეგრებადი ფუნქციების სიმრავლე, უფრო ფართოა, ვიდრე უწყვეტ ფუნქციათა სიმრავლე.

P.S. თუ, $\int_G u^2(x) dx = 0$, მაშინ $u(x) = 0$ თითქმის ყველგან (გარდა ისეთი

წერტილების სიმრავლისა, რომლის ლებეგის ზომაც უდრის ნულს). ეს ეხება მეტრიკასაც. თუ, ორი ფუნქცია ერთმანეთისაგან განსხვავდება, არაუმეტეს, ვიდრე ნულ ზომის სიმრავლის წერტილებში, მაშინ ამბობენ, რომ ეს ფუნქციები თითქმის ყველგან ემთხვევა ერთმანეთს.

განსაზღვრება: ლ ლინეალს, მასზე განსაზღვრული (1.6) ნორმით და (1.7) მეტრიკით, პილბერტისწინა (უნიტარული) S_2 სივრცე ეწოდება.

გ არეზე განსაზღვრულ უწყვეტ ფუნქციათა სიმრავლეს აღნიშნავენ $C(G)$ სიმბოლოთი, ხოლო, თუ ფუნქციების ნებისმიერი რიგის წარმოებულიც უწყვეტია, მაშინ შესაბამის ფუნქციათა კლასს (სიმრავლეს) აღნიშნავენ $C^\infty(G)$ სიმბოლოთი.

განვიხილოთ მიმდევრობის კრებადობის ცნება S_2 ფუნქციონალურ სივრცეში.

განსაზღვრება: ვიტყვით, რომ $\{u_n(x)\}_{n=1}^\infty$ ფუნქციათა (ფუნქციონალური) მიმდევრობა კრებადია $u(x)$ ფუნქციისაკენ თუ,

$$\lim_{n \rightarrow \infty} \rho(u_n; u) = 0. \quad (1.14)$$

ანუ, თუ

$$\lim_{n \rightarrow \infty} \sqrt{\int_G [u_n(x) - u(x)]^2 dx} = 0. \quad (1.15)$$

ფუნქციონალურ სივრცეებში ბუნებრივად ზოგადდება ის ტოპოლოგიური ცნებები, რაც ჩვენ გვქონდა რიცხვითი სიმრავლე-ებისათვის.

განსაზღვრება: $\{u_n(x)\}_{n=1}^{\infty}$ ფუნქციათა მიმდევრობას კოშის (ფუნდამენტური) მიმდევრობა ეწოდება, თუ $\lim_{\substack{n \rightarrow \infty \\ m \rightarrow \infty}} \rho(u_m; u_n) = 0$.

განსაზღვრება: ვიტყვით, რომ $u(x)$ წარმოადგენს S_2 უნიტარული სივრცის ზღვარით წერტილს, თუ $u(x)$ ფუნქციის ნებისმიერი მიდამოსათვის მოიძებნება S_2 სივრცის ისეთი ელემენტები, რომლებიც ამ მიდამოს ეკუთვნის.

თეორემა: $u(x)$ ფუნქცია არის S_2 უნიტარული სივრცის ზღვარითი წერტილი, მაშინ და მხოლოდ მაშინ, როცა არსებობს ამ სივრცის ელემენტების (ფუნქციების) ისეთი მიმდევრობა $\{u_n(x)\}_{n=1}^{\infty}$, რომელიც კრებადია $u(x)$ ფუნქციისაკენ.

P.S. ისევე, როგორც რაციონალურ რიცხვთა სიმრავლის შემთხვევაში, S_2 უნიტარული სივრცის ზღვარითი წერტილი შეიძლება არ ეკუთვნოდეს ამ სივრცეს.

განსაზღვრება: S_2 უნიტარული (ჰილბერტის წინა) სივრცის გაერთიანებას მისი ზღვარითი წერტილების სიმრავლესთან, ამ სივრცის ჩაკეტვა ეწოდება.

ეს განსაზღვრება სიმბოლურად ასე ჩაიწერება:

$$\overline{S_2} = S_2 \cup \partial S_2. \quad (1.16)$$

განსაზღვრება: ჰილბერტის წინა (უნიტარული) სივრცის $\overline{S_2}$ ჩაკეტვას, ჰილბერტის $L_2(G)$ სივრცე ეწოდება.

განსაზღვრება: წრფივ, მეტრიკულ, ნორმირებულ სივრცეს, რომელიც სრულია ნორმით ინდუცირებული მეტრიკის მიმართ ბანახის სივრცე ეწოდება.

P.S. ჰილბერტის $L_2(G)$ სივრცე სრულია ანუ მასში ყველა კოშის (ფუნდამენტური) მიმდევრობა კრებადია. სხვანაირად, ის შეიცავს თავის ყველა ზღვარით წერტილს. ისევე, როგორც რაციონალურ რიცხვთა სიმრავლე არის მკვრივი ნამდვილ რიცხვთა სიმრავლეში; ყველა რაციონალურ კოეფიციენტებიანი პოლინომების (ფუნქციების)

სიმრავლეც მკვრივია $L_2(G)$ ჰილბერტის სივრცეში. ამიტომ, ჰილბერტის სივრცეც სეპარაბელურია, ისევე, როგორც ნამდვილ რიცხვთა სიმრავლე. სივრცის სეპარაბელურობა საშუალებას იძლევა, მის ელემენტებს მივუახლოვდეთ მასში მოთავსებული მკვრივი ქვესიმრავლის ელემენტების კრებადი მიმდევრობით; რაც დიდ გამოყენებას პოულობს მიახლოვებით ანალიზში. ჰილბერტის სივრცე ყოველთვის არის ბანახის სივრცეც. ჰილბერტის ფუნქციონალური სივრცე წარმოადგენს კვადრატით ინტეგრებადი ფუნქციების (ალაგალაგ უწყვეტი) სიმრავლეს.

უნდა აღინიშნოს, რომ ჰილბერტის სივრცე $L_2(G)$, ამავე დროს, ბანახის სივრცეა; ხოლო ბანახის სივრცე ყოველთვის არაა ჰილბერტის სივრცე (რადგან ბანახის სივრცეში არაა სავალდებულო რომ, გვქონდეს სკალარული ნამრავლი).

განსაზღვრება: ფუნქციათა სისტემას $\{u_n(x)\}_{n=1}^k$ ეწოდება წრფივად დამოკიდებული, თუ ამ სისტემის ერთ ფუნქცია მაინც, შეიძლება გამოვსახოთ, როგორც დანარჩენი ფუნქციების წრფივი კომბინაცია. თუ, ფუნქციათა სისტემა არაა წრფივად დამოკიდებული, მაშინ მას წრფივად დამოუკიდებელი სისტემა ეწოდება.

მაგალითი: ფუნქციათა სისტემა $u_1 = \sin^2 xy; u_2 = \cos^2 xy; u_3 = 4$ წრფივად დამოკიდებულია, რადგან $u_3 = 4u_1 + 4u_2$.

იმისათვის, რომ გამოვარკვიოთ ფუნქციათა სისტემის წრფივად დამოუკიდებლობის საკითხი უნდა დავთვალოთ ამ სისტემის გრამის დეტერმინანტი.

თეორემა: ფუნქციათა სისტემა $\{u_n(x)\}_{n=1}^k$ წრფივად დამოუკიდებელია ჰილბერტის $L_2(G)$ სივრცეში, მაშინ და მხოლოდ მაშინ, როცა ამ სისტემის გრამის დეტერმინანტი განსხვავებულია ნულისაგან ანუ

$$D(u_1; u_2; \dots; u_k) = \begin{vmatrix} (u_1; u_1) & (u_1; u_2) & \dots & (u_1; u_k) \\ (u_2; u_1) & (u_2; u_2) & \dots & (u_2; u_k) \\ \vdots & \vdots & \ddots & \vdots \\ (u_k; u_1) & (u_k; u_2) & \dots & (u_k; u_k) \end{vmatrix} \neq 0. \quad (1.17)$$

მაგალითი: ფუნქციათა სისტემა $u_1 = \sin x; u_2 = \cos x; u_3 = 1$ წრფივად დამოუკიდებელია $L_2[0; \pi]$ სივრცეში, რადგან

$$(u_1; u_1) = \int_0^\pi \sin^2 x dx = \frac{\pi}{2}; \quad (u_1; u_2) = \int_0^\pi \sin x \cos x dx = 0; \quad (u_1; u_3) = 2; \quad (u_2; u_2) = \pi.$$

$$D = \begin{vmatrix} \frac{\pi}{2} & 0 & 2 \\ 0 & \frac{\pi}{2} & 0 \\ 2 & 0 & \pi \end{vmatrix} = \frac{\pi^3}{4} - 2\pi \neq 0.$$

განსაზღვრება: წრფივად დამოუკიდებელ $\{u_n(x)\}_{n=1}^\infty$ ფუნქციათა სისტემას ეწოდება სრული $L_2(G)$ სივრცეში, თუ ამ სისტემის ყველა შესაძლო $\psi(x) = \sum_{i \in I} a_i u_i(x)$ წრფივი კომბინაციებით მიღებული $\psi(x)$ ფუნქციათა სიმრავლე მკვრივია $L_2(G)$ სივრცეში.

განსაზღვრება: ამბობენ, რომ $\{u_n(x)\}_{n=1}^\infty$ ფუნქციათა წრფივად დამოუკიდებელი სისტემა წარმოადგენს შაუდერის ბაზისს $L_2(G)$ სივრცეში, თუ სივრცის ნებისმიერი ფუნქცია შეიძლება წარმოვადგინოთ $\psi(x) = \sum_{i \in I} a_i u_i(x)$ სახით.

მაგალითი: $L_2(G)$ ფუნქციონალურ სივრცეში, როცა განსაზღვრის არეა $G = \{(x, y) | a \leq x \leq b \wedge c \leq y \leq d\}$, გვაქვს შაუდერის მრავალწევრა ბაზისი: $1; x; y; x^2; xy; y^2; \dots$

ასევე, $L_2(0, 2\pi)$ სივრცეში, არსებობს ტრიგონომეტრიულ ფუნქციათა ბაზისი:

$$1; \sin x \cdot \cos y; \sin 2x \cdot \cos y; \sin x \cdot \cos 2y; \sin 2x \cdot \cos 2y; \dots$$

ცნობილია, რომ $L_2(R)$ სივრცეში შეიძლება აიგოს გეივლეტ ფუნქციებისაგან შემდგარი ბაზისებიც და ა.შ.

P.S. მოცემული ამოცანისათვის, ბაზისის შერჩევა საკმაოდ რთული პრობლემაა, რადგან ჯერ-ჯერობით, შერჩევის ზოგადი პროცედურა არ არსებობს. სხვადასხვა ბაზისი კი განაპირობებს კრებადობის სხვადასხვა სიჩქარეს.

1.3. ანალოგია n განზომილებიან გექტორულ სივრცესა და პილბერტის $L_2(G)$ ფუნქციონალურ სივრცეებს შორის

პილბერტის $L_2(G)$ სივრცის გეომეტრიის გასაგებად, განვიხილოთ ანალოგიები n განზომილებიან გექტორულ სივრცესთან.

Nº	R^n გექტორული სივრცე	პილბერტის $L_2(G)$ სივრცე
1.	ელემენტები ვექტორებია $\bar{x}(x_1; x_2; \dots; x_n)$	ელემენტები $f(x)$ ფუნქციებია
2.	ვექტორების სკალარული ნამრავლი $(\bar{x}; \bar{y}) = \sum_{i=1}^n x_i y_i$	ფუნქციების სკალარული ნამრავლი $(f(x); g(x)) = \int_G f(x)g(x)dx$
3.	ვექტორის სიგრძე $ \bar{x} = \sqrt{(\bar{x}; \bar{x})} = \sqrt{\sum_{i=1}^n x_i^2}$	ფუნქციის ნორმა $\ f(x)\ = \sqrt{(f(x); f(x))} = \sqrt{\int_G f^2(x)dx}$
4.	მანძილი ორ წერტილს შორის $ \bar{x} - \bar{y} = \sqrt{(\bar{x} - \bar{y}; \bar{x} - \bar{y})} = \sqrt{\sum_{i=1}^n (x_i - y_i)^2}$	გეომეტრიული დანართი $\rho(f(x); g(x)) = \ f(x) - g(x)\ = \sqrt{(f(x) - g(x); f(x) - g(x))} = \sqrt{\int_G (f(x) - g(x))^2 dx}$
5.	თუ, $\{\bar{e}_i\}_{i=1}^n$ წრფივად დამოუკიდებელ ვექტორთა სისტემაა R^n -ში, მაშინ ნებისმიერი \bar{x} ელემენტი (ვექტორი) ამ სივრციდან წარმოიდგინება სახით:	თუ, $\{u_n(x)\}_{n=1}^\infty$ შაუდერის ბაზისია $L_2(G)$ სივრცეში, მაშინ ამ სივრცის ნებისმიერი $f(x)$ ელემენტი (ფუნქცია) შეიძლება წარმოვადგინოთ სახით: $f(x) = \sum_{i=1}^{\infty} a_i u_i(x)$

	$\bar{x} = \sum_{i=1}^n x_i \bar{e}_i$	
--	--	--

1.4. სობოლევის $W_2^k(G)$ ფუნქციონალური სივრცე

ჩვენ განვიხილეთ პილბერტის $L_2(G)$ ფუნქციონალური სივრცე. ოპერატორული განტოლებების ამოსახსნელად, ხშირად, იყენებენ ისეთ ფუნქციონალურ სივრცეებს, რომლებიც უზრუნველყოფენ ე.წ. განზოგადებული და სუსტი ამონახსნის ცნებათა გამოყენებას. ამ სივრცეების გამოყენება დამყარებულია იმ ფაქტზე, რომ ზოგჯერ, არაა საკმარისი მხოლოდ ფუნქციათა „სიახლოვე“ და საჭიროა მათი წარმოებულების „სიახლოვეც“.

ეს სივრცეები ისეთივე წესით იგება, როგორც ჩვენ ავაგეთ $L_2(G)$ პილბერტის სივრცე. განსხვავებაა მხოლოდ სკალარული ნამრავლის განსაზღვრის წესში.

თუ სკალარულ ნამრავლს განვსაზღვრავთ (1.18)

$$(u;v) = \int_G u \cdot v dx + \int_G u' v' dx ; \quad (1.18)$$

ფორმულით და გავიმეორებთ $L_2(G)$ პილბერტის სივრცის აგების ტექნიკას, მაშინ მივიღებთ სობოლევის $W_2^1(G)$ ფუნქციონალურ სივრცეს.

თუ სკალარულ ნამრავლს განვსაზღვრავთ (1.19)

$$(u;v) = \int_G u \cdot v dx + \int_G u' v' dx + \int_G u'' v'' dx ; \quad (1.19)$$

ფორმულით, მაშინ, მივიღებთ $W_2^2(G)$ სობოლევის ფუნქციონალურ სივრცეს.

ანალოგიურად აიგება სობოლევის $W_2^k(G)$ ფუნქციონალური სივრცე, შესაბამისი სკალარული ნამრავლის შემოღებით:

$$(u;v) = \sum_{i=0}^k \int_G u^{(i)} v^{(i)} dx. \quad (1.20)$$

1.5. დამოკიდებულება ფუნქციონალურ სივრცეებს შორის

ჩვენ განვიხილეთ სხვადასხვა ფუნქციონალური სივრცეები, რომლებიც ერთმანეთისაგან განსხვავდება ტოპოლოგიური თვისებით. ყველაზე უფრო “კარგი” ფუნქციებია მრავალწევრები და მათი სიმრავლე ქმნის პოლინომიალური ფუნქციების სივრცეს $P_n(x)$, სადაც n -განზომილებიანი ვექტორია ($P_n(x)$ -მრავალცვლადიანი პოლინომების სიმრავლე). ეს ფუნქციათა სიმრავლე არის უწყვეტ ფუნქციათა $C(R^n)$ ფუნქციონალური სივრცის ქვესიმრავლე (ნაწილი).

უწყვეტ ფუნქციათა სიმრავლე არის წრფივიანის (ლინეალის) ქვესიმრავლე. ფუნქციათა ლინეალი არის წრფივი მეტრიკული სივრცის ნაწილი.

ფუნქციათა წრფივი მეტრიკული სივრცე არის უნიტარული (პილბერტისწინა) სივრცის ნაწილი. ის კი, თავის მხრივ, – პილბერტის ფუნქციონალური სივრცის ნაწილია, ხოლო პილბერტის ფუნქციონალური სივრცე, ჩადგმულია სობოლევის $W_2^k(G)$ სივრცეში, თუ $k \geq 1$.

II თავი. უწყვეტ ტანთა მექანიკის მათემატიკური მოდელები

2.1. დრეკადობის (ელასტიკურობის) თეორიის მათემატიკური მოდელები. ლამეს მოდელი. ბელტრამი-მიჩელას მოდელი. რეინერის მოდელი. თერმოდრეკადობის ამოცანა

დრეკადი (ელასტიკური) მასალებისათვის, ფიზიკური ექსპერიმენტების მეშვეობით ადგენენ დაძაბულ-დეფორმირებული მდგომარეობის რეოლოგიურ კანონს.

წრფივად-დრეკადი მასალებისათვის, იზოტროპულ შემთხვევაში, გვაქვს რეოლოგიური თანადობა, რომელსაც პუკის კანონს უწოდებენ.

$$\sigma_{ij} = \lambda \varepsilon_{kk} \delta_{ij} + 2\mu \varepsilon_{ij} . \quad (2.1)$$

უფრო რთული მოდელებიდან, ხშირად, გამოიყენება რეინერის დრეკადი მასალის რეოლოგიური განტოლება

$$\sigma_{ij} = \varphi_0 \delta_{ij} + \varphi_1 \varepsilon_{ij} + \varphi_2 \varepsilon_{ik} \varepsilon_{kj} . \quad (2.2)$$

სადაც φ_i დეფორმაციის ტენსორის კომპონენტების მატრიცის ინგრიანტებზე დამოკიდებული ფუნქციებია.

უწყვეტ ტანთა მექანიკაში, მათემატიკური მოდელების შესადგენად მხოლოდ რეოლოგიური კანონი არაა საკმარისი.

საჭიროა: წონასწორობის (ან დინამიკის) განტოლება, კინემატიკური თანადობანი და სასაზღვრო (ან სასაზღვრო და საწყისი) პირობები.

განვიხილოთ იზოტროპული მასალებისათვის ელასტიკური მუშაობის სხვადასხვა მათემატიკური მოდელი:

- a) წრფივად-დრეკადი იზოტროპული მასალებისათვის სტატიკის (წონასწორობის) ამოცანა ისმის შემდეგნაირად:

წონასწორობის განტოლება კოშის ფორმით:

$$\sigma_{ij,j} + \rho b_i = 0 , \quad (2.3)$$

სადაც ρ - ელასტიკური მასალის სიმკვრივეა,

b – ერთეულ მოცულობაზე მოქმედი გარეშე ძალის ვაქციორის კომპონენტებია;

კინემატიკური თანადობები მცირე დეფორმაციების ($\varepsilon \ll 1$) შემთხვევაში:

$$\varepsilon_{ij} = \frac{1}{2}(u_{i,j} + u_{j,i}); \quad (2.4)$$

ჰუკის რეოლოგიური განტოლება:

$$\sigma_{ij} = \lambda \varepsilon_{kk} \delta_{ij} + 2\mu \varepsilon_{ij}. \quad (2.5)$$

(2.3),(2.4) და (2.5) განტოლებები უნდა დაკმაყოფილდეს ელასტიკური და მასალის ნებისმიერ წერტილში. ამასთან, აუცილებელია სასაზღვრო პირობებიც და- არის მა- საზღვრის ნებისმიერი წერტილისათვის.

სასაზღვრო პირობების მიხედვით სტატიკაში განიხილება სამი ტიპის ამოცანა:

ა.1) საზღვრის თითოეულ წერტილში მოცემულია გადაადგილებები:

$$u_{i,\omega} = g(x_1, x_2, x_3); \quad (2.6)$$

ასეთ შემთხვევაში, მიზანშეწონილია გარდავქმნათ (2.3),(2.4) და (2.5) ამოცანა ისე, რომ გვქონდეს ერთი განტოლება გადაადგილებების მიმართ შესაბამისი სასაზღვრო (2.6) პირობებით.

ამისათვის (2.4) ჩავსვათ (2.5)-ში და მიღებული შედეგი შევიტანოთ (2.3)-ში. მართლაც, თუ (2.4)-ს ჩავსვამთ (2.5)-ში მივიღებთ

$$\sigma_{ij} = \frac{1}{2}\lambda(u_{k,k} + u_{k,k})\delta_{ij} + 2\mu\frac{1}{2}(u_{i,j} + u_{j,i}) = \lambda u_{k,k} \delta_{ij} + \mu(u_{i,j} + u_{j,i}); \quad (5.7)$$

თუ ამ გამოსახულებას შევიტანო დინამიკის (2.3) განტოლებაში, მივიღებთ:

$$\lambda u_{k,kj} \delta_{ij} + \mu(u_{i,jj} + u_{j,ij}) + \rho b_i = 0, \quad (2.8)$$

ანუ თუ გავამარტივებთ, გვექნება განტოლება გადაადგილებებისათვის:

$$\mu u_{i,jj} + (\lambda + \mu)u_{j,ji} + \rho b_i = 0. \quad (2.9)$$

ამ განტოლებას ლამეს განტოლებას უწოდებენ, ზოგჯერ კი ნავიგაციის მოდელს.

ამ განტოლებებისათვის განიხილება დირიხლეს (2.6) სასაზღვრო ამოცანა.

P.S. (2.6) – არაერთგვაროვანი სასაზღვრო პირობები შეგვიძლია გავანულოთ (ვაქციოთ ერთგვაროვან სასაზღვრო ამოცანად) თუ, მოვახდენთ ცვლადთა გარდაქმნას:

$$u_i = v_i + g(x_1, x_2, x_3). \quad (2.10)$$

მაშინ (2.9) განტოლება გადაიწერება v_i -ს მიმართ და სასაზღვრო (2.6) პირობები მიიღებენ ერთგვაროვან ფორმას

$$v_{i,\Omega} = 0, \quad (2.11)$$

რაც აადვილებს ამოცანის ამოხსნას;

ა.2) მეორე ტიპის სასაზღვრო ამოცანა მიიღება იმ შემთხვევაში, როცა საზღვრის ყოველი წერტილისათვის მოცემულია ძაბვები:

$$(\sigma_{ij} n_j)_{\partial\Omega} = \sigma_{0i}. \quad (2.12)$$

ამ შემთხვევაში, პუკის კანონის, წონასწორობის განტოლებისა და სენ-ვენანის პირობებიდან (დასაშვები დეფორმაციებისათვის)

$$\varepsilon_{ij,km} + \varepsilon_{km,ij} - \varepsilon_{ik,jm} - \varepsilon_{jm,ik} = 0, \quad (5.13)$$

მიიღება ელასტიკურობის განტოლება ძაბვების მიმართ:

$$\sigma_{ij,kk} + \frac{1}{1+\nu} \sigma_{kk,ij} + \rho(b_{i,j} + b_{j,i}) + \frac{\nu}{1-\nu} \delta_{ij} \rho b_{k,k} = 0. \quad (5.14)$$

ამ განტოლებას ბელტრამ-მიჩელას განტოლებებს უწოდებენ.

ბელტრამ-მიჩელას განტოლებებით დაძაბულ-დეფორმირებული მდგომარეობის შესასწავლად (2.14) განტოლებას ხსნიან (2.12) პირობებში, (2.3) წონასწორობის განტოლებების გათვალისწინებით.

ა.3) მესამე ტიპის ამოცანა არის შერეული ტიპის ამოცანა, როცა საზღვრის ერთ $\partial\Omega_1$ - ნაწილზე მოცემულია გადაადგილებები, ხოლო მეორე $\partial\Omega_2$ - ნაწილზე – ძაბვები, სადაც,

$$\partial\Omega = \partial\Omega_1 \cup \partial\Omega_2. \quad (2.15)$$

ამასთან, მოითხოვება განისაზღვროს ძაბვები და დეფორმაციები Ω - არის ნებისმიერი წერტილისათვის.

ამ შემთხვევაში ამოცანას ხსნიან ზოგადი სახით:

$$\sigma_{ij,j} + \rho b_i = 0; \quad (2.16)$$

$$\varepsilon_{ij} = \frac{1}{2}(u_{i,j} + u_{j,i}); \quad (2.17)$$

$$\sigma_{ij} = \lambda\varepsilon_{kk}\delta_{ij} + 2\mu\varepsilon_{ij}; \quad (2.18)$$

$$(u_i)_{\partial\Omega_1} = g(x_1, x_2, x_3); \quad (2.19)$$

$$(\sigma_{ij}n_j)_{\partial\Omega_2} = \sigma_{0i}. \quad (2.20)$$

ბ) ახლა განვიხილოთ დინამიკის ამოცანების მათემატიკური მოდელირება

ასეთ შემთხვევებში, ჩვენ ვიხილავთ დინამიკის განტოლებას კოშის ფორმით:

$$\sigma_{ij,j} + \rho b_i = \rho \ddot{u}_i; \quad (2.21)$$

კინემატიკურ თანადობებს:

$$\varepsilon_{ij} = \frac{1}{2}(u_{i,j} + u_{j,i}); \quad (2.22)$$

რეოლოგიურ კანონს (ჰუკის კანონი);

$$\sigma_{ij} = \lambda\varepsilon_{kk}\delta_{ij} + 2\mu\varepsilon_{ij}. \quad (2.23)$$

P.S. სტატიკის ამოცანებისაგან განსხვავებით, დინამიკის შესწავლი-სას სასაზღვრო პირობებთან ერთად განიხილავენ საწყის პირობებსაც.

ბ.1) თუ გვაქვს ამოცანა საზღვარზე მოცემული გადაადგილებებით, ვიყენებთ ლამეს მათემატიკურ მოდელს:

$$\mu u_{i,jj} + (\lambda + \mu)u_{j,ji} + \rho b_i = \rho \ddot{u}_i; \quad (2.24)$$

ამავე დროს, გვაქვს სასაზღვრო პირობები:

$$(u_i)_{\partial\Omega_1} = g_i(x_1, x_2, x_3, t); \quad (2.25)$$

და საწყისი პირობები:

$$(u_i)_{t=0} = f_i(x_1, x_2, x_3). \quad (2.26)$$

ბ.2) როგორი რეოლოგიის მასალებისათვის ხშირად იყენებენ რეინერის ელასტიკური მასალის მათემატიკურ მოდელს (კომპოზიტები, სელები, ზვავები, მრავალფაზიანი მასალები და ა. შ.), რომელსაც აქვს სახე:

დინამიკის განტოლება:

$$\sigma_{ij,j} + \rho b_i = \rho \ddot{u}_i; \quad (2.27)$$

კინემატიკური თანადობები:

$$\varepsilon_{ij} = \frac{1}{2}(u_{i,j} + u_{j,i}) \quad (2.28)$$

რეინერის რეოლოგიური განტოლება:

$$\sigma_{ij} = \varphi_0 \delta_{ij} + \varphi_1 \varepsilon_{ij} + \varphi_2 \varepsilon_{ik} \varepsilon_{kj}; \quad (2.29)$$

სადაც φ_i დეფორმაციის ტენსორის კომპონენტების მატრიცის ინვარიანტებზე დამოკიდებული ფუნქციებია.

ამ ფუნქციების კონკრეტული სახე დგინდება ხანგრძლივი და მძიმე ექსპერიმენტების შედეგად.

სასაზღვრო და საწყისი პირობები აქ დაისმის ისეთივე სახით, როგორც წრფივად-დრეკადი მასალების შემთხვევაში (2.25), (2.26).

ბ.3) წრფივად-დრეკადი მასალის თერმოდრეკადი მუშაობის მათემატიკური მოდელი.

წრფივად-დრეკადი მასალის თერმოდრეკადი მუშაობის შემთხვევაში ასევე მოქმედებს დინამიკის განტოლება კოშის ფორმით:

$$\sigma_{ij,j} + \rho b_i = \rho \ddot{u}_i ; \quad (2.30)$$

კინემატიკური თანადობები:

$$\varepsilon_{ij} = \frac{1}{2}(u_{i,j} + u_{j,i}) \quad (2.31)$$

დამატებით, განიხილება შესაბამისი რეოლოგიური კანონი:

$$\sigma_{ij} = \lambda \varepsilon_{kk} \delta_{ij} + 2\mu \varepsilon_{ij} - (3\lambda + 2\mu) \alpha (T - T_0) \delta_{ij} ; \quad (2.32)$$

სადაც

α - წრფივი გაფართოების ტემპერატურული კოეფიციენტია;

T_0 - ელასტიკური მასალის საწყისი ტემპერატურა;

λ და μ - ლამეს კოეფიციენტებია, რომლებიც ახასიათებენ მასალის თვისებებს დეფორმაციების თვალსაზრისით და

ენერგიის განტოლება:

$$kT_{ii} = \rho c^{(v)} \dot{T} + (3\lambda + 2\mu) \alpha T \varepsilon_{kk} ; \quad (2.33)$$

სადაც

k - მასალის სითბოგამტარობის კოეფიციენტია;

$c^{(v)}$ -კუთრი სითბოტევადობაა მუდმივი დეფორმაციის (მოცულობის) პირობებში.

ამ მათემატიკურ მოდელში უცნობებია: $\sigma_{ij}, \varepsilon_{ij}$ და T . უცნობების საპოვნელად აგებულ განტოლებათა (2.30) – (2.33) სისტემას, უნდა მივუერთოთ შესაბამისი სასაზღვრო და საწყისი პირობები.

2.2. სითხეთა დინამიკის მათემატიკური მოდელები. ნავიჟ-სტოქს-დიუგემის მოდელი. განტოლებათა ჩაწერა უგანზომილებო ფორმით.
ნავიჟ-სტოქსისა და ეილერის მათემატიკური მოდელები

სითხეების (გაზების) დინამიკას შეისწავლის პიდროაერომექანიკა. ისევე, როგორც დრეკადი (ელასტიკური) მასალების შემთხვევაში, პიდროაერომექანიკაში, სითხისა და გაზის დინამიკის მათემატიკური მოდელირება იწყება ექსპერიმენტებით, მოცემული სითხის (გაზის ანუ აირის) რეოლოგიური კანონის დასადგენად.

ნიუტონური სითხეებისათვის გვაქვს ნიუტონის განზოგადებული რეოლოგიური კანონი:

$$\sigma_{ij} = B_{ijmn} D_{mn} ; \quad (2.35)$$

სადაც $D_{mn} = \varepsilon_{mn}$ დეფორმაციის სიჩქარის ტენსორის კომპონენტებია. თუ სითხე ერთგვაროვანია, მაშინ B_{ijmn} მუდმივი სიდიდეები-საგან შედგება, რომლებიც ახასიათებს მოცემული სითხის ბლანტ თვისებებს.

თუ, განვიხილავთ იზოტროპიულ ნიუტონურ სითხეს, მაშინ მუდმივათა მატრიცაში 81 კომპონენტიდან მხოლოდ ორია λ^* და μ^* იქნება დამოუკიდებელი.

შესაბამის რეოლოგიურ კანონს აქვს სახე:

$$\sigma_{ij} = -p\delta_{ij} + \lambda^* D_{kk} \delta_{ij} + 2\mu^* D_{ij} ; \quad (2.36)$$

სადაც λ^* და μ^* - სითხის სიბლანტის დინამიკური კოეფიციენტებია.

საშუალო ნორმალური ძაბვა იქნება:

$$\frac{1}{3}\sigma_{ii} = -p + \frac{1}{3}(3\lambda^* + 2\mu^*)D_{ii} = -p + \chi^* D_{ii} ; \quad (2.37)$$

სადაც χ^* - სიბლანტის სივრცული კოეფიციენტია. თუ, მივიღებთ სტოქსის პირობას და დავუშვებთ, რომ

$$\chi^* = 0, \quad (2.38)$$

მაშინ მივიღებთ, რომ

$$\frac{1}{3}\sigma_{ii} = -p, \quad (2.39)$$

ანუ პიდროსტატიკური წნევა ბლანტ სითხეში, წონასწორობის პირობებში, საშუალო ნორმალური ძაბვის ტოლია და მიმართულია სითხის შიგნით.

ამით აიხსნება სითხის წვეთის წონასწორობა სიბრტყეზე. ასეთ შემთხვევაში, თერმოდინამიკური წნევა – მთლიანად განისაზღვრება მექანიკური სიდიდეებით.

გარდა რეოლოგიური (2.36) კანონისა, მათემატიკური მოდელის ასაგებად იზოტროპიული ნიუტონური სითხეებისათვის, საჭიროა: მოძრაობის განტოლებები კოშის ფორმით, მასის შენახვის (უწყვეტობის) განტოლება, ენერგიის შენახვის კანონი და მდგომარეობის განტოლება.

მოძრაობის განტოლებას კოშის ფორმით აქვს სახე:

$$\sigma_{ji,j} + \rho b_i = \rho v_i; \quad (2.40)$$

სადაც v_i – სითხის ნაწილაკების მოძრაობის სიჩქარის გექტორის კომპონენტებია.

უწყვეტობის განტოლება ჩაიწერება შემდეგი ფორმით:

$$\rho + \rho v_{i,i} = 0. \quad (2.41)$$

ენერგიის შენახვის კანონს აქვს სახე:

$$U = \frac{1}{\rho} \sigma_{ij} D_{ij} - \frac{1}{\rho} C_{i,i} + Z; \quad (2.42)$$

სადაც U – შინაგანი ენერგიაა, C_i სითბური ნაკადის გექტორის კომპონენტებია, D_{ij} გადის სითბოგამტარობის ხარჯზე, დროის ერთეულში, ერთეულ ფართში, Z – ერთეულ დროში გამოსხივებული სითბოს მუდმივაა, გაანგარიშებული მასის ერთეულზე.

მდგომარეობის განტოლება (ექსაერიმენტებიდან) ჩაიწერება ასე:

$$p = p(\rho, T). \quad (2.43)$$

თუ, საჭიროა სითბური ეფექტების გათვალისწინებაც, რაც ხშირად გვხვდება პრაქტიკაში, მაშინ (2.36),(2.40) – (2.43) განტოლებათა სისტემას უნდა მივუერთოთ ფურიეს სითბოგამტარობის განტოლება და კალორიული განტოლება.

ფურიეს სითბოგამტარობის განტოლებას ჩაწერენ მოკლედ:

$$C_i = -kT_{,i} \quad (2.44)$$

სადაც k – სითბოგამტარობის კოეფიციენტია.

კალორიული განტოლება ჩაიწერება ექსპერიმენტებზე დაყრდნობით

$$U = U(\rho, T). \quad (2.45)$$

მიიღება 16 განტოლება 16 უცნობით ანუ სისტემა არის ჩაკეტილი. ამ განტოლებათა სისტემას მიუერთებენ სასაზღვრო და საწყის პირობებს.

ჰიდროდინამიკაში, ბლანტი სითხისათვის გამოიყენება სპეციფიკური სასაზღვრო პირობები, რომელთაც სითხის მიკვრის პირობებს უწოდებენ:

$$(v_i)_{\infty} = 0. \quad (2.46)$$

ა) ნავიე – სტოქს – დიუგემის განტოლება.

განვიხილოთ ბლანტი სითხის მათემატიკური მოდელი იმ შემთხვევისათვის, როცა სითბური ეფექტები იმდენად უმნიშვნელოა, რომ შეიძლება უგულებელვყოთ.

თუ კინემატიკურ თანადობებს:

$$D_{ij} = \frac{1}{2}(v_{i,j} + v_{j,i}); \quad (2.47)$$

შევიტანოთ ნიუტონის (2.36) რეოლოგიურ განტოლებაში, მივიღებთ:

$$\begin{aligned} \sigma_{ij} &= -p\delta_{ij} + \lambda^* \frac{1}{2}(v_{k,k} + v_{k,k}) + 2\mu^* \frac{1}{2}(v_{i,j} + v_{j,i}) = \\ &= -p\delta_{ij} + \lambda^* v_{k,k} \delta_{ij} + \mu^*(v_{i,j} + v_{j,i}). \end{aligned} \quad (2.48)$$

შემდეგ, (2.48) განტოლებას თუ შევიტანოთ მოძრაობის (2.40) განტოლებაში, გვექნება:

$$\rho v_i = -p_{,i} + \lambda^* v_{k,kj} \delta_{ij} + \mu^* (v_{i,jj} + v_{j,ji}) + \rho b_i. \quad (2.49)$$

ანუ, საბოლოოდ

$$\rho v_i = -p_{,i} + (\lambda^* + \mu^*) v_{j,ji} + \mu^* v_{i,jj} + \rho b_i; \quad (2.50)$$

ამ (2.50) განტოლებას ნავიე – სტოქს – დიუგემის განტოლება ეწოდება ბლანტი სითხეებისათვის.

P.S. თუ სითხე უკუმშავია (როგორც წყალი), მაშინ

$$v_{i,i} = 0. \quad (2.51)$$

გ) ნავიე – სტოქსის განტოლება უკუმშავი სითხეებისათვის.

თუ განვიხილავთ უკუმშავ სითხეებს, მაშინ სითხის უკუმშვადობის (2.51) პირობის გათვალისწინებით (2.50) - დან მივიღებთ ნავიე – სტოქსის მათემატიკურ მოდელს:

$$\rho v_i = -p_{,i} + \mu^* v_{i,jj} + \rho b_i; \quad (2.52)$$

$$v_{i,i} = 0; \quad (2.53)$$

$$(v_i)_{\partial\Omega} = 0; \quad (2.54)$$

$$(v_i)_{t=0} = v_{i0}. \quad (2.55)$$

მიღებული (2.52) – (2.55) მათემატიკური მოდელი აღწერს ბლანტი, უკუმშავი სითხის მოძრაობას Ω - არეში, $\partial\Omega$ - საზღვრით.

გ) ნავიე – სტოქსის განტოლება გაზებისათვის.

თუ ნავიე – სტოქს – დიუგემის მოდელში, გავითვალისწინებთ სტოქსის პირობას:

$$\lambda^* = -\frac{2}{3} \mu^* \quad (2.56)$$

მაშინ, მივიღებთ ნავიე – სტოქსის განტოლებას გაზებისათვის:

$$\rho v_i = -p_{,i} + \mu^* v_{i,jj} + \frac{1}{3} \mu^* v_{j,ji} + \rho b_i. \quad (2.57)$$

ამ განტოლებას უნდა მივუერთოთ მდგომარეობის (2.43) განტოლება, ენერგიის (2.42) განტოლება და უწყვეტობის (2.41) განტოლება (თუ არა გვაქვს სითბური ეფექტები).

დ) განტოლებათა ჩაწერა უგანზომილებო სახით.

სიმარტივისათვის, განვიხილოთ ორგანზომილებიანი, ბლანტი, უკუმშავი სითხის დინება. შესაბამისი მათემატიკური მოდელი გადავწეროთ უგანზომილებო სახით და დავადგინოთ მსგავსების კრიტერიუმები, დინებათა ფიზიკური მოდელების შესადგენად (ექსპერიმენტების ჩასატარებლად).

$$\frac{\partial v_1}{\partial t} + v_1 \frac{\partial v_1}{\partial x_1} + v_2 \frac{\partial v_1}{\partial x_2} = b_1 - \frac{1}{\rho} \frac{\partial p}{\partial x_1} + \frac{\mu^*}{\rho} \left(\frac{\partial^2 v_1}{\partial x_1^2} + \frac{\partial^2 v_1}{\partial x_2^2} \right); \quad (2.58)$$

$$\frac{\partial v_2}{\partial t} + v_1 \frac{\partial v_2}{\partial x_1} + v_2 \frac{\partial v_2}{\partial x_2} = b_2 - \frac{1}{\rho} \frac{\partial p}{\partial x_2} + \frac{\mu^*}{\rho} \left(\frac{\partial^2 v_2}{\partial x_1^2} + \frac{\partial^2 v_2}{\partial x_2^2} \right); \quad (2.59)$$

$$\frac{\partial v_1}{\partial x_1} + \frac{\partial v_2}{\partial x_2} = 0; \quad (2.60)$$

$$(v_i)_{\partial\Omega} = 0; \quad (2.61)$$

$$(v_i)_{t=0} = v_{i0}. \quad (2.62)$$

თუ (2.58) – (2.62) განტოლებებში გადავალოთ უგანზომილებო შტრიხიან ცვლადებზე ფორმულებით:

$$x_i = l_0 x_i'; \quad v_i = v_0 v_i'; \quad t = \frac{l_0}{v_0} t'; \quad p = \rho v_0^2 p'; \quad b_i = g b_i'. \quad (2.63)$$

მაშინ, მივიღებთ ამოცანას:

$$\frac{v_0^2}{l_0^2} \frac{\partial v_1'}{\partial t'} + \frac{v_0^2}{l_0^2} v_1' \frac{\partial v_1'}{\partial x_1} + \frac{v_0^2}{l_0^2} v_2' \frac{\partial v_1'}{\partial x_2} = g b_1' - \frac{v_0^2}{l_0^2} \frac{\partial p'}{\partial x_1} + \frac{\mu^* v_0}{\rho l_0^2} \Delta v_1'; \quad (2.64)$$

$$\frac{v_0^2}{l_0^2} \frac{\partial v_2'}{\partial t'} + \frac{v_0^2}{l_0^2} v_1' \frac{\partial v_2'}{\partial x_1} + \frac{v_0^2}{l_0^2} v_2' \frac{\partial v_2'}{\partial x_2} = g b_2' - \frac{v_0^2}{l_0^2} \frac{\partial p'}{\partial x_2} + \frac{\mu^* v_0}{\rho l_0^2} \Delta v_2'; \quad (2.65)$$

$$\frac{v_0}{l_0} \left(\frac{\partial v_1'}{\partial x_1} + \frac{\partial v_2'}{\partial x_2} \right) = 0; \quad (2.66)$$

$$(v_1)_{t=0} = v_{10}; \quad (v_2)_{t=0} = v_{20}; \quad (2.67)$$

$$(v_1)_{\partial\Omega} = 0; \quad (v_2)_{\partial\Omega} = 0. \quad (2.68)$$

თუ, (2.64) – (2.68) განტოლებებში შემოვიდებთ აღნიშვნებს

$$Re = \frac{v_0 l_0 \rho}{\mu^*}; \quad Fr = \frac{v_0}{\sqrt{gl_0}}; \quad (2.69)$$

და აღარ დავწერთ შტრიხებს, მივიღებთ მათემატიკურ მოდელს უგანზომილებო ფორმით:

$$\frac{\partial v_1}{\partial t} + v_1 \frac{\partial v_1}{\partial x_1} + v_2 \frac{\partial v_1}{\partial x_2} = \frac{b_1}{Fr^2} - \frac{\partial p}{\partial x_1} + \frac{1}{Re} \Delta v_1; \quad (2.70)$$

$$\frac{\partial v_2}{\partial t} + v_1 \frac{\partial v_2}{\partial x_1} + v_2 \frac{\partial v_2}{\partial x_2} = \frac{b_2}{Fr^2} - \frac{\partial p}{\partial x_2} + \frac{1}{Re} \Delta v_2; \quad (2.71)$$

$$\frac{\partial v_1}{\partial x_1} + \frac{\partial v_2}{\partial x_2} = 0; \quad (2.72)$$

$$(v_1)_{t=0} = v_{10}; \quad (v_2)_{t=0} = v_{20}; \quad (2.73)$$

$$(v_i)_{\partial\Omega} = 0. \quad (2.74)$$

მუდმივ კოეფიციენტს Re – რეინოლდსის რიცხვი ეწოდება, ხოლო

Fr – ფრუდის რიცხვია.

P.S. იმისათვის რომ, სხვადასხვა მასშტაბის ორი მოდელი იყოს ეპვივალენტური, მათ შორის უნდა არსებობდეს მსგავსება. ცხადია, რომ ორი მოდელი მსგავსი იქნება, თუ მოდელის რეჟიმის განმსაზღვრელი მუდმივი კოეფიციენტები (Re და Fr), იქნება შესაბამისად ტოლი, ანუ, თუ

$$Re_1 = Re_2; \quad Fr_1 = Fr_2. \quad (2.75)$$

ამ პირობების ერთდროულად დაცვა კი ძალზე რთულია, განსაკუთრებით იმ ამოცანებში, სადაც მნიშვნელობა აქვს სიმძიმის ძალის გავლენას. მოდელების მათემატიკურად გამოსაკვლევად, მათ როგორც წესი, გადაწერენ უგანზომილებო ფორმით. გათვლების

შედეგების პრაქტიკაში გადასატანად იყენებენ შესაბამის გადასვლის ფორმულებს (2.63).

ე) ეილერის მათემატიკური მოდელი იდეალური სითხეებისათვის

განვიხილოთ ბლანტი, უკუმშვადი სითხის დინამიკა იმ შემთხვევაში, როცა რეინოლდსის რიცხვი იზრდება. ექსპერიმენტებით დადგენილია, რომ მოცემული ამოცანის პირობებში, არსებობს რეინოლდსის რიცხვის კრიტიკული მნიშვნელობა, ისე რომ, თუ $Re \leq Re_{kr}$ გვაქვს ლამინარული (ფენოვანი) დინება, ხოლო, თუ $Re \geq Re_{kr}$ გვაქვს ფენების შერევა-დიფუზია, ამ რეზიმს ტურბულენტური დინება ეწოდება.

თუ განვიხილავთ დინებას, რომლის დროსაც $Re \rightarrow \infty$, მივიღებთ ისეთ ტურბულენტურ დინებას, რომლის დროსაც განვითარებული დიფუზიის გამო, სიბლანტის თვისებას აღარ აქვს ფიზიკური გავლენა ანუ დინება შეიძლება განხილული იყოს, როგორც ისეთი სითხის დინება, რომლის ფენებს შორისაც არა გვაქვს ხახუნის ძალა (ასეთ სითხეებს იდეალურს უწოდებენ).

იდეალური სითხის დინამიკის მათემატიკური მოდელი შეიძლება მივიღოთ ბლანტი სითხის მოდელიდან, თუ მოვახდენთ შესაბამის ზღვარზე გადასვლას იმ პირობით, რომ $Re \rightarrow \infty$. მაშინ, (2.70) – (2.74) მათემატიკური მოდელი მიიღებს სახეს:

$$\frac{\partial v_1}{\partial t} + v_1 \frac{\partial v_1}{\partial x_1} + v_2 \frac{\partial v_1}{\partial x_2} = \frac{b_1}{Fr^2} - \frac{\partial p}{\partial x_1}, \quad (2.76)$$

$$\frac{\partial v_2}{\partial t} + v_1 \frac{\partial v_2}{\partial x_1} + v_2 \frac{\partial v_2}{\partial x_2} = \frac{b_2}{Fr^2} - \frac{\partial p}{\partial x_2}, \quad (2.77)$$

$$\frac{\partial v_1}{\partial x_1} + \frac{\partial v_2}{\partial x_2} = 0; \quad (2.78)$$

$$(v_i)_{t=0} = v_{i0}; \quad (2.79)$$

$$\left(\frac{\partial v_i}{\partial n} \right)_{\partial \Omega} = 0. \quad (2.80)$$

მათემატიკურ მოდელს, რომელიც მოიცემა (2.76) – (2.80) სახით ეილერის მოდელი ეწოდება.

2.3. უწყვეტ გარემოში სითბოს განაწილების მათემატიკური მოდელირება (დიფუნდის განტოლება)

განვიხილოთ, R^3 - ში რაიმე უწყვეტი ღ გარემო (სითხე, გაზი, ელასტიკური მასალა ...), მა საზღვრით.

ფიზიკის კურსიდან ვიცით, რომ დროის Δt მონაკვეთში, მა ზედაპირს გასჭოლავს ΔQ რაოდენობის სითბო, რომელიც გამოითვლება ზედაპირული ინტეგრალით:

$$\Delta Q = \iint_{\Omega} k \left| \frac{\partial T}{\partial n} \right| dS \Delta t; \quad (2.81)$$

სადაც

n – არის საზღვრის გარე ნორმალი (x, y, z) წერტილში;

k – შიგა სითბოგამტარობის კოეფიციენტია.

ვთქვათ, გვაქვს უწყვეტი გარემოს (მასალის) გაცივების პროცესი, მაშინ:

$$\frac{\partial T}{\partial n} \leq 0; \quad (2.82)$$

და, მაშასადამე, (2.81) მიიღებს სახეს:

$$\Delta Q_1 = - \iint_{\Omega} k \frac{\partial T}{\partial n} dS \Delta t. \quad (2.83)$$

მა საზღვრის ზედაპირს გადაკვეთს ΔQ_1 - სითბოს რაოდენობა, რომელიც დაკარგა ღ მოცულობის უწყვეტმა გარემომ (მასალამ).

ღ მოცულობის m მასისა და c კუთრი სითბოტევადობის, ρ სიმკვრივის გარემო გასცემს ΔQ_2 სითბოს რაოდენობას, რომელიც გამოითვლება ჯერადი ინტეგრალით:

$$\Delta Q_2 = - \iiint_{\Omega} c \rho [T(x_1, x_2, x_3, t + \Delta t) - T(x_1, x_2, x_3, t)] d\omega; \quad (2.84)$$

უარყოფითი ნიშანი მიუთითებს იმაზე, რომ ხდება მასალის გაცივება. თუ უეყვეტი გარემოს შიგნით არიან სითბოს განაწილე-

ბული წყაროები $I(x_1, x_2, x_3)$ კუთრი სიმძლავრეებით, მაშინ Δt დროში წყაროების მიერ გამომუშავებული სითბოს ΔQ_3 რაოდენობა იქნება:

$$\Delta Q_3 = \iiint_{\Omega} I(x_1, x_2, x_3, t) d\omega \Delta t. \quad (2.85)$$

სითბური ბალანსის განტოლებას აქვს სახე:

$$\Delta Q_1 = \Delta Q_2 + \Delta Q_3 ; \quad (2.86)$$

აქედან მივიღებთ, რომ

$$-\iint_{\partial\Omega} k \frac{\partial T}{\partial n} dS \Delta t = -\iiint_{\Omega} c\rho [T(x_1, x_2, x_3, t + \Delta t) - T(x_1, x_2, x_3, t)] d\omega + \iiint_{\Omega} I(x_1, x_2, x_3, t) d\omega \Delta t . \quad (2.87)$$

რადგან

$$\frac{\partial T}{\partial n} = \text{grad}T \cdot \mathbf{n}_0; \quad \mathbf{n}_0 = \frac{\vec{n}}{|\vec{n}|}; \quad (2.88)$$

და $n_0 dS = d\vec{S}$, ადვილად მივიღებთ, რომ

$$\iint_{\partial\Omega} k \frac{\partial T}{\partial n} dS = \iint_{\partial\Omega} k \text{grad}T \cdot d\vec{S} ; \quad (2.89)$$

მაგრამ, გაუსის ფორმულის თანახმად

$$\iint_{\partial\Omega} k \text{grad}T \cdot d\vec{S} = \iiint_{\Omega} \text{div}(k \text{grad}T) d\omega ; \quad (2.90)$$

თუ (2.88) – (2.90)-ს, შევიტანო (2.87)-ში მივიღებთ:

$$-\iiint_{\Omega} \text{div}(k \text{grad}T) d\omega \Delta t = -\iiint_{\Omega} c\rho [T(x_1, x_2, x_3, t + \Delta t) - T(x_1, x_2, x_3, t)] d\omega + \iiint_{\Omega} I(x_1, x_2, x_3, t) d\omega \Delta t ; \quad (2.91)$$

თუ, ყველა ინტეგრალქვეშა გამოსახულებას ერთი ინტეგრალის ქვეშ მოვაქცევთ, გავყოფთ Δt -ზე და გადავალოთ ზღვარზე, როცა $\Delta t \rightarrow 0$, მივიღებთ:

$$\operatorname{div}(k \cdot \operatorname{grad} T) - c\rho \frac{\partial T}{\partial t} + I(x_1, x_2, x_3, t) = 0. \quad (2.92)$$

ამ განტოლებას სითბოსგამტარობის (დიფუზიის) განტოლებას უწოდებენ. ზოგად შემთხვევაში,

$$k = f_1(T, x_1, x_2, x_3, t); \quad c = f_2(T, x_1, x_2, x_3, t). \quad (2.93)$$

ე.ო. (2.92), (2.93) განტოლებები იძლევა არაწრფივ მოდელს.

თუ დავუშვებთ, რომ

$$k = \text{const} \wedge c = \text{const}, \quad (2.94)$$

მაშინ, მივიღებთ წრფივ განტოლებას ერთგვაროვანი გარემოსათვის:

$$\Delta T = \varsigma \frac{\partial T}{\partial t} - I(x_1, x_2, x_3, t); \quad (2.95)$$

სადაც

$$\varsigma = \frac{c\rho}{k}; \quad \Delta T = T_{,ii} \quad (2.96)$$

თუ უწყვეტ გარემოში არ არის განაწილებული სითბური $I(x_1, x_2, x_3)$ წყაროები, მაშინ (2.95) განტოლება მიიღებს კანონიკურ სახეს:

$$\Delta T = \varsigma \frac{\partial T}{\partial t}. \quad (2.97)$$

III თავი. რგაჩოვ-ობგაძის RO მეთოდი

კომპიუტერული ტექნიკის განვითარებამ დიდი სტიმული მისცა როგორი, არაწრფივი განტოლებების ამოხსნის რიცხვითი მეთოდების განვითარებას. მაგალითად, კონსტრუქციების დრეკად რეჟიმში მუშაობის შესასწავლად ფართოდ გამოიყენება სასრული ელემენტის მეთოდი; გლობალური ატმოსფერული პროცესების შესასწავლად და ამინდის პროგნოზისათვის უპირატესობას ანიჭებენ სპექტრლურ მეთოდებს; რაც შეეხება ფრთისა და თვითმფრინავის ფუზელაჟის გარშემო დინების გათვლას, აქ ფართოდ გამოიყენება სასრულ სხვაობათა მეთოდი.

გარეგნულად, ეს მეთოდები ძლიერ განსხვავდება ერთმანეთო-საგან, თუმცა მათ ერთმანეთთან აქვთ მჭიდრო ურთიერთკავშირი. ეს ურთიერთკავშირი ხორციელდება გალიორკინის ან ცდომილების მინიმიზაციის მეთოდის ბაზაზე. აქედან შეიძლება ავაგოთ სასრულ ელემენტთა მეთოდი, სპექტრლური მეთოდი და სასრულ სხვაობათა მეთოდიც. ამ მეთოდების განვითარების ერთ-ერთ მაგალითს, წარმო-ადგენს რვაჩოვ-ობგაძის **RO** მეთოდი [8-20].

3.1. გალიორკინის კლასიკური მეთოდი

გალიორკინის კლასიკური მეთოდის შესასწავლად, განვიხილოთ რაიმე ორგანზომილებიანი (ორ ცვლადზე დამოკიდებული ფუნქცი-ებით) წრფივი ამოცანა:

$$Lu = 0, \quad (3.1)$$

სადაც $u(x, y)$ ფუნქცია განსაზღვრულია რაღაც $G(x, y)$ არეზე, და მის განვითარება $G(x, y)u$ აკმაყოფილებს სასაზღვრო პირობებს (დირიხლეს ამოცანა):

$$S(u) = 0. \quad (3.2)$$

გალიორკინის კლასიკურ მოდელში [8] აკეთებენ დაშვებას, რომ საძიებელი u ფუნქცია საკმაოდ ზუსტად განისაზღვრება u_α მიახლო-ებით

$$u_\alpha = u_0(x, y) + \sum_{j=1}^N \alpha_j \varphi_j(x, y), \quad (3.3)$$

სადაც $\varphi_j(x, y)$ ცნობილი ანალიზური ფუნქციებია; u_0 ფუნქცია შემოყვანილია სასაზღვრო პირობების დასაკმაყოფილებლად, ხოლო α_j კოეფიციენტები უნდა ვიპოვოთ (3.1) განტოლებიდან.

ჩავსვათ (3.3) გამოსახულება (3.1) განტოლებაში, მაშინ მივიღებთ არანულოვან R ცდომილებას:

$$R(\alpha_1, \dots, \alpha_N, x, y) = L(u_0) + \sum_{j=1}^N \alpha_j L(\varphi_j). \quad (3.4)$$

ფუნქციების შიგა (სკალარული) ნამრავლი განვსაზღვროთ $L_2(G)$ წესით:

$$(f, g) = \iint f g dx dy, \quad (3.5)$$

სადაც ინტეგრება ხორციელდება მთელ $G(x, y)$ არეზე.

გალიორკინის კლასიკურ მეთოდში უცნობი α_j კოეფიციენტები განისაზღვრება განტოლებათა (3.6) სისტემის ამოხსნით:

$$(R, \varphi_k) = 0, \quad (3.6)$$

სადაც R განტოლების ცდომილებაა, ხოლო $k = \overline{1, N}$.

რადგან ამ ეტაპზე, ჩვენ ვხსნით წრფივ დიფერენციალურ განტოლებას, შესაბამისი (3.6) განტოლებათა სისტემაც იქნება წრფივ ალგებრულ განტოლებათა სისტემა, რომელიც შეგვიძლია ჩავწეროთ მატრიცული ფორმით:

$$\sum_{j=1}^N \alpha_j (L(\varphi_j, \varphi_k)) = -(L(u_0), \varphi_k). \quad (3.7)$$

თუ ამ სისტემის ამოხსნის შედეგად მიღებულ α_j კოეფიციენტებს შევიტანოთ (3.3) გამოსახულებაში, მაშინ მივიღებთ u_α მიახლოებით ამონახსნს.

P.S. თუ (3.6) განტოლებათა სისტემას ვაგებთ არა φ_k ბაზისური ფუნქციებით, არამედ სხვა რომელიმე ψ_k ორთოგონალური $L_2(G)$ ჰილბერტის სივრცის სრული ბაზისის მეშვეობით, მაშინ ასეთ მეთოდს გალიორკინ-პეტროვის მეთოდი [7] ჰქვია.

განვიხილოთ გალიორკინის კლასიკური მეთოდის გამოყენების მაგალითები.

3.1.1. კოშის ამოცანის ამოხსნა პირველი რიგის ჩვეულებრივი დიფერენციალური განტოლებისათვის გალიორკინის კლასიკური მეთოდით

გალიორკინის კლასიკური მეთოდის ინტერპრეტაციის ადვილად გასაგებად, განვიხილოთ მარტივი დიფერენციალური განტოლება [20]:

$$\frac{dy}{dx} - y = 0, \quad (3.8)$$

სასაზღვრო პირობით:

$$y(0) = 1. \quad (3.9)$$

ამოცანის ამონახსნს ვეძებთ $G[0; 1]$ შუალედში.

ცხადია, რომ ამ ამოცანის ზუსტ ამონახსნს აქვს სახე: $y = e^x$, რაც ადვილად შეგვიძლია შევამოწმოთ.

ავაგოთ ახლა, მიახლოებითი ამონახსნი გალიორკინის კლასიკური მეთოდით. ამისათვის ამოვირჩიოთ უმარტივესი ბაზისურ ფუნქცია სისტემა:

$$\varphi_j(x) = x^j. \quad (3.10)$$

ამონახსნი ვეძებოთ შემდეგი სახით:

$$y_\alpha = 1 + \sum_{j=1}^N \alpha_j x^j. \quad (3.11)$$

ცხადია, რომ ამ გამოსახულების პირველი წევრი არჩეულია სასაზღვრო (3.9) პირობის შესრულებისათვის. ადვილი მისახვედრია რომ, (3.11) წარმოდგენა შეგვიძლია გადაგწეროთ შემდეგნაირად:

$$y_\alpha = \sum_{j=0}^N \alpha_j x^j, \quad (3.12)$$

თუ ჩავთვლით რომ $\alpha_0 = 1$.

(3.11) გამოსახულება ჩავსვათ (3.8) განტოლებაში, მაშინ მივიღებთ R ცდომილებას შემდეგი სახით:

$$R(x) = -1 + \sum_{j=1}^N \alpha_j (jx^{j-1} - x^j). \quad (3.13)$$

გაშლის α_j კოეფიციენტების საპოვნელად, მოცემული ამოცანისა-თვის გადგენო შესაბამის (3.6) განტოლებათა სისტემას:

$$(R(x), x^{k-1}) = 0, \quad (3.14)$$

სადაც $k = \overline{1, N}$.

ამ განტოლებათა სისტემას ჩავწერო მატრიცულად:

$$M \cdot A = D, \quad (3.15)$$

სადაც

$$D_k = (1, x^{k-1}) = \int_0^1 1 \cdot x^{k-1} dx = \frac{1}{k}; \quad (3.16)$$

$$M_{kj} = (jx^{j-1} - x^j, x^{k-1}) = \int_0^1 (jx^{j+k-2} - x^{j+k-1}) dx = \frac{j}{j+k-1} - \frac{1}{j+k}; \quad (3.17)$$

$$A_j = (\alpha_j). \quad (3.18)$$

ცხადია, რომ (3.15) მატრიცული განტოლების ამონასნის უქნება სახე:

$$A = M^{-1} \cdot D. \quad (3.19)$$

ახლა შევადგინოთ შესაბამისი პროგრამა Mathcad-ის გარემოში და დავთვალოთ (3.19) მიახლოებითი ამონასნები გაშლის $N=3$ მნიშვნელობისათვის, რათა ვნახოთ (3.11) მიახლოებითი ამონასნის აბსოლუტური ცდომილება $y = e^x$ ზუსტ ამონასნთან შედარებით.

ORIGIN:= 1

N:=3

j := 1..N

$$M_{k,j} := \frac{j}{j+k-1} - \frac{1}{j+k}$$

$$D_k := \frac{1}{k}$$

$$M = \begin{pmatrix} 0.5 & 0.667 & 0.75 \\ 0.167 & 0.417 & 0.55 \\ 0.083 & 0.3 & 0.433 \end{pmatrix} \quad D = \begin{pmatrix} 1 \\ 0.5 \\ 0.333 \end{pmatrix}$$

$$A := M^{-1} \cdot D$$

$$A = \begin{pmatrix} 1.014 \\ 0.423 \\ 0.282 \end{pmatrix}$$

ამრიგად, მივიღეთ, რომ გაშლის კოეფიციენტები იმ შემთხვევაში, როცა $N=3$, მოიცემა A მატრიცით. შევაფასოთ აბსოლუტური ცდომილება $G[0; 1]$ შუალედში.

$$i := 1..5$$

$$x_i := i \cdot 0.2$$

$$f(x) := e^x$$

$$y(x) := 1 + \sum_{i=1}^N \left(A_i \cdot x^i \right)$$

გაუსის $L_2(G)$ -ს ნორმით თუ შევაფასებთ ცდომილებას, გვექნება, რომ

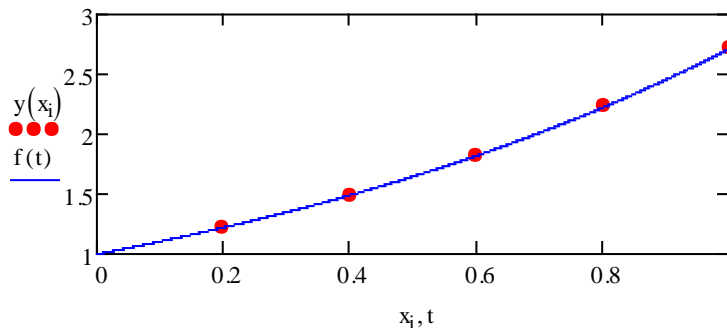
$$\delta G := \left[\int_0^1 (f(x) - y(x))^2 dx \right]^{0.5} \quad \delta G = 5.556 \times 10^{-4}$$

ხოლო, თუ შევაფასებთ გაუსის დისკრეტული ნორმით, მივიღებთ აბსოლუტურ ცდომილებას:

$$\delta := \left[\sum_{i=1}^N (f(x_i) - y(x_i))^2 \right]^{0.5}$$

$$\delta = 1.067 \times 10^{-3}$$

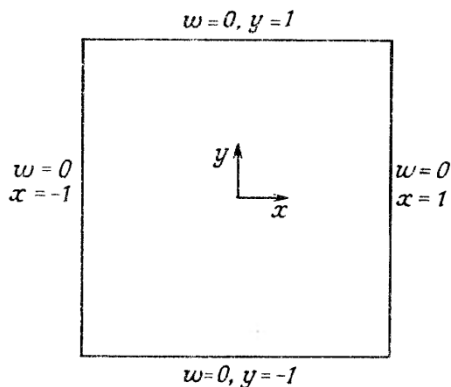
გამოვსახოთ გრაფიკულად ზუსტი ამონასნი $f(x) = e^x$ (უწყვეტი წირი) და მიახლოებითი $y(x)$ ამონასნი წერტილებით.



როგორც ვხედავთ, მიახლოებითი ამონასნი (წერტილებით გამოსახული მნიშვნელობები) საკმაოდ დიდი სიზუსტით ემთხვევა ზუსტ (უწყვეტი წირი) ამონასნს. რაც უფრო მეტ წევრებს ავიდებთ (3.11) გაშლაში, მით უფრო ზუსტი იქნება მიახლოებითი ამონასნი.

3.1.2. ბლანტი სითხის ერთგანზომილებიანი დინება კვადრატული კვეთის უსასრულო მიღწი

განვიხილოთ ბლანტი სითხის დამყარებული (სტაციონარული) ერთგანზომილებიანი დინება კვადრატული კვეთის მიღწი, ნახ. 3.1.



ნახ. 3.1. კვადრატული კვეთის მიღის სქემა

ამ მიღწი სითხის სტაციონარული დინების მოდელირებისათვის გამოვიყენოთ ნავიე-სტოქსის განტოლებათა სისტემა. დინება ხდება OZ დერძის მიმართულებით. თუ მიღს ჩავთვლით უსასრულოდ გრძლად (რომ არ გვქონდეს მიღწი შესვლა-გამოსვლის თავისებურებები), მაშინ OZ დერძის ყველა მართობულ კვეთში დინება ერთნაირია და ემორჩილება განტოლებას:

$$\frac{1}{\mu} \frac{\partial p}{\partial z} = \frac{\partial^2 w}{\partial x^2} + \frac{\partial^2 w}{\partial y^2}. \quad (3.20)$$

ასეთი დინებისას, $\frac{\partial p}{\partial z}$ მუდმივი სიდიდეა. თუ მოვახდენთ ცვლადთა გარდაქმნას უგანზომილებო სახეზე, მასშტაბის შესაბამისი შერჩევით, მივიღებთ პუასონის განტოლებას

$$\frac{\partial^2 w}{\partial x^2} + \frac{\partial^2 w}{\partial y^2} + 1 = 0. \quad (3.21)$$

სასაზღვრო პირობებით

$$w = 0 \text{ if } x = \pm 1, y = \pm 1. \quad (3.22)$$

თუ ბაზისურ ფუნქციებად ავირჩევთ ტრიგონომეტრიულ ფუნქციებს, მაშინ ადგილად დავაკმაყოფილებთ სასაზღვრო პირობებს. ამიტომ ავირჩიოთ მიახლოებითი ამონასნი შემდეგი სახით:

$$w_\alpha = \sum_{i=1,3,5,\dots}^N \sum_{j=1,3,5,\dots}^N \alpha_{ij} \cos i \frac{\pi}{2} x \cos j \frac{\pi}{2} y. \quad (3.23)$$

თუ ჩავსვამთ (3.23) გამოსახულებას (3.21) განტოლებაში, მივიღებთ ცდომილების ფუნქციას:

$$R = - \left(\sum_{i=1,3,5,\dots}^N \sum_{j=1,3,5,\dots}^N \alpha_{ij} \cos i \frac{\pi}{2} x \cos j \frac{\pi}{2} y \right) \cdot \left(\left(i \frac{\pi}{2} \right)^2 + \left(j \frac{\pi}{2} \right)^2 - 1 \right). \quad (3.24)$$

გალიორკინის კლასიკური მეთოდი საშუალებას გვაძლევს, შევადგინოთ განტოლებები გაშლის α_{ij} კოეფიციენტების საკოვნელად:

$$\left(R, \cos i \frac{\pi}{2} x \cos j \frac{\pi}{2} y \right) = 0, \quad i = 1,3,5,\dots \quad j = 1,3,5,\dots \quad (3.25)$$

ამ განტოლებათა სისტემის ამოხსნა გვაძლევს ფორმულებს:

$$\alpha_{ij} = \left(\frac{8}{\pi^2} \right)^2 \frac{(-1)^{\frac{i+j}{2}-1}}{ij(i^2+j^2)}. \quad (3.26)$$

აქ სისტემის ამოხსნა გაგვიადვილა ბაზისის ორთოგონალურობამ.

თუ (3.26) მნიშვნელობებს შევიტანო (3.23) გაშლაში, მივიღებთ მიახლოებით ამონასნის შემდეგი სახით:

$$w_\alpha = \sum_{i=1,3,5,\dots}^N \sum_{j=1,3,5,\dots}^N \left(\frac{8}{\pi^2} \right)^2 \frac{(-1)^{\frac{i+j}{2}-1}}{ij(i^2+j^2)} \cos i \frac{\pi}{2} x \cos j \frac{\pi}{2} y. \quad (3.27)$$

სითხის ხარჯი გამოითვლება ფორმულით:

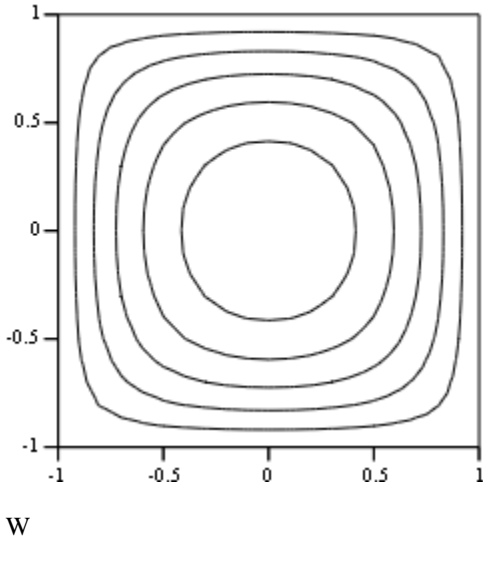
$$\dot{Q} = \int_{-1}^1 \int_{-1}^1 w_\alpha dx dy. \quad (3.28)$$

თუ (3.28) ფორმულაში შევიტანო სიჩქარის (3.27) წარმოდგენას, მივიღებთ ხარჯის გამოსათვლელ ფორმულას:

$$\dot{Q} = 2 \cdot \left(\frac{8}{\pi^2} \right)^3 \cdot \sum_{i=1,3,5,\dots}^N \sum_{j=1,3,5,\dots}^N \frac{1}{i^2 j^2 (i^2 + j^2)}, \quad (3.29)$$

რომელიც ზუსტ ამონასნთან შედარებით, გვაძლევს აბსოლუტურ ცდომილებას 0.001 უავე, როცა $N=6$.

ნახ. 3.2-ზე მოცემულია (3.27) ფორმულის ბაზაზე გათვლილი სიჩქარის დონის წირები მიღის განივ კვეთში:



ნახ. 3.2. სიჩქარის დონის წირები კვადრატული კვეთის მიღწი

შესაბამის პროგრამას **Mathcad**-ზე აქვს სახე:

ORIGIN:=1

N:=6

$$W(x,y) := \sum_{k=1}^N \sum_{m=1}^N \left[\left(\frac{8}{\pi^2} \right)^2 \cdot \frac{\frac{(-1)^{\frac{2 \cdot k + 2 \cdot m - 2}{2} - 1}}{(2 \cdot k - 1) \cdot (2 \cdot m - 1) \cdot [(2 \cdot k - 1)^2 + (2 \cdot m - 1)^2]} \cdot \cos \left[(2 \cdot k - 1) \cdot \frac{\pi}{2} \cdot x \right] \cdot \cos \left[(2 \cdot m - 1) \cdot \frac{\pi}{2} \cdot y \right]} \right]$$

ამ ამოცანის ამოსახსნელად, შეგვეძლო აგვერჩია სხვა ბაზისი და გვეძებნა ამონახსნი არა (3.23) სახით, არამედ, მაგალითად, ფინლეისონის [9-10] წარმოდგენით:

$$w_\alpha = \sum_{i=1}^N \alpha_i (1-x^2)^i (1-y^2)^i. \quad (3.30)$$

მართალია, ეს წარმოდგენა გაშლის წევრების უფრო მცირე N რაოდენობისათვის გვაძლევს სასურველ სიზუსტეს, (3.23) წარმოდგენასთან შედარებით, მაგრამ გაშლის α_i კოეფიციენტების საპოვნელად, ორთოგონალური ბაზისისაგან განსხვავებით უფრო მეტი ანგარიშია საჭირო.

3.1.3. არასტაციონარული სითბოგამტარობის ამოცანის ამოხსნა გალიორკინის კლასიკური მეთოდით

გალიორკინის მეთოდი, საშუალებას გვაძლევს, კერძოწარმოებულიანი დიფერენციალური განტოლების ამოხსნის ამოცანა, დავიყვანოთ ჩვეულებრივი დიფერენციალური განტოლების ამოხსნაზე. ასეთი მიღომა ხელსაყრელია, რადგან ჩვეულებრივ დიფერენციალურ განტოლებათა ამოხსნის ალგორითმები უკეთესადაა დამუშავებული, ვიდრე კერძოწარმოებულიანი განტოლებებისა.

განვიხილოთ სითბოგამტარობის ერთგანზომილებიანი ამოცანა. შესაბამისი სქემა მოცემულია ნახ. 3.3-ზე:



ნახ. 3.3. ბოლოებით ჩამაგრებული ძელის ტემპერატურის
განაწილების ეპიურა

ძელის ბოლოებზე მოცემულია, რომ შესაბამისად, შენარჩუნებულია T_1 და T_2 ტემპერატურები, ხოლო საწყის $t = 0$ მომენტში, ძელზე ტემპერატურა განაწილებულია კანონით:

$$T(x, 0) = T_1 + (\sin \pi x + x) \cdot (T_2 - T_1). \quad (3.31)$$

ტემპერატურის შემდგომი ცვლილება დროში, მოიცემა სითბოგამტარობის განტოლებით:

$$\frac{\partial T}{\partial t} - \alpha \frac{\partial^2 T}{\partial x^2} = 0. \quad (3.32)$$

გადავიდეთ უგანზომილებო ცვლადებზე. უგანზომილებო ტემპერატურა იყოს

$$\vartheta = \frac{T - T_1}{T_2 - T_1}. \quad (3.33)$$

უგანზომილებო დროის გამოსახვაში შევიტანოთ α სითბოგამტარობის კოეფიციენტი. მაშინ მივიღებთ სითბოგამტარობის უგანზომილებო განტოლებას:

$$\frac{\partial \vartheta}{\partial t} - \frac{\partial^2 \vartheta}{\partial x^2} = 0, \quad (3.34)$$

საწყისი პირობით:

$$\vartheta(x, 0) = \sin \pi x + x \quad (3.35)$$

და სასაზღვრო პირობებით:

$$\vartheta(0, t) = 0 \text{ და } \vartheta(1, t) = 1. \quad (3.36)$$

(3.34), (3.35), (3.36) ამოცანის ამოსახსნელად ავირჩიოთ მიახლოებითი ამონახსნის ფორმა შემდეგნაირად:

$$\vartheta_\alpha(x, t) = \vartheta_0(x) + \sum_{i=1}^N \alpha_i(t) \cdot \varphi_i(x), \quad (3.37)$$

სადაც $\vartheta_0(x) = \sin \pi x + x$, $\varphi_i(x) = x^i - x^{i+1}$. ადვილი შესამჩნევია, რომ $\vartheta_0(x)$ ფუნქცია აკმაყოფილებს საწყის (3.35) და სასაზღვრო (3.36) პირობებს, ხოლო $\varphi_i(x)$ ფუნქციები აკმაყოფილებენ ერთგვაროვან სასაზღვრო პირობებს.

თუ (3.37) წარმოდგენას შევიტანო (3.34) განტოლებაში, მივიღებთ კლომილებას:

$$R = -\frac{\partial^2 \vartheta_0}{\partial x^2} + \sum_{i=1}^N \left(\frac{d\alpha_i}{dt} \cdot \varphi_i - \frac{\alpha_i \partial^2 \varphi_i}{\partial x^2} \right). \quad (3.38)$$

გალიორკინის პროცედურის გამოყენება ანუ განტოლებათა შისტემა:

$$(R, \varphi_i) = 0, \quad (3.39)$$

გვაძლევს ჩვეულებრივ დიფერენციალურ განტოლებათა სისტემას:

$$M \cdot \dot{A} + B \cdot A + C = 0, \quad (2.40)$$

სადაც \dot{A} მატრიცის კომპონენტებია $\frac{d\alpha_i}{dt}$, ხოლო M მატრიცა მოიცემა ფორმულებით:

$$M_{ij} = (\varphi_i, \varphi_j). \quad (3.41)$$

შესაბამისად,

$$B_{ij} = -\left(\frac{\partial^2 \varphi_i}{\partial x^2}, \varphi_j\right); \quad C_i = -\left(\frac{\partial^2 \vartheta_0}{\partial x^2}, \varphi_i\right). \quad (3.42)$$

მატრიცული დიფერენციალური განტოლება (3.40) გადავწეროთ ფორმით:

$$\dot{A} = -M^{-1}B \cdot A - M^{-1}C. \quad (3.43)$$

ამ ამოცანის ამოსახსნელად შევადგინოთ პროგრამა Mathcad-ზე:

$\text{ORIGIN} := 1$

$N := 11$

$i := 1..N$

$j := 1..N$

$$M_{i,j} := \int_0^1 (x^i - x^{i+1}) \cdot (x^j - x^{j+1}) dx$$

	1	2	3	4	5	6	7	8	9
1	0.033	0.017	0.01	0.006	0.004	0.003	0.002	0.002	0.001
2	0.017	0.01	0.006	0.004	0.003	0.002	0.002	0.001	0.001
3	0.01	0.006	0.004	0.003	0.002	0.002	0.001	0.001	0.001
4	0.006	0.004	0.003	0.002	0.002	0.001	0.001	0.001	0.001
5	0.004	0.003	0.002	0.002	0.001	0.001	0.001	0.001	0
6	0.003	0.002	0.002	0.001	0.001	0.001	0.001	0	0
7	0.002	0.002	0.001	0.001	0.001	0.001	0	0	0
8	0.002	0.001	0.001	0.001	0.001	0	0	0	0
9	0.001	0.001	0.001	0.001	0	0	0	0	0
10	0.001	0.001	0.001	0	0	0	0	0	0
11	0.001	0.001	0	0	0	0	0	0	...

$$B_{i,j} := - \int_0^1 (x^i - x^{i+1}) \cdot [j \cdot (j-1) \cdot x^{j-2} - (j+1) \cdot j \cdot x^{j-1}] dx$$

	1	2	3	4	5	6	7	8	9
1	0.333	0.167	0.1	0.067	0.048	0.036	0.028	0.022	0.018
2	0.167	0.133	0.1	0.076	0.06	0.048	0.039	0.032	0.027
3	0.1	0.1	0.086	0.071	0.06	0.05	0.042	0.036	0.031
4	0.067	0.076	0.071	0.063	0.056	0.048	0.042	0.037	0.033
5	0.048	0.06	0.06	0.056	0.051	0.045	0.041	0.037	0.033
6	0.036	0.048	0.05	0.048	0.045	0.042	0.038	0.035	0.032
7	0.028	0.039	0.042	0.042	0.041	0.038	0.036	0.033	0.031
8	0.022	0.032	0.036	0.037	0.037	0.035	0.033	0.031	0.029
9	0.018	0.027	0.031	0.033	0.033	0.032	0.031	0.029	0.028
10	0.015	0.023	0.027	0.029	0.03	0.029	0.029	0.028	0.026
11	0.013	0.02	0.024	0.026	0.027	0.027	0.026	0.026	...

$$C_i := - \int_0^1 \left(-\pi^2 \cdot \sin(\pi \cdot x) \right) \cdot \left(x^i - x^{i+1} \right) dx$$

	1
1	1.273
2	0.637
3	0.362
4	0.224
5	0.148
6	0.103
7	0.074
8	0.055
9	0.042
10	0.033
11	0.026

$$S := -M^{-1} \cdot B \quad T := -M^{-1} \cdot C$$

	1
1	-30.825
2	-32.193
3	25.045
4	9.442
5	6.945
6	-12.764
7	2.578
8	0.656
9	-0.102
10	-0.234
11	0.026

	1	2	3	4
S =	1 -179.936	135.088	-32.907	-51.908
	2 5099.425	-3000.982	2098.83	2818.665
	3 -69695.451	28909.185	-40787.925	-54384.914
	4 536151.184	-139461.759	396692.894	528925.985
	5 -2533470.844	305205.684	-2228269.114	-2971027.911
	6 7698560.042	48171.672	7746734.104	10328980.395
	7 -15323404.383	-1867631.301	-17191035.883	-22921382.074
	8 19848900.32	4523382.941	24372283.055	32496377.711
	9 -16104893.836	-5242838.438	-21347732.051	-28463643.18
	10 7428438.607	3089526.816	10517965.381	14023954.035
	11 -1485685.213	-742714.119	-2228399.318	...

p := 1..N

ic_p := 0.1

D(t, A) := S · A + T

Q := Rkadapt(ic, 0, 100, 200, D)

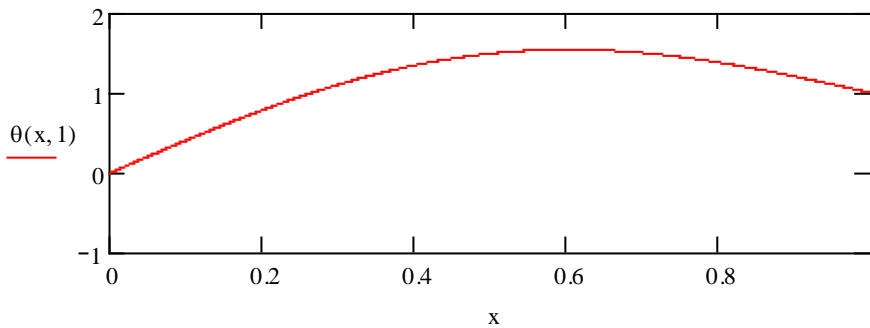
	1	2	3	4	5	6
Q =	1 0	0.1	0.1	0.1	0.1	0.1
	2 0.5	-3.117	-3.117	2.011	2.011	-0.522
	3 1	-3.141	-3.141	2.026	2.026	-0.524
	4 1.5	-3.141	-3.141	2.026	2.026	-0.524
	5 2	-3.141	-3.141	2.026	2.026	-0.524
	6 2.5	-3.141	-3.141	2.026	2.026	-0.524
	7 3	-3.141	-3.141	2.026	2.026	-0.524
	8 3.5	-3.141	-3.141	2.026	2.026	-0.524
	9 4	-3.141	-3.141	2.026	2.026	-0.524
	10 4.5	-3.141	-3.141	2.026	2.026	-0.524
	11 5	-3.141	-3.141	2.026	2.026	-0.524
	12 5.5	-3.141	-3.141	2.026	2.026	-0.524
	13 6	-3.141	-3.141	2.026	2.026	-0.524
	14 6.5	-3.141	-3.141	2.026	2.026	-0.524
	15 7	-3.141	-3.141	2.026	2.026	-0.524
	16 7.5	-3.141	-3.141	2.026	2.026	...

i_g := 0..last(Q^{⟨1⟩})

t := Q^{⟨1⟩}

k := 1..N A_{gk} := Q^{⟨k+1⟩}

$$\theta(x, t) := \sin(\pi \cdot x) + x + \sum_{k=1}^N \left[(A_k)_t \cdot (x^k - x^{k+1}) \right]$$



როგორც მიღებული გრაფიკი გვიჩვენებს, გალიორკინის მეთოდი საკმაოდ კარგ შედეგს გვაძლევს, უპვე როცა $N = 5 \div 11$. დროის შემდეგი მომენტებისათვის გრაფიკი თანდათანობით წრფეს უახლოვდება და შესაბამისად, სიზუსტეც, კლებულობს გათვლის ცდომილებათა დაგროვების გამო, რაც მნიშვნელოვნადაა დამოკიდებული საბაზისო ფუნქციების არჩევაზე. მრუდი წირებისათვის, მრავალ-წევრა საბაზისო ფუნქციები, საზღვარზე საგრძნობ ცდომილებას იძლევა. ასეთ შემთხვევაში, უმჯობესია, საბაზისო სისტემად ავირჩიოთ ჩებიშევის ორთოგონალური სისტემა [11-12].

3.1.4. ბიურგერსის განტოლების მიახლოებითი ამონსნა გალიორკინის მეთოდით

ბიურგერსის განტოლებას ახასითებს ისეთივე არაწრფივობა, როგორც ნავიე-სტოქსის განტოლებებს, ამიტომ, როცა უნდათ შეამოწმონ ნავიე-სტოქსის განტოლებების ამოსახსნელი, ახალი, ამა თუ იმ, მეთოდის მუშაობის სიზუსტე, ბიურგერსის განტოლებას იყენებენ როგორც ტესტურ ამოცანას [13]. მით უმეტეს რომ, ბიურგერსის განტოლების ზუსტი ამონსახსნებიც არსებობს ზოგი-ერთი საწყისი და სასაზღვრო პირობების შემთხვევაში.

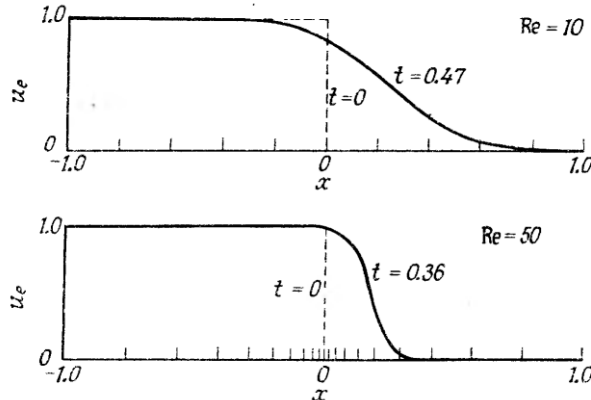
ბიურგერსის განტოლებას აქვს სახე:

$$\frac{\partial u}{\partial t} + u \frac{\partial u}{\partial x} - \frac{1}{Re} \frac{\partial^2 u}{\partial x^2} = 0. \quad (3.44)$$

ეს განტოლება კარგად აღწერს ბალანსს, კონვექტურ $u \frac{\partial u}{\partial x}$ შევრ-სა და დისიპატურ $\frac{1}{Re} \frac{\partial^2 u}{\partial x^2}$ შევრს შორის.

განვიხილოთ გალიორკინის კლასიკური მეთოდის გამოყენება ბიურგერსის არაწრფივი განტოლების ამოსახსნელად.

ბიურგერსის განტოლების ზუსტი ამონახსნი კომპაქტურად ჩაიწერება დარტყმითი ტალღის გავრცელების ამოცანისათვის. ამ ამოცანის დამახასიათებელი ეტაპები მოცემულია ნახ. 3.4. ამ ნახაზზე მოცემულია დარტყმითი ტალღის გავრცელების რეჟიმები Re რეინოლდსის რიცხვის ორი სხვადასხვა მნიშვნელობისათვის. დარტყმითი ტალღა თავიდან წარმოადგენს $x = 0$ წყვეტის სიბრტყეს. შემდეგ ეს ტალღა ვრცელდება მარჯვნივ, თუმცა მისი წყვეტის ზედაპირი თანდათანობით გლუვდება დისიპატური წევრების მოქმედების შედეგად (ხდება ენერგიის გაფანტვა სიბლანტის დასაძლევად).



ნახ. 3.4. ბიურგერსის განტოლების ზუსტი ამონახსნი

შევეცადოთ ამოვხსნათ ბიურგერსის განტოლება, როცა სივრცული ცვლადი $x \in [-1; 1]$ შუალედს და $t \geq 0$. ვთქვათ, საწყისი და სასაზღვრო პირობები მოიცემა შემდეგნაირად:

$$u_0(x) = u(x, 0) = \begin{cases} 1, & \text{if } x \in [-1, 0] \\ 0, & \text{if } x \in (0, 1] \end{cases} \quad (3.45)$$

$$u(-1, t) = 1, \quad u(1, t) = 0. \quad (3.46)$$

ბიურგერსის (3.44) განტოლების ზუსტი ამონახსნის საპოვნელად იყენებენ ხოპფი-კოულის გარდაქმნას [14]:

$$u(x, t) = \alpha \cdot \frac{\partial(\ln v(x, t))}{\partial x}, \quad (3.47)$$

სადაც $v(x, t)$ ახალი ცვლადია, ხოლო α მუდმივი კოეფიციენტია, რომელიც ირჩევა ამონახსნის პოვნის პროცესში. თუ (3.47) ფორმულის

მიხედვით დავიანგარიშებთ ბიურგერსის განტოლებაში შემავალი ცვლადების ახალ გამოსახულებებს, მივიღებთ:

$$u_t = \alpha \cdot \frac{\partial}{\partial x} \left(\frac{\partial}{\partial t} (\ln v) \right), \quad (3.48)$$

$$u_x = \alpha \cdot \frac{\partial^2}{\partial x^2} (\ln v), \quad (3.49)$$

$$u_{xx} = \alpha \cdot \frac{\partial^3}{\partial x^3} (\ln v). \quad (3.50)$$

თუ წარმოებულების გამოთვლილ მნიშვნელობებს (3.48)-(3.50) შევიტანო ბიურგერსის (3.44) განტოლებაში და ვაინტეგრებთ x ცვლადის მიხედვით, მივიღებთ, რომ:

$$\frac{\partial}{\partial t} (\ln v) + \frac{\alpha}{2} \cdot \left(\frac{\partial}{\partial x} (\ln v) \right)^2 = \frac{1}{Re} \cdot \frac{\partial^2}{\partial x^2} (\ln v) + c(t), \quad (3.51)$$

სადაც $c(t)$ ინტეგრების შედეგად მიღებული ნებისმიერი ფუნქციაა. თუ ამ განტოლებაში გამოვთვლით წარმოებულებს, მივიღებთ განტოლებას:

$$\frac{v_t}{v} + \frac{\alpha}{2} \cdot \frac{v_x^2}{v^2} = \frac{1}{Re} \cdot \frac{v_{xx}}{v} - \left(\frac{\alpha}{2} + \frac{1}{Re} \right) \cdot \frac{v_x^2}{v^2} + c(t). \quad (3.52)$$

თუ ამ განტოლებაში ავირჩევთ α მუდმივის მნიშვნელობას ისე, რომ

$$\alpha = -\frac{2}{Re}, \quad (3.53)$$

მაშინ განტოლება (3.52) მიიღებს სითბოგამტარობის წრფივი განტოლების სახეს:

$$v_t - c(t) \cdot v = \frac{1}{Re} \cdot v_{xx}, \quad (3.54)$$

თუ მოვახდეთ ცვლადთა შესაბამის გარდაქმნას, მაშინ (3.54) განტოლება გარდაიქმნება სტანდარტულ სითბოგამტარობის განტოლებად:

$$v_t = \frac{1}{Re} \cdot v_{xx}, \quad (3.55)$$

რომელიც ადვილად იხსნება.

უმარტივეს შემთხვევაში, გვაქვს ტეილორის ამონახსნი სოლიტონური ტალღის ფორმით:

$$u(x, t) = \alpha \cdot \delta \cdot \left(1 - \tanh \frac{\alpha \cdot x - \delta \cdot \alpha^2 \cdot t}{2}\right). \quad (3.56)$$

ამ ამონახსნის შესაბამისი გრაფიკები მოყვანილია ნახ. 3.4.

ამ ამოცანის გალიორკინის მეთოდით, მიახლოებით ამოსახსნელად ჩვეულებრივი მრავალწევრების ნაცვლად, გამოვიყენებო ჩებიშევის პოლინომებს [11-12], რადგან ისინი მოცემული სასაზღვრო პირობებისათვის, უკეთესი მიახლოების საშუალებას იძლევა, ვიდრე მრავალწევრები. საზოგადოდ, მრუდი წირების ინტერპოლაციისას, ჩებიშევის მრავალწევრების ბაზისი შუალედის ბოლოებზე უფრო კარგ მიახლოებას იძლევა, ვიდრე სტანდარტული პოლინომებისაგან შემდგარი ბაზისი.

ჩებიშევის პოლინომები (-1;1) შუალედში ორთოგონალურია $\frac{1}{\sqrt{1-x^2}}$ ფუნქციის წონით. შესაბამისად, ჩვენ ყველაზე მეტად გვაინტერესებს ამ შუალედის ბოლოებზე ამონახსნის სიზუსტე. ჩებიშევის პირველი სამი მრავალწევრი მოიცემა ფორმულებით:

$$T_0(x) = 1, \quad T_1(x) = x, \quad T_2(x) = 2 \cdot x^2 - 1. \quad (3.57)$$

ჩებიშევის უფრო მაღალი რიგის პოლინომები მოიცემა რეკურენტული ფორმულით:

$$T_{n+1}(x) = 2xT_n(x) - T_{n-1}(x). \quad (3.57)$$

ჩებიშევის მრავალწევრები განსაკუთრებულად მნიშვნელოვანია გალიორკინის მეთოდის გამოყენებისას.

ჩებიშევის მრავალწევრების რეკურენტული (სხვაობიანი) განტოლება ადვილად იხსნება და გვაქვს ფორმულა [19]:

$$T_n(x) = \frac{1}{2} \cdot \left((x + \sqrt{x^2 - 1})^n + (x - \sqrt{x^2 - 1})^n \right). \quad (3.59)$$

ბიურგერსის განტოლების მიახლოებით ამონახსნს ვეძებთ შემდეგი ფორმულის საშუალებით:

$$u_\alpha(x, t) = \sum_{i=0}^N \alpha_i(t) \cdot T_i(x). \quad (3.60)$$

ამონახსნის ასეთი მიახლოებითი (3.60) წარმოდგენის ჩასმით ბიურგერსის (3.44) განტოლებაში, მივიღებთ ცდომილებას ფორმით:

$$R = \sum_{i=0}^N \dot{\alpha}_i T_i + \sum_{i=0}^N \alpha_i \sum_{j=0}^N \alpha_j T_i \frac{dT_j}{dx} - \frac{1}{Re} \cdot \sum_{i=0}^N \alpha_i \frac{d^2 T_i}{dx^2}. \quad (3.61)$$

უცნობი $\alpha_i(t)$ კოეფიციენტების საპოვნელ ჩვეულებრივ დიფერენციალურ განტოლებათა სისტემას ვაგებო გალიორკინის მეთოდის საშუალებით, ანუ:

$$(R, T_i) = 0, \quad i = \overline{0, N-2}, \quad (3.62)$$

პირობებიდან.

ამონახსნის (3.60) წარმოდგენაში ორი კოეფიციენტის მნიშვნელობა განისაზღვრება დანარჩენების საშუალებით სასაზღვრო პირობებიდან გამომდინარე, ხოლო (3.62) პირობები კი გვაძლევს მატრიცულ განტოლებას:

$$M \cdot \dot{A} + (B + C) \cdot A = 0, \quad (3.63)$$

სადაც შესაბამისად, გვაქვს აღნიშვნები:

$$M_{ij} = (T_i, T_j), \quad (3.64)$$

$$B_{ij} = \sum_j \alpha_j \left(T_j \frac{dT_i}{dx}, T_i \right), \quad (3.65)$$

$$C_{ij} = \frac{1}{Re} \cdot \left(\frac{dT_i}{dx}, \frac{dT_j}{dx} \right). \quad (3.66)$$

არაწრფივობა იჩენს თავს B_{ij} კოეფიციენტების გამოთვლისას. იმისათვის რომ თავი დავაღწიოთ მეორე რიგის წარმოებულებს C_{ij} კოეფიციენტების გამოთვლისას, გამოიყენება გრინის თეორემა. საძიებელი α_j კოეფიციენტების საწყისი მნიშვნელობების გამოსათვლელად, ვიყენებოთ გალიორკინის მეთოდს და ვხსნით განტოლებათა სისტემას:

$$(u_\alpha - u_0, T_i) = 0, \quad i = \overline{0, N-2}. \quad (3.67)$$

განტოლება (3.63) გადავწეროთ სახით:

$$\dot{A} = -M^{-1}(B + C) \cdot A. \quad (3.68)$$

A ცვლადების მატრიცის საწყის $A0$ მნიშვნელობებს ვპოულობთ (3.67) განტოლებებიდან გამომდინარე [13], რაც გვაძლევს წრფივ განტოლებათა სისტემას:

$$M \cdot A0 = D \Rightarrow A0 = M^{-1} \cdot D, \quad (3.69)$$

სადაც

$$D_i = (u_0, T_i) = \int_{-1}^0 T_i dx. \quad (3.70)$$

მაშინ (3.68) განტოლებათა სისტემა იხსნება რუნგე-კუტას მეთოდით.

3.2. რვაჩოგ-ობგაძის ფუნქციების აგების დიაგრამა და საზღვრის ანალიზური კოდირების RO-მეთოდი

პრაქტიკაში, ხშირად, ვხვდებით ცვლადების შემცველ გამონათქამ ფუნქციებს: „*x* რაციონალური რიცხვია”, „*y* კეთილი ადამიანია”. .

განსაზღვრება: ცვლადის შემცველ გამონათქვამებს პრედიკატებს უწოდებენ.

ხარკველმა ინჟინერმა რვაჩოგმა შექმნა გეომეტრიული კოდირების ერთ-ერთი მეთოდი, რომელსაც **R** - ფუნქციის მეთოდს უწოდებენ. შემდგომში, ეს ფუნქციები გამოყენებული იქნა მათემატიკური ფიზიკის ამოცანების ამოსახსნელად [15]. მოგვიანებით, **R** - ფუნქციის მეთოდი თამაზ ობგაძის მიერ გადაყვანილ იქნა თანამედროვე ალგებრის ენაზე [16], რამაც საშუალება მოგვცა მათემატიკური სიზუსტით ჩამოყალიბებულიყო **R** - ფუნქციის აგების ალგორითმი და განზოგადებულიყო მრავლადბმული შემთხვევებისათვის.

ახლა გადავიდეთ, თვით **R** - ფუნქციის აგების ალგორითმზე, რომელსაც წარმოვადგენთ დიაგრამის მეშვეობით ბულის ალგებრების კატეგორიაში, სადაც მორფიზმები ინდუცირებულია ბუნებრივი პომომორფიზმებით:

$$L_1 \rightarrow L_p \rightarrow L_R, \quad (3.71)$$

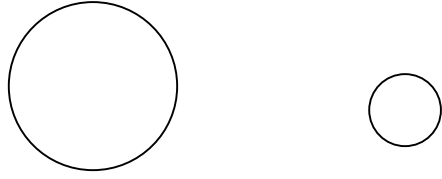
სადაც L_1 არის სიმრავლეებზე აგებული ბულის ალგებრა,

L_p არის პრედიკატებზე აგებული ბულის ალგებრა,

L_R არის რვაჩოგის ფუნქციების ბულის ალგებრა,

ხოლო, ისრებით აღნიშნულია ბუნებრივი პომომორფიზმები.

განვიხილოთ ეს ალგორითმი კონკრეტულ მაგალითზე. ვთქვათ, გვსურს ავაგოთ რთული წირის განტოლება, მაშინ როცა ვიცით თუ, მისი ნაწილები რომელი ფუნქციების გრაფიკებია (ნახ. 3.5):



ნახ. 3.5. ორი წრეწირი R და r რადიუსებით

ჩვენი ამოცანაა შევადგინოთ ისეთი ფუნქციის ანალიზური გამოსახულება, რომელიც ნულის ტოლ მნიშვნელობას იღებს ამ ორი წრეწირის საზღვარზე და სხვა წერტილებში არაა ნული.

(3.69) დიაგრამიდან გამომდინარე, ჯერ L_1 სიმრავლეთა ბულის ალგებრაში ვაგებთ საყრდენ სიმრავლეებს, ანუ იმ სიმრავლეებს, რომელთა საშუალებითაც შესაძლებელია სიმრავლეთა ბულის ალგებრაში აღვწეროთ საძებნი სიმრავლე.

$$\Omega_1 = \{(x, y) | (x-a)^2 + (y-b)^2 - R^2 \geq 0\}, \quad (3.72)$$

$$\Omega_2 = \{(x, y) | R^2 - (x-a)^2 - (y-b)^2 \geq 0\}, \quad (3.73)$$

$$\Omega_3 = \{(x, y) | (x-c)^2 + (y-d)^2 - r^2 \geq 0\}, \quad (3.74)$$

$$\Omega_4 = \{(x, y) | r^2 - (x-c)^2 - (y-d)^2 \geq 0\}. \quad (3.75)$$

ეს ის სიმრავლეებია, რომელთა საშუალებითაც შეიძლება ავაგოთ საძებნი ფუნქციის სიმრავლური განტოლება:

$$\Omega = (\Omega_1 \cap \Omega_2) \cup (\Omega_3 \cap \Omega_4). \quad (3.76)$$

საყრდენი სიმრავლეების აგებისას, ჩვენ ვიყენებთ შესაბამისობას „მეტია ან ტოლი ნულზე”, რაც ამ შემთხვევაში საჭიროა, რათა შეგვეძლოს ადგილად გადასვლა ჰომომორფიზმების საშუალებით სიმრავლეთა ბულის ალგებრიდან პრედიკატთა ბულის L_p ალგებრაში. მართლაც, ბუნებრივი ჰომომორფიზმის საშუალებით L_p -ში მივიღებთ წირის პრედიკატულ განტოლებას:

$$P = (P_1 \wedge P_2) \vee (P_3 \wedge P_4), \quad (3.77)$$

სადაც P_1 – არის გამონათქვამი $x_1 \geq 0$,

$$P_2 – არის გამონათქვამი $x_2 \geq 0$,$$

$$P_3 – არის გამონათქვამი $x_3 \geq 0$,$$

$$P_4 – არის გამონათქვამი $x_4 \geq 0$,$$

$$x_1 = (x-a)^2 + (y-b)^2 - R^2;$$

$$\begin{aligned}x_2 &= R^2 - (x-a)^2 - (y-b)^2; \\x_3 &= (x-c)^2 + (y-d)^2 - r^2; \\x_4 &= r^2 - (x-c)^2 - (y-d)^2.\end{aligned}\quad (3.78)$$

ახლა, გადავიდეთ L_R -ში რვაჩოვის პომომორფიზმის მეშვეობით:

$$\left\{\begin{array}{l}P_i \vee P_j \Leftrightarrow x_i + x_j + \sqrt{x_i^2 + x_j^2} \\P_i \wedge P_j \Leftrightarrow x_i + x_j - \sqrt{x_i^2 + x_j^2} \\-\bar{P}_i \Leftrightarrow -x_i\end{array}\right.\quad (3.79)$$

მივიღებთ R – ფუნქციას :

$$\begin{aligned}R &= (x_1 + x_2 - \sqrt{x_1^2 + x_2^2}) \vee (x_3 + x_4 - \sqrt{x_3^2 + x_4^2}) \equiv x_1 + x_2 + x_3 + x_4 - \sqrt{x_1^2 + x_2^2} - \sqrt{x_3^2 + x_4^2} + \\&+ \sqrt{(x_1 + x_2 - \sqrt{x_1^2 + x_2^2})^2 + (x_3 + x_4 - \sqrt{x_3^2 + x_4^2})^2}\end{aligned}\quad (3.80)$$

სადაც გათვალისწინებული უნდა იყოს (3.78) თანადობები.

ისეთ შემთხვევებში, როცა ზუსტადაა ცნობილია ბმის რამდენიმე ელემენტის მქონე წირის შემადგენელი ელემენტების განტოლებები, უფრო მიზანშეწონილია ობგაძის პომომორფიზმი [16] სტრუქტურებს შორის:

$$K_1 \rightarrow K_p \rightarrow K_R, \quad (3.81)$$

$$\left\{\begin{array}{l}P_i \vee P_j \Leftrightarrow x_i \cdot x_j \\P_i \wedge P_j \Leftrightarrow x_i^2 + x_j^2\end{array}\right.. \quad (3.82)$$

აქ გვაძვს შესაბამისობა: „ჭეშმარიტი” \Leftrightarrow „უდრის ნულს”;

„მცდარი” \Leftrightarrow „არ უდრის ნულს”.

განხილული მაგალითის შემთხვევაში საყრდენი სიმრავლეები იქნება:

$$\Omega_1 = \{(x, y) | (x-a)^2 + (y-b)^2 - R^2 = 0\}, \quad (3.83)$$

$$\Omega_2 = \{(x, y) | (x-c)^2 + (y-d)^2 - r^2 = 0\}. \quad (3.84)$$

მაშინ,

$$\Omega = \Omega_1 \cup \Omega_2; \quad (3.85)$$

$$\text{ე.ო. } P = P_1 \vee P_2; \quad (3.86)$$

სადაც

$$P_1 - \text{არის გამონათქვამი } (x-a)^2 + (y-b)^2 - R^2 = 0, \quad (3.87)$$

$$P_2 - \text{არის გამონათქვამი } (x-c)^2 + (y-d)^2 - r^2 = 0; \quad (3.88)$$

კ.ო.

$$RO = [(x-a)^2 + (y-b)^2 - R^2] \cdot [(x-c)^2 + (y-d)^2 - r^2].$$

როგორც ვხედავთ, ობგაძის [16] პომომორფიზმები, საგრძნობლად ამარტივებენ საძიებელი წირის განტოლებას, რომელიც თავის მხრივ მრავლადბმული გეომეტრიული სიმრავლეების კოდირების საშუალებას იძლევა უწყვეტი ფუნქციების საშუალებით.

ასევე რიგ შემთხვევებში მნიშვნელოვნად მარტივდება R -ფუნქციის ანალიზური სახეც [17-18]. ამიტომ, მიღებულ ალგორითმს, რვაჩოვ-ობგაძის **RO** – მეთოდს ეძახიან.

3.2.1. კოშის ამოცანის ამოხსნა პირველი რიგის ჩვეულებრივი დიფერენციალური განტოლებისათვის რვაჩოვ-ობგაძის **RO** – მეთოდით

რვაჩოვ-ობგაძის **RO** – მეთოდის ინტერპრეტაციის ადვილად გასაგებად, განვიხილოთ მარტივი დიფერენციალური განტოლება [20]:

$$\frac{dy}{dx} - y = 0, \quad (3.89)$$

სასაზღვრო პირობით

$$y(0) = 1. \quad (3.90)$$

ამოცანის ამონახსნს ვეძებთ $G[0; 1]$ შუალედში.

ცხადია, რომ ამ ამოცანის ზუსტ ამონახსნს აქვს სახე: $y = e^x$, რაც ადვილად შეგვიძლია შევამოწმოთ.

ავაგოთ, ახლა, მიახლოებითი ამონახსნი რვაჩოვ-ობგაძის **RO** მეთოდით. ამისათვის ამოვირჩიოთ უმარტივესი ბაზისურ ფუნქციათა სისტემა:

$$\varphi_j(x) = x^j. \quad (3.91)$$

ამონახსნი ვეძებოთ შემდეგი სახით:

$$y_\alpha = 1 + \sum_{j=1}^N \alpha_j x^j. \quad (3.92)$$

ცხადია, რომ ამ გამოსახულების პირველი წევრი არჩეულია სასაზღვრო (3.90) პირობის შესრულებისათვის. ადვილი მისახვედრია, რომ (3.92) წარმოდგენა შეგვიძლია გადავწეროთ (3.93) სახით შემდეგნაირად:

$$y_\alpha = \sum_{j=0}^N \alpha_j x^j, \quad (3.93)$$

თუ ჩავთვლით რომ $\alpha_0 = 1$.

(3.93) გამოსახულება ჩავსვათ (3.89) განტოლებაში, მაშინ მივიღებთ R ცდომილებას შემდეგი სახით:

$$R(x, \alpha) = -1 + \sum_{j=1}^N \alpha_j (jx^{j-1} - x^j). \quad (3.94)$$

კოლოკაციის მეთოდით ამოხსნისას, ცდილობენ რომ α_j კოეფიციენტების საპოვნელად გამოიყენონ განტოლებათა სისტემა:

$$R(x_k, \alpha) = 0, \quad x_k \in G[0; 1], \quad k = \overline{1, N}. \quad (3.95)$$

ცხადია, რომ რაც მეტი წერტილს ავიღებთ, კოლოკაციის მეთოდით, მით უფრო ზუსტი იქნება მიღებული კოეფიციენტების მნიშვნელობები, თუმცა წერტილების რაოდენობის გაზრდა, იწვევს განტოლებათა სისტემის რიგის ზრდას, რაც ხშირად გვაძლევს ცუდად განპირობებულ მატრიცას (წრფივი ოპერატორების შემთხვევაში), ეს კი, თავის მხრივ, ართულებს ამოცანის ამოხსნის საჭირო სიზუსტის მიღწევას. ამიტომ შემუშავებული იქნა ალტერნატიული რვაჩოვობგაძის მეთოდი.

რაც შეეხება რვაჩოვ-ობგაძის მეთოდს, აქ გაშლის α_j კოეფიციენტების საპოვნელად იყენებენ $L_2(G)$ ნორმით ინდუცირებულ მეტრიკას, რათა ეს კოეფიციენტები განისაზღვროს $R(x, \alpha)$ ფუნქციასა და 0-ს შორის მანძილის მინიმიზაციის პირობიდან:

$$I(\alpha) = \int_0^1 (R(x, \alpha) - 0)^2 dx \rightarrow \min. \quad (3.96)$$

შევადგინოთ პროგრამა **Mathcad**-ზე და შევადაროთ რვაჩოვ-ობგაძის RO მეთოდით მიღებული ამონახსნები, ზუსტ ამონახსნები.

ORIGIN:=1

N:=3

$$\text{R}(x, \alpha) := -1 + \sum_{j=1}^N \left[\alpha_j (j \cdot x^{j-1} - x^j) \right] \quad I(\alpha) := \int_0^1 (\text{R}(x, \alpha))^2 dx$$

i := 1..N

$\alpha_i := 0$

Given

$\underline{S} := \text{Minimize}(I, \alpha)$

$$S = \begin{pmatrix} 1.013 \\ 0.425 \\ 0.28 \end{pmatrix}$$

$\alpha := S$

$$y(x) := e^x \quad f(x) := 1 + \sum_{i=1}^N (\alpha_i x^i)$$

$x := 0.1, 0.2, 1$

$e^x =$	$f(x) =$
1.105	1.106
1.221	1.222
1.35	1.35
1.492	1.491
1.649	1.648
1.822	1.821
2.014	2.014
2.226	2.226
2.46	2.46
2.718	2.718

აბსოლუტური ცდომილება:

$$\left| e^x - f(x) \right| =$$

$6.694 \cdot 10^{-4}$
$4.658 \cdot 10^{-4}$
$9.576 \cdot 10^{-5}$
$6.225 \cdot 10^{-4}$
$8.571 \cdot 10^{-4}$
$6.915 \cdot 10^{-4}$
$1.828 \cdot 10^{-4}$
$4.293 \cdot 10^{-4}$
$7.036 \cdot 10^{-4}$
$2.431 \cdot 10^{-5}$

$$\text{ფარდობითი ცდომილება: } \frac{|e^x - f(x)|}{e^x} =$$

6.057·10 ⁻⁴
3.813·10 ⁻⁴
7.094·10 ⁻⁵
4.173·10 ⁻⁴
5.199·10 ⁻⁴
3.795·10 ⁻⁴
9.079·10 ⁻⁵
1.929·10 ⁻⁴
2.861·10 ⁻⁴
8.942·10 ⁻⁶

ამ ბოლო ორი სვეტის შედარება ნათლად გვიჩვენებს, რომ რგანვ-ობგაძის მეთოდი ამ შემთხვევაში იძლევა საკმაოდ დიდ სიზუსტეს.

3.2.2. რგანვ-ობგაძის მეთოდის გამოყენება პვარატული პვეთის უსასრულო მილში ბლანტი სითხის ერთგანზომილებიანი დინების შესასწავლად

ამ ამოცანის გალიორკინის მეთოდით შესწავლისას, ამოცანა დაიყვანება პუასონის განტოლებაზე:

$$\frac{\partial^2 w}{\partial x^2} + \frac{\partial^2 w}{\partial y^2} + 1 = 0. \quad (3.97)$$

სასაზღვრო პირობებით

$$w = 0 \text{ if } x = \pm 1, y = \pm 1. \quad (3.98)$$

რგანვ-ობგაძის მეთოდით ამ ამოცანის ამოსახსნელად, შევადგინოთ შესაბამისი RO-ფუნქცია:

$$RO = (1 - x^2) \cdot (1 - y^2). \quad (3.99)$$

ცხადია, რომ ეს ფუნქცია აკმაყოფილებს (3.98) სასაზღვრო პრობებს. მაშასადამე, (3.97) განტოლების ამონახსნი შეგვიძლია ვეძებოთ შემდეგი სახით:

$$w = RO \cdot \sum_{i=0}^N \sum_{j=0}^N \alpha_{ij} \cdot \varphi_{ij}(x, y), \quad (3.100)$$

სადაც $\varphi_{ij}(x, y)$ ბაზისური ფუნქციებია, ხოლო α_{ij} პოეფიციენტებს ვპოულობთ ცდომილების $L_2(G)$ ნორმით მინიმიზაციის პირობიდან.

ავირჩიოთ საბაზისო ფუნქციები ისე, რომ არის შიგნით ყველა წევრი არ ხდებოდეს ნულის ტოლი, მაგალითად, შემდეგნაირად:

$$\varphi_{ij}(x, y) = (1 - x^2)^{i-1} \cdot (1 - y^2)^{j-1}. \quad (3.101)$$

მაშინ, გვექნება ამონახსნის ფინლეისონის [9] წარმოდგენა:

$$w = \sum_{i=0}^N \alpha_i (1 - x^2)^i \cdot (1 - y^2)^i \quad (3.102)$$

აქედან გამომდინარე, მივიღებთ, რომ:

$$\begin{aligned} w_{xx} &= \sum_{i=2}^N \alpha_i \cdot i \cdot (i-1) \cdot (1-x^2)^{i-2} \cdot (1-y^2)^i \cdot (-2x) + \\ &+ \sum_{i=1}^N \alpha_i \cdot i \cdot (1-x^2)^{i-1} \cdot (1-y^2)^i \cdot (-2). \end{aligned} \quad (3.103)$$

რაც შეეხება w_{yy} -ს, მასაც ანალოგიური სახე აქვს სამებნი (3.102) ფუნქციის სიმეტრიულობის გამო. მაშასადამე, შეგვიძლია შევადგინოთ $R(x, y, \alpha)$ ცდომილების გამოსახულება. ამისათვის (3.102) უნდა შევიტანოთ პუსონის (3.97) განტოლებაში და მოვახდინოთ გარდაქმნები:

$$\begin{aligned} R(x, y, \alpha) &= \frac{\partial^2 w}{\partial x^2} + \frac{\partial^2 w}{\partial y^2} + 1 = \\ &= \sum_{i=2}^N \alpha_i \cdot i \cdot (i-1) \cdot (1-x^2)^{i-2} \cdot (1-y^2)^i \cdot (-2x) + \\ &+ \sum_{i=1}^N \alpha_i \cdot i \cdot (1-x^2)^{i-1} \cdot (1-y^2)^i \cdot (-2) + \\ &+ \sum_{i=2}^N \alpha_i \cdot i \cdot (i-1) \cdot (1-y^2)^{i-2} \cdot (1-x^2)^i \cdot (-2y) + \\ &+ \sum_{i=1}^N \alpha_i \cdot i \cdot (1-y^2)^{i-1} \cdot (1-x^2)^i \cdot (-2) + 1. \end{aligned} \quad (3.104)$$

აქ გაშლის α_j კოეფიციენტების საპოვნელად ვიყენებთ $L_2(G)$ ნორმით ინდუცირებულ მეტრიკას, რათა ეს კოეფიციენტები განისაზღვროს $R(x, y, \alpha)$ ფუნქციასა და 0-ს შორის მანძილის მინიმუმის პირობიდან:

$$I(\alpha) = \int_0^1 (R(x, \alpha) - 0)^2 dx \rightarrow \min. \quad (3.105)$$

შევადგინოთ პროგრამა **Mathcad**-ზე და შევადაროთ რვაჩოვობგაძის RO გეთოდით მიღებული B ამონასნი $w(x, y)$, გალიორ-კინის გეთოდით მიღებულ A ამონასნის $G(x, y)$.

$\text{N} := 3$

$$\text{wx}(x, y, \alpha) := \left[\sum_{i=1}^N \left[\alpha_i \cdot i \cdot (1-x^2)^{i-1} \cdot (-2) \cdot (1-y^2)^i \right] + \sum_{i=2}^N \left[\alpha_i \cdot i \cdot (i-1) \cdot (1-x^2)^{i-2} \cdot (-2 \cdot x) \cdot (1-y^2)^i \right] \right]$$

$$\text{wy}(x, y, \alpha) := \left[\sum_{i=1}^N \left[\alpha_i \cdot i \cdot (1-y^2)^{i-1} \cdot (-2) \cdot (1-x^2)^i \right] + \sum_{i=2}^N \left[\alpha_i \cdot i \cdot (i-1) \cdot (1-y^2)^{i-2} \cdot (-2 \cdot y) \cdot (1-x^2)^i \right] \right]$$

$$\text{R}(x, y, \alpha) := \text{wx}(x, y, \alpha) + \text{wy}(x, y, \alpha) + 1$$

Given

$$I(\alpha) := \int_{-1}^1 \int_{-1}^1 \text{R}(x, y, \alpha)^2 dx dy$$

$i := 0..N$

$\alpha_i := 0$

$\alpha := S$

$$I(\alpha) = 0.272$$

$S := \text{Minimize}(I, \alpha)$

$$S = \begin{pmatrix} 0 \\ 0.402 \\ -0.021 \\ -0.027 \end{pmatrix}$$

$$w(x, y) := \sum_{i=0}^N \left[\alpha_i \cdot (1-x^2)^i \cdot (1-y^2)^i \right]$$

$$G(x, y) := \sum_{k=1}^N \sum_{m=1}^N \left[\left(\frac{8}{\pi^2} \right)^2 \cdot \frac{(-1)^{\frac{2 \cdot k + 2 \cdot m - 2}{2} - 1}}{(2 \cdot k - 1) \cdot (2 \cdot m - 1) \cdot [(2 \cdot k - 1)^2 + (2 \cdot m - 1)^2]} \cdot \cos \left[(2 \cdot k - 1) \cdot \frac{\pi}{2} \cdot x \right] \cdot \cos \left[(2 \cdot m - 1) \cdot \frac{\pi}{2} \cdot y \right] \right]$$

$$i := 0..4$$

$$j := 0..4$$

$$x_i := -1 + 0.5i$$

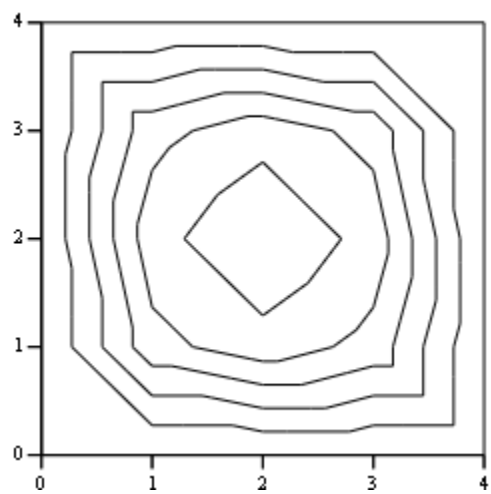
$$y_j := -1 + 0.5j$$

$$A_{i,j} := G(x_i, y_j) \quad B_{i,j} := w(x_i, y_j)$$

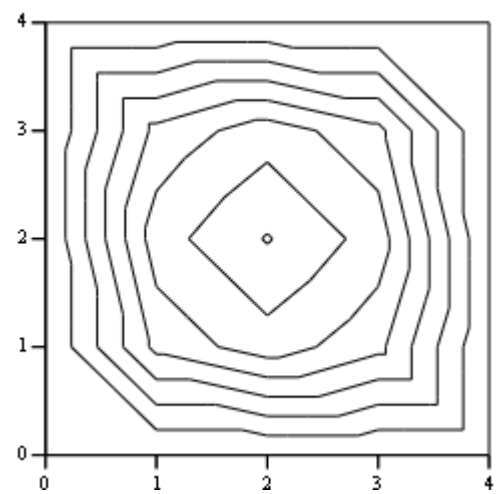
$$A = \begin{pmatrix} 0 & 0 & 0 & 0 & 0 \\ 0 & 0.182 & 0.231 & 0.182 & 0 \\ 0 & 0.231 & 0.297 & 0.231 & 0 \\ 0 & 0.182 & 0.231 & 0.182 & 0 \\ 0 & 0 & 0 & 0 & 0 \end{pmatrix}$$

$$B - A = \begin{pmatrix} 0 & 0 & 0 & 0 & 0 \\ 0 & 0.032 & 0.047 & 0.032 & 0 \\ 0 & 0.047 & 0.057 & 0.047 & 0 \\ 0 & 0.032 & 0.047 & 0.032 & 0 \\ 0 & 0 & 0 & 0 & 0 \end{pmatrix}$$

$$\max(B - A) = 0.057$$



A



B

3.2.3. რვაჩოვ-ობგაძის მეთოდის გამოყენება არასტაციონარული სითბოგამტარობის ამოცანის ამოსახსნელად

გალიორკინის მეთოდის განხილვისას, ჩვენ უკვე განვიხილავთ
სითბოგამტარობის უგანზომილებო განტოლება:

$$\frac{\partial \vartheta}{\partial t} - \frac{\partial^2 \vartheta}{\partial x^2} = 0, \quad (3.106)$$

საწყისი პირობით:

$$\vartheta(x, 0) = \sin \pi x + x \quad (3.107)$$

და სასაზღვრო პირობებით:

$$\vartheta(0, t) = 0 \quad \text{და} \quad \vartheta(1, t) = 1. \quad (3.108)$$

(3.106), (3.107), (3.108) ამოცანის ამოსახსნელად ავირჩიოთ მიახ-
ლოებითი ამონახსნის ფორმა შემდეგნაირად:

$$\vartheta_\alpha(x, t) = \vartheta_0(x) + \sum_{i=1}^N \alpha_i(t) \cdot \varphi_i(x), \quad (3.109)$$

სადაც $\vartheta_0(x) = \sin \pi x + x$, $\varphi_i(x) = x^i - x^{i+1}$. ადგილი შესამჩნევია, რომ
 $\vartheta_0(x)$ ფუნქცია აკმაყოფილებს სასაზღვრო (3.108) პირობებს. ხოლო
 $\varphi_i(x)$ ფუნქციები აკმაყოფილებენ ერთგვაროვან სასაზღვრო პირო-ბებს
ანუ ამონახსნს ვეძებთ ფორმით:

$$\vartheta(x, t) = \sin \pi x + x + \sum_{i=1}^N \alpha_i(t) \cdot (x^i - x^{i+1}). \quad (3.110)$$

$\alpha_i(t)$ კოეფიციენტების საპოვნელად, წარმოვადგინოთ ისინი ხა-
რისხოვანი მწკრივის სახით დროის მიმართ:

$$\alpha_i(t) = \sum_{j=1}^N \beta_{ij} t^j. \quad (3.111)$$

თუ (3.111) წარმოდგენას ჩავსვამთ (3.110) განტოლებაში, გვექნება
ამონახსნის წარმოდგენა:

$$\vartheta(x, t) = \sin \pi x + x + \sum_{i=1}^N \sum_{j=1}^N \beta_{ij} t^j \cdot (x^i - x^{i+1}), \quad (3.112)$$

ცხადია, რომ (3.112) წარმოდგენა ითვალისწინებს (3.107) საწყის
პირობებს. მაშასადამე, ამოცანის ამოსახსნელად საჭიროა ვიპოვოთ β_{ij}
კოეფიციენტების მნიშვნელობები (3.112) წარმოდგენაში.

რვაჩოვ-ობგაძის მეთოდის შემდგომი ეტაპია $R(x, t, \beta)$ ცდომილების პოვნა, რისთვისაც (3.112) წარმოდგენა უნდა ჩავსვათ (3.106) წარმოდგენაში და მიღებული შედეგი ჩავწეროთ ერთგვაროვანი სახით.

$$R(x, t, \beta) = \sum_{i=1}^N \sum_{j=1}^N \beta_{ij} \cdot j \cdot t^{j-1} \cdot (x^i - x^{i+1}) - \pi^2 \cdot \sin \pi x - \\ - \sum_{i=2}^N \sum_{j=1}^N \beta_{ij} t^j \cdot (i \cdot (i-1)x^{i-2} - (i+1) \cdot i \cdot x^{i-1}). \quad (3.113)$$

აქ გაშლის β_{ij} კოეფიციენტების საპოვნელად ვიყენებოთ $L_2(G)$ ნორმით ინდუცირებულ მეტრიკას, რათა ეს კოეფიციენტები განისაზღვროს $R(x, t, \beta)$ ფუნქციასა და 0-ს შორის მანძილის მინიმიზაციის პირობიდან:

$$I(\beta) = \int_0^1 \int_0^\infty (R(x, t, \beta) - 0)^2 dt dx \rightarrow \min. \quad (3.114)$$

შევადგინოთ პროგრამა **Mathcad**-ზე და შევადაროთ რვაჩოვ-ობგაძის RO-მეთოდით მიღებული ამონახსნი $\vartheta(x, t)$, გალიორკინის მეთოდით მიღებულ ამონახსნს.

$N := 3$

$$R(x, t, \beta) := \sum_{i=1}^N \left[\sum_{j=1}^N \left[\beta_{i,j} \cdot j \cdot t^{j-1} \cdot (x^i - x^{i+1}) \right] \right] - \pi^2 \cdot \sin(\pi \cdot x) - \sum_{i=2}^N \sum_{j=1}^N \left[\beta_{i,j} \cdot t^j \cdot [i \cdot (i-1) \cdot x^{i-2} - i \cdot (i+1) \cdot x^{i-1}] \right]$$

$$I(\beta) := \int_0^1 \int_0^1 (R(x, t, \beta))^2 dt dx$$

$i := 1..N$

$j := 1..N$

$\beta_{i,j} := 0$

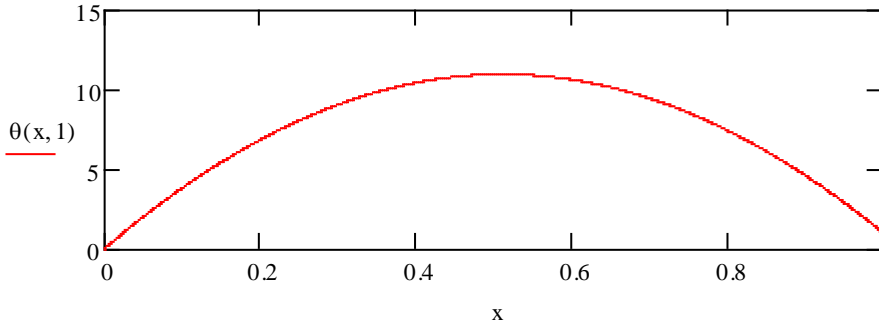
Given

$S := \text{Minimize}(I, \beta)$

$$S = \begin{pmatrix} 0 & 0 & 0 & 0 \\ 0 & 37.785 & -0.268 & 0.159 \\ 0 & 1.546 & -2.704 & 1.436 \\ 0 & -1.617 & 2.934 & -1.603 \end{pmatrix}$$

$\beta := S$

$$\theta(x, t) := \sin(\pi \cdot x) + x + \sum_{i=1}^N \sum_{j=1}^N [\beta_{i,j} t^j \cdot (x^i - x^{i+1})]$$



შედეგების შედარება გალიორკინის მეთოდითა და რვაჩოვ-ობგაძის მეთოდებით ამოხსნისას, გვარწმუნებს რვაჩოვ-ობგაძის მეთოდის უპირატესობაში; რადგან ამონახსნი მიიღება უფრო სწრაფად და ზუსტად.

3.2.4. ბიურგერსის განტოლების მიახლოებითი ამოხსნა რვაჩოვ-ობგაძის მეთოდით

ბიურგერსის განტოლებას ახასითებს ისეთივე არაწრფივობა, როგორც ნავიე-სტოქსის განტოლებებს, ამიტომ როცა უნდათ შეამოწმონ ნავიე-სტოქსის განტოლებების ამოსახსნელი, ახალი, ამა თუ იმ, მეთოდის მუშაობის სიზუსტე, ბიურგერსის განტოლებას იყენებენ როგორც ტესტურ ამოცანას [13]. მით უმეტეს, რომ ზოგიერთი საწყისი და სასაზღვრო პირობების შემთხვევაში, ბიურგერსის განტოლების ზუსტი $u(x, t)$ ამონახსნიც არსებობს. ბიურგერსის განტოლებას აქვს სახე:

$$\frac{\partial u}{\partial t} + u \frac{\partial u}{\partial x} - \frac{1}{Re} \frac{\partial^2 u}{\partial x^2} = 0. \quad (3.115)$$

შევეცადოთ ამოვხსნათ ბიურგერსის განტოლება, როცა სივრცული ცვლადი $x \in [-1; 1]$ შუალედს და $t \geq 0$. ვთქვათ, საწყისი და სასაზღვრო პირობები მოიცემა შემდეგნაირად:

$$u_0(x) = u(x, 0) = \begin{cases} 1, & \text{if } x = 0 \\ 0, & \text{if } x = 1, \end{cases} \quad (3.116)$$

$$u(-1, t) = 1, \quad u(1, t) = 0. \quad (3.117)$$

ამ ამოცანის რვაჩოვ-ობგაძის მეთოდით, მიახლოებით ამოსახსნელად გამოვიყენებთ პოლინომებს:

$$T_i(x) = x^i. \quad (3.118)$$

ბიურგერსის განტოლების მიახლოებით ამონახსნეს ვეძებთ შემდეგი ფორმულის საშუალებით:

$$u_\alpha(x, t) = \sum_{i=1}^N \alpha_i(t) \cdot x^i. \quad (3.119)$$

გარდა ამისა, წარმოვადგინოთ $\alpha_i(t)$ კოეფიციენტები დროის ხარისხოვანი მწკრივის სახით:

$$\alpha_i(t) = \sum_{j=1}^N \beta_{ij} t^j, \quad (3.120)$$

მაშინ გვექნება, რომ

$$u(x; t) = 1 - x + \sum_{i=1}^N \sum_{j=1}^N \beta_{ij} t^j x^i. \quad (3.121)$$

ადგილი შესამჩნევია, რომ (3.121) წარმოდგენა ითვალისწინებს საწყის პირობებს. ამ წარმოდგენაში საპოვნელია β_{ij} გაშლის კოეფიციენტები. მათ საპოვნელად, ჩავსვათ (3.121) გამოსახულება ბიურგერსის (3.115) განტოლებაში და შევადგინოთ ცდომილების $R(x, t, \beta)$ ფუნქცია. მივიღებთ, რომ

$$u_x = -1 + \sum_{i=1}^N \sum_{j=1}^N \beta_{ij} t^j \cdot i \cdot x^{i-1}; \quad (3.122)$$

$$u_{xx} = \sum_{i=2}^N \sum_{j=1}^N \beta_{ij} t^j i(i-1) x^{i-2}; \quad (3.123)$$

$$\begin{aligned} R(x, t, \beta) = & \sum_{i=1}^N \sum_{j=1}^N j \cdot \beta_{ij} \cdot t^{j-1} \cdot x^i + \\ & + \left(1 - x + \sum_{i=1}^N \sum_{j=1}^N \beta_{ij} t^j x^i \right) \cdot \\ & \cdot \left(-1 + \sum_{i=1}^N \sum_{j=1}^N \beta_{ij} t^j \cdot i \cdot x^{i-1} \right) - \\ & - \frac{1}{Re} \cdot \left(\sum_{i=2}^N \sum_{j=1}^N \beta_{ij} t^j i(i-1) x^{i-2} \right). \end{aligned} \quad (3.124)$$

აქ გაშლის β_{ij} კოეფიციენტების საპოვნელად ვიყენებთ $L_2(G)$ ნორმით ინდუცირებულ მეტრიკას, რათა ეს კოეფიციენტები განისაზღვროს $R(x, t, \beta)$ ფუნქციასა და 0-ს შორის მანძილის მინიმუმის პირობიდან:

$$I(\beta) = \int_0^1 \int_0^\infty (R(x, t, \beta) - 0)^2 dt dx \rightarrow \min. \quad (3.114)$$

შევადგინოთ პროგრამა **Mathcad**-ზე და შევადაროთ რვაჩოვ-ობგაძის RO-მეთოდით მიღებული ამონახსნი $u(x, t)$, გალიორკინის მეთოდით მიღებულ ამონახსნს.

$$\text{N} := 3 \quad \text{Re} := 100$$

$$\text{ORIGIN} := 1$$

$$ux(x, t, \beta) := -1 + \sum_{i=1}^N \sum_{j=1}^N \left(\beta_{i,j} t^{j-i-1} \right)$$

$$uxx(x, t, \beta) := \left[\sum_{i=1}^N \sum_{j=1}^N \left[\beta_{i,j} t^{j-(i-1)-2} \right] \right]$$

$$R0(x, t, \beta) := \sum_{i=1}^N \sum_{j=1}^N \left(\beta_{i,j} t^{j-1-i-j} \right) + \left[1 - x + \sum_{i=1}^N \sum_{j=1}^N \left(\beta_{i,j} t^{j-i} \right) \right] \cdot ux(x, t, \beta)$$

$$R(x, t, \beta) := R0(x, t, \beta) - \frac{1}{Re} \cdot uxx(x, t, \beta)$$

$$I(\beta) := \int_0^1 \int_0^1 R(x, t, \beta)^2 dx dt$$

$$i := 1..N$$

$$j := 1..N$$

$$\beta_{i,j} := 0$$

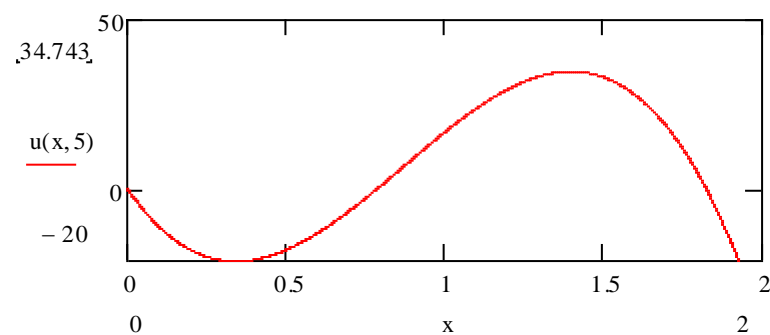
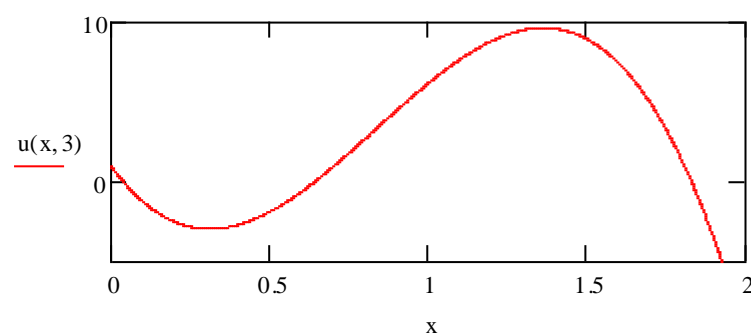
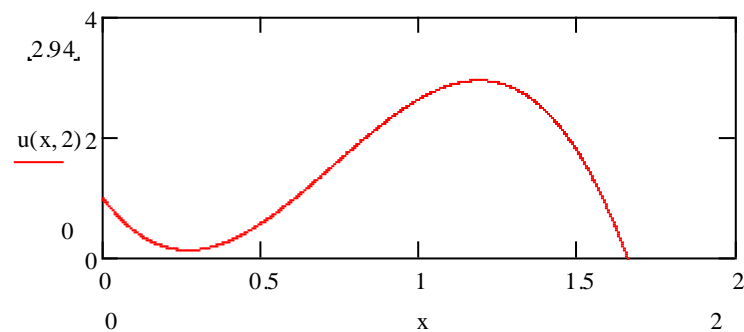
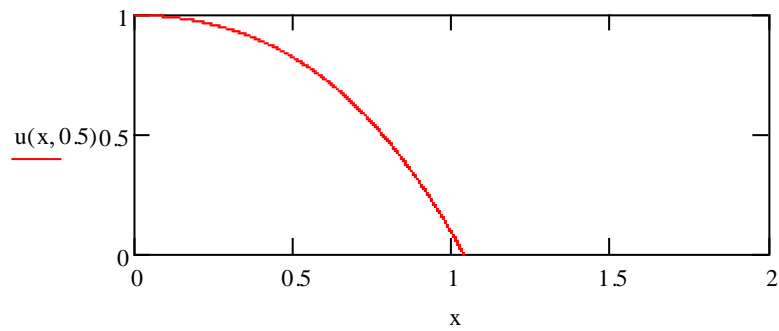
Given

$$S := \text{Minimize}(I, \beta)$$

$$S = \begin{pmatrix} 2.499 & -0.677 & -1.039 \\ -1.892 & 1.416 & 1.752 \\ -0.82 & 0.05 & -0.726 \end{pmatrix}$$

$$\beta := S$$

$$u(x, t) := 1 - x + \sum_{i=1}^N \sum_{j=1}^N \left(\beta_{i,j} t^{j-i} \right)$$



IV თავისიდროდინამიკის სტაციონარული ამოცანების ამოხსნა

RO-მეთოდით

პიდროდიმანიკის ამოცანები ხასიათდება არსებითი არაწრფივობით, რაც ართულებს მათ ანალიზურ შესწავლას. მონოგრაფიაში განვითარებული RO-მეთოდი კი საშუალებას იძლევა, არაწრფივი ამოცანები შევისწავლოთ რიცხვითი ანალიზის საფუძველზე.

4.1. სწორხაზოვან კედლებიან არხში მოთავსებული, წრიული ცილინდრის, ბლანტი უკუმშავი სითხით სტაციონარული გარსდენის ამოცანის ამოხსნა RO-მეთოდით

განვიხილოთ წრიული ცილინდრის სტაციონარული გარსდენის ამოცანა ბლანტი უკუმშავი სითხით. მაშინ, ამოცანის ფიზიკური ხასიათიდან გამომდინარე, გვექნება ორგანზომილებიანი ნავიკ-სტოქსის (4.1)-(4.2) განტოლებათა სისტემა უკუმშვადობის (4.3) პირობით:

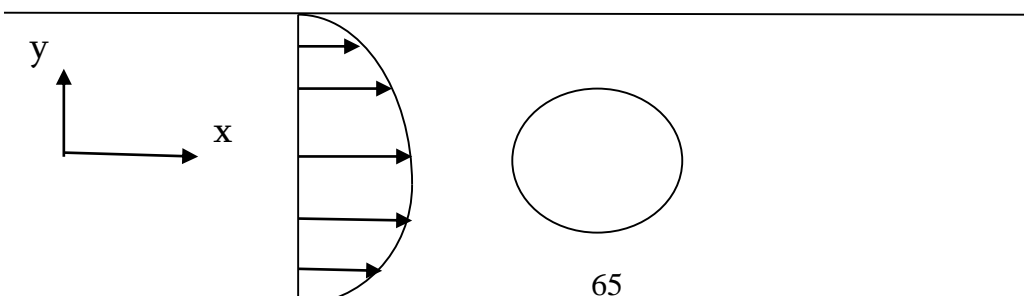
$$u \frac{\partial u}{\partial x} + v \frac{\partial u}{\partial y} = - \frac{\partial p}{\partial x} + \frac{1}{Re} \left(\frac{\partial^2 u}{\partial x^2} + \frac{\partial^2 u}{\partial y^2} \right), \quad (4.1)$$

$$u \frac{\partial v}{\partial x} + v \frac{\partial v}{\partial y} = - \frac{\partial p}{\partial y} + \frac{1}{Re} \left(\frac{\partial^2 v}{\partial x^2} + \frac{\partial^2 v}{\partial y^2} \right), \quad (4.2)$$

$$\frac{\partial u}{\partial x} + \frac{\partial v}{\partial y} = 0, \quad (4.3)$$

სადაც $u(x, y)$, $v(x, y)$ სიჩქარის გექტორის კომპონენტებია, p – წნევა,

Re – რეინოლდსის უგანზომილებო რიცხვი.



ნახ. 4.1. სწორხაზოვან კედლებიან არხში მოთავსებული წრიული ცილინდრის გარსდენის სქემა

დიფერენციალურ განტოლებათა (4.1)-(4.3) სისტემას უნდა მივუ-
ერთოთ სასაზღვრო – მიკვრის პირობები:

$$u(x, \pm 1) = v(x, \pm 1) = 0, \quad u_{x^2+y^2=0.25} = 0. \quad (4.4)$$

ეს პირობები უზრუნველყოფს სითხის მიკვრას სწორხაზოვანი
არხის $y = \pm 1$ კედლებზე და $x^2 + y^2 = 0.25$ საზღვრის მქონე
ცილინდრის კედლებზე.

ამას გარდა, საჭიროა კინემატიკური პირობები:

$$u(-2, y) = 1 - y^2, \quad v(-2, y) = 0. \quad (4.5)$$

ამ ამოცანისათვის **RO** – ფუნქციას აქვს სახე:

$$RO(x, y) = (1 - y^2)(x^2 + y^2 - 0.25). \quad (3.6)$$

ცხადია, რომ $RO(x, y)$ ფუნქცია საშუალებას იძლევა დავაკმაყო-
ფილოთ (4.4) სასაზღვრო პირობები, თუ ამოცანის ამონასსნის მოვძებ-
ნით სახით:

$$u(x, y, \alpha) = RO(x, y) \cdot \sum_{i=0}^N \sum_{j=0}^N \alpha_{ij} (x + 2)^i y^j, \quad (4.7)$$

$$v(x, y, \beta) = RO(x, y) \cdot \sum_{i=0}^N \sum_{j=0}^N \beta_{ij} (x + 2)^i y^j, \quad (4.8)$$

$$p(x, y, \gamma) = \sum_{i=0}^N \sum_{j=0}^N \gamma_{ij} x^i y^j. \quad (4.9)$$

ცხადია, რომ (4.8) ფორმა ავტომატურად აკმაყოფილებს (4.5) კი-
ნემატიკურ პირობების მეორე $v(-2, y) = 0$ განტოლებას. მაშასადამე,
 α, β, γ კოეფიციენტები უნდა ვიპოვოთ $u(-2, y) = 1 - y^2$ კინემატიკური
პირობიდან და (4.1)-(4.3) განტოლებათა სისტემიდან.

შევადგინოთ ცდომილების $I(\alpha, \beta, \gamma)$ ფუნქცია. ამისათვის ჯერ
გამოვითვალოთ საჭირო კერძო წარმოებულები:

$$\begin{aligned}
ux(x, y, \alpha) &= (1 - y^2)(2x) \sum_{i=0}^N \sum_{j=0}^N \alpha_{ij} (x+2)^i y^j + \\
&+ (1 - y^2)(x^2 + y^2 - 0.25) \sum_{i=1}^N \sum_{j=0}^N i \alpha_{ij} (x+2)^{i-1} y^j, \quad (4.10)
\end{aligned}$$

$$\begin{aligned}
uxx(x, y, \alpha) &= (1 - y^2)(2) \sum_{i=0}^N \sum_{j=0}^N \alpha_{ij} (x+2)^i y^j + \\
&+ (1 - y^2)(4x) \sum_{i=1}^N \sum_{j=0}^N i \alpha_{ij} (x+2)^{i-1} y^j + \\
&+ (1 - y^2)(x^2 + y^2 - 0.25) \sum_{i=2}^N \sum_{j=0}^N i(i-1) \alpha_{ij} (x+2)^{i-2} y^j, \quad (4.11)
\end{aligned}$$

$$\begin{aligned}
uy(x, y, \alpha) &= (-2y \cdot (x^2 + y^2 - 0.25) + 2y(1 - y^2)) \sum_{i=0}^N \sum_{j=0}^N \alpha_{ij} (x+2)^i y^j + \\
&+ (1 - y^2)(x^2 + y^2 - 0.25) \sum_{i=0}^N \sum_{j=1}^N j \alpha_{ij} (x+2)^i y^{j-1}, \quad (4.12)
\end{aligned}$$

$$\begin{aligned}
uyy(x, y, \alpha) &= (-2x^2 - 12y^2 + 2.5) \sum_{i=0}^N \sum_{j=0}^N \alpha_{ij} (x+2)^i y^j + \\
&+ 2(-2y \cdot (x^2 + y^2 - 0.25) + 2y(1 - y^2)) \sum_{i=0}^N \sum_{j=1}^N j \alpha_{ij} (x+2)^i y^{j-1} + \\
&+ (1 - y^2)(x^2 + y^2 - 0.25) \sum_{i=0}^N \sum_{j=2}^N j(j-1) \alpha_{ij} (x+2)^i y^{j-2}, \quad (4.13)
\end{aligned}$$

$$\begin{aligned}
vx(x, y, \beta) &= (1 - y^2)(2x) \sum_{i=0}^N \sum_{j=0}^N \beta_{ij} (x+2)^i y^j + \\
&+ (1 - y^2)(x^2 + y^2 - 0.25) \sum_{i=1}^N \sum_{j=0}^N i \beta_{ij} (x+2)^{i-1} y^j, \quad (4.14)
\end{aligned}$$

$$vx(x, y, \beta) = (1 - y^2)(2) \sum_{i=0}^N \sum_{j=0}^N \beta_{ij} (x+2)^i y^j +$$

$$\begin{aligned}
& + (1 - y^2)(4x) \sum_{i=1}^N \sum_{j=0}^N i \beta_{ij} (x+2)^{i-1} y^j + \\
& + (1 - y^2)(x^2 + y^2 - 0.25) \sum_{i=2}^N \sum_{j=0}^N i(i-1) \beta_{ij} (x+2)^{i-2} y^j, \quad (4.15)
\end{aligned}$$

$$\begin{aligned}
vy(x, y, \beta) = & (-2y \cdot (x^2 + y^2 - 0.25) + 2y(1 - y^2)) \sum_{i=0}^N \sum_{j=0}^N \beta_{ij} (x+2)^i y^j + \\
& + (1 - y^2)(x^2 + y^2 - 0.25) \sum_{i=0}^N \sum_{j=1}^N j \beta_{ij} (x+2)^i y^{j-1}, \quad (4.16)
\end{aligned}$$

$$\begin{aligned}
vyy(x, y, \beta) = & (-2x^2 - 12y^2 + 2.5) \sum_{i=0}^N \sum_{j=0}^N \beta_{ij} (x+2)^i y^j + \\
& + 2(-2y \cdot (x^2 + y^2 - 0.25) + 2y(1 - y^2)) \sum_{i=0}^N \sum_{j=1}^N j \beta_{ij} (x+2)^i y^{j-1} + \\
& + (1 - y^2)(x^2 + y^2 - 0.25) \sum_{i=0}^N \sum_{j=2}^N j(j-1) \beta_{ij} (x+2)^i y^{j-2}, \quad (4.17)
\end{aligned}$$

$$px(x, y, \gamma) = \sum_{i=1}^N \sum_{j=0}^N i \gamma_{ij} x^{i-1} y^j, \quad (4.18)$$

$$py(x, y, \gamma) = \sum_{i=0}^N \sum_{j=1}^N j \gamma_{ij} x^i y^{j-1}. \quad (4.19)$$

მაშინ თითოეული განტოლებიდან გვექნება შესაბამისი ცდომილება:

$$\begin{aligned}
R1(x, y, \alpha, \beta, \gamma) = & u(x, y, \alpha) ux(x, y, \alpha) + v(x, y, \beta) uy(x, y, \alpha) + px(x, y, \gamma) - \\
& - \frac{1}{Re} (uxx(x, y, \alpha) + uyy(x, y, \alpha)), \quad (4.20)
\end{aligned}$$

$$\begin{aligned}
R2(x, y, \alpha, \beta, \gamma) = & u(x, y, \alpha) vx(x, y, \beta) + v(x, y, \beta) vy(x, y, \beta) + py(x, y, \gamma) - \\
& - \frac{1}{Re} (vxx(x, y, \beta) + vyy(x, y, \beta)), \quad (4.21)
\end{aligned}$$

$$R3(x, y, \alpha, \beta) = ux(x, y, \alpha) + vy(x, y, \beta). \quad (4.22)$$

გვრჩება დასაკმაყოფილებელი ერთი კინემატიკური პირობა:

$$u(-2, y) = 1 - y^2. \quad (4.23)$$

რაც კიდევ ერთ ცდომილების ფუნქციას მოგვვაჩს:

$$R4(y, \alpha) = u(-2, y, \alpha) - 1 + y^2. \quad (4.24)$$

გაშინ ცდომილების შეწონილ $I(\alpha, \beta, \gamma)$ ფუნქციას ექნება სახე:

$$\begin{aligned} I(\alpha, \beta, \gamma) &= \tau 1 \cdot \int_{-1}^1 \int_{-2}^2 [R1(x, y, \alpha, \beta, \gamma)]^2 dx dy + \\ &+ \tau 2 \cdot \int_{-1}^1 \int_{-2}^2 [R2(x, y, \alpha, \beta, \gamma)]^2 dx dy + \\ &+ \tau 3 \cdot \int_{-1}^1 \int_{-2}^2 [R3(x, y, \alpha, \beta)]^2 dx dy + \\ &+ \tau 4 \cdot \int_{-1}^1 [R4(y, \alpha)]^2 dy \rightarrow min, \end{aligned} \quad (4.25)$$

სადაც $\tau 1, \tau 2, \tau 3, \tau 4$ წონის კოეფიციენტებია. ჩვენ შემთხვევაში, მათი მნიშვნელობებია შესაბამისად: 0.1; 0.1; 0.1; 0.7. მათი ჯამი, რა თქმაუნდა, ერთის ტოლია.

გაშლის α, β, γ კოეფიციენტების საპოვნელად ვიყენებთ $L_2(G)$ ნორმით ინდუცირებულ მეტრიკას, რათა ეს კოეფიციენტები განისაზღვროს შესაბამის ცდომილების ფუნქციასა და 0-ს შორის მანძილის მინიმიზაციის პირობიდან.

შევადგინოთ პროგრამა **Mathcad**-ზე:

$$N := 2$$

$$\text{Re}_{\text{xxxx}} := 100$$

$$u(x, y, \alpha) := (1 - y^2) \cdot (x^2 + y^2 - 0.25) \cdot \left[\sum_{i=1}^N \sum_{j=0}^N [\alpha_{i,j} \cdot (x+2)^i \cdot y^j] + \sum_{j=0}^N (\alpha_{0,j} \cdot y^j) \right]$$

$$v(x, y, \beta) := (1 - y^2) \cdot (x^2 + y^2 - 0.25) \cdot \sum_{i=0}^N \sum_{j=0}^N [\beta_{i,j} \cdot (x+2)^i \cdot y^j]$$

$$p(x, y, \gamma) := \sum_{i=0}^N \sum_{j=0}^N (\gamma_{i,j} \cdot x^i \cdot y^j)$$

$$ux(x, y, \alpha) := 2 \cdot x \cdot (1 - y^2) \cdot \sum_{i=0}^N \sum_{j=0}^N [\alpha_{i,j} \cdot (x+2)^i \cdot y^j] + (1 - y^2) \cdot (x^2 + y^2 - 0.25) \cdot \sum_{i=1}^N \sum_{j=0}^N [i \cdot \alpha_{i,j} \cdot (x+2)^{i-1} \cdot y^j]$$

$$uxx(x,y,\alpha) := 2 \cdot (1 - y^2) \cdot \sum_{i=0}^N \sum_{j=0}^N \left[\alpha_{i,j} \cdot (x+2)^i \cdot y^j \right] + 4 \cdot x \cdot (1 - y^2) \cdot \sum_{i=1}^N \sum_{j=0}^N \left[\alpha_{i,j} \cdot i \cdot (x+2)^{i-1} \cdot y^j \right]$$

$$uxx(x,y,\alpha) := uxx(x,y,\alpha) + (1 - y^2) \cdot (x^2 + y^2 - 0.25) \cdot \sum_{i=2}^N \sum_{j=0}^N \left[i \cdot (i-1) \cdot (x+2)^{i-2} \cdot y^j \right]$$

$$uy(x,y,\alpha) := (-2 \cdot y \cdot x^2 - 4 \cdot y^3 + 2.5y) \cdot \sum_{i=0}^N \sum_{j=0}^N \left[\alpha_{i,j} \cdot (x+2)^i \cdot y^j \right]$$

$$uy(x,y,\alpha) := uy(x,y,\alpha) + (1 - y^2) \cdot (x^2 + y^2 - 0.25) \cdot \sum_{i=0}^N \sum_{j=1}^N \left[j \cdot \alpha_{i,j} \cdot (x+2)^i \cdot y^{j-1} \right]$$

$$uyy(x,y,\alpha) := (-2 \cdot x^2 - 12 \cdot y^2 + 2.5) \cdot \sum_{i=0}^N \sum_{j=0}^N \left[\alpha_{i,j} \cdot (x+2)^i \cdot y^j \right]$$

$$uyy(x,y,\alpha) := uyy(x,y,\alpha) + (-2 \cdot y \cdot x^2 - 4 \cdot y^3 + 2.5y) \cdot \sum_{i=0}^N \sum_{j=1}^N \left[j \cdot \alpha_{i,j} \cdot (x+2)^i \cdot y^{j-1} \right]$$

$$uyy(x,y,\alpha) := uyy(x,y,\alpha) + (1 - y^2) \cdot (x^2 + y^2 - 0.25) \cdot \sum_{i=0}^N \sum_{j=2}^N \left[j \cdot (j-1) \cdot (x+2)^i \cdot y^{j-2} \right]$$

$$vx(x,y,\beta) := 2 \cdot x \cdot (1 - y^2) \cdot \sum_{i=0}^N \sum_{j=0}^N \left[\beta_{i,j} \cdot (x+2)^i \cdot y^j \right] + (1 - y^2) \cdot (x^2 + y^2 - 0.25) \cdot \sum_{i=1}^N \sum_{j=0}^N \left[i \cdot \beta_{i,j} \cdot (x+2)^{i-1} \cdot y^j \right]$$

$$vxx(x,y,\beta) := 2 \cdot (1 - y^2) \cdot \sum_{i=0}^N \sum_{j=0}^N \left[\beta_{i,j} \cdot (x+2)^i \cdot y^j \right] + 4 \cdot x \cdot (1 - y^2) \cdot \sum_{i=1}^N \sum_{j=0}^N \left[i \cdot \beta_{i,j} \cdot (x+2)^{i-1} \cdot y^j \right]$$

$$vxx(x,y,\beta) := vxx(x,y,\beta) + (1 - y^2) \cdot (x^2 + y^2 - 0.25) \cdot \sum_{i=2}^N \sum_{j=0}^N \left[i \cdot (i-1) \cdot \beta_{i,j} \cdot (x+2)^{i-2} \cdot y^j \right]$$

$$vy(x,y,\beta) := (-2 \cdot y \cdot x^2 - 4 \cdot y^3 + 2.5y) \cdot \sum_{i=0}^N \sum_{j=0}^N \left[\beta_{i,j} \cdot (x+2)^i \cdot y^j \right] + (1 - y^2) \cdot (x^2 + y^2 - 0.25) \cdot \sum_{i=0}^N \sum_{j=1}^N \left[j \cdot \beta_{i,j} \cdot (x+2)^i \cdot y^{j-1} \right]$$

$$vy(x,y,\beta) := (-2 \cdot x^2 - 12 \cdot y^2 + 2.5) \cdot \sum_{i=0}^N \sum_{j=0}^N \left[\beta_{i,j} \cdot (x+2)^i \cdot y^j \right]$$

$$\text{vyy}(x, y, \beta) := \text{vyy}(x, y, \beta) + (-2 \cdot y \cdot x^2 - 4 \cdot y^3 + 2.5y) \cdot \sum_{i=0}^N \sum_{j=1}^N [j \cdot \beta_i, j \cdot (x+2)^i \cdot y^{j-1}]$$

$$\text{vyy}(x, y, \beta) := \text{vyy}(x, y, \beta) + (1 - y^2) \cdot (x^2 + y^2 - 0.25) \cdot \sum_{i=0}^N \sum_{j=2}^N [j \cdot (j-1) \cdot (x+2)^i \cdot y^{j-2}]$$

$$px(x, y, \gamma) := \sum_{i=1}^N \sum_{j=0}^N (i \cdot \gamma_i, j \cdot x^{i-1} \cdot y^j)$$

$$py(x, y, \gamma) := \sum_{i=0}^N \sum_{j=1}^N (j \cdot \gamma_i, j \cdot x^i \cdot y^{j-1})$$

$$R1(x, y, \alpha, \beta, \gamma) := u(x, y, \alpha) \cdot ux(x, y, \alpha) + v(x, y, \beta) \cdot uy(x, y, \alpha) + px(x, y, \gamma) - \frac{1}{Re} \cdot (ux(x, y, \alpha) + uy(x, y, \alpha))$$

$$R2(x, y, \alpha, \beta, \gamma) := u(x, y, \alpha) \cdot vx(x, y, \beta) + v(x, y, \beta) \cdot vy(x, y, \beta) + py(x, y, \gamma) - \frac{1}{Re} \cdot (vx(x, y, \alpha) + vy(x, y, \alpha))$$

$$R3(x, y, \alpha, \beta) := ux(x, y, \alpha) + vy(x, y, \beta)$$

$$R4(x, y, \alpha) := u(-2, y, \alpha) - 1 + y^2$$

$$\tau1 := 0.1 \quad \tau2 := 0.1 \quad \tau3 := 0.1 \quad \tau4 := 0.7$$

$$II(\alpha, \beta, \gamma) := \tau1 \cdot \int_{-1}^1 \int_{-2}^2 R1(x, y, \alpha, \beta, \gamma)^2 dx dy + \tau2 \cdot \int_{-1}^1 \int_{-2}^2 R2(x, y, \alpha, \beta, \gamma)^2 dx dy$$

$$I2(\alpha, \beta, \gamma) := \tau3 \cdot \int_{-1}^1 \int_{-2}^2 R3(x, y, \alpha, \beta)^2 dx dy + \tau4 \cdot \int_{-1}^1 \int_{-2}^2 R4(x, y, \alpha)^2 dx dy$$

$$I(\alpha, \beta, \gamma) := II(\alpha, \beta, \gamma) + I2(\alpha, \beta, \gamma)$$

$$i := 0..N$$

$$j := 0..N$$

$$\alpha_{i,j} := 0 \quad \beta_{i,j} := 0 \quad \gamma_{i,j} := 0$$

Given

$$S := \text{Minimize}(I, \alpha, \beta, \gamma)$$

$$S = \begin{bmatrix} 0.255 & -0.001 & -0.048 \\ 0.071 & 0 & 0.009 \\ -0.028 & 0.039 & -0.005 \end{bmatrix}$$

$$\begin{bmatrix} 0.005 & 0.058 & -0.002 \\ -0.009 & -0.009 & -0.011 \\ 0.021 & -0.001 & -0.017 \end{bmatrix}$$

$$\begin{bmatrix} -0 & 0.039 & -0.011 \\ 0.005 & 0.082 & -0.016 \\ -0.046 & 0.04 & 0.016 \end{bmatrix}$$

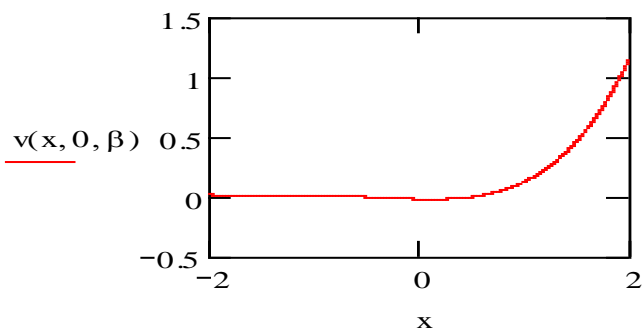
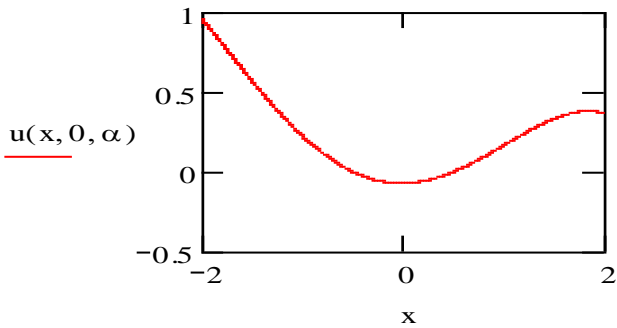
$$\alpha := S_0 \quad \beta := S_1 \quad \gamma := S_2$$

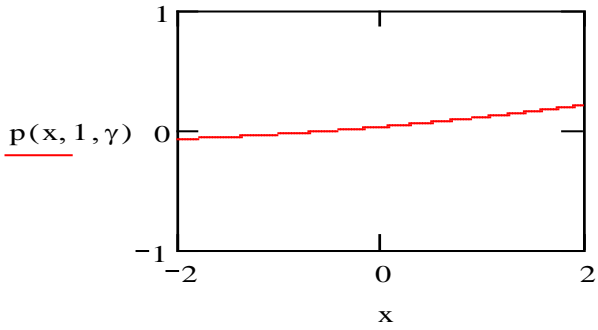
$$I(\alpha, \beta, \gamma) = 0.13$$

$$u(x, y, \alpha) := (1 - y^2) \cdot (x^2 + y^2 - 0.25) \cdot \left[\sum_{i=1}^N \sum_{j=0}^N [\alpha_{i,j} \cdot (x+2)^i \cdot y^j] + \sum_{j=0}^N [\alpha_{0,j} \cdot y^j] \right]$$

$$v_{\textcolor{brown}{m}}(x, y, \beta) := (1 - y^2) \cdot (x^2 + y^2 - 0.25) \cdot \sum_{i=0}^N \sum_{j=0}^N [\beta_{i,j} \cdot (x+2)^i \cdot y^j]$$

$$p_{\textcolor{brown}{m}}(x, y, \gamma) := \sum_{i=0}^N \sum_{j=0}^N [\gamma_{i,j} \cdot x^i \cdot y^j]$$





4.2. წრიული ცილინდრის, ბლანტი უკუმშავი სითხით სტაციონარული გარსდენის ამოცანის ამოხსნა RO-მეთოდით

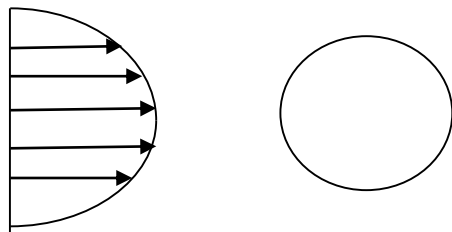
განვიხილოთ წრიული ცილინდრის ბლანტი, უკუმშავი სითხით სტაციონარული გარსდენის ამოცანა ნახ. 4.2. ამ შემთხვევაში, გვექნება ნავიე-სტოქსის განტოლებათა სისტემა (4.26)-(4.28), უკუმშვა-დობის (4.3) პირობასთან ერთად:

$$u \frac{\partial u}{\partial x} + v \frac{\partial u}{\partial y} = - \frac{\partial p}{\partial x} + \frac{1}{Re} \left(\frac{\partial^2 u}{\partial x^2} + \frac{\partial^2 u}{\partial y^2} \right), \quad (4.26)$$

$$u \frac{\partial v}{\partial x} + v \frac{\partial v}{\partial y} = - \frac{\partial p}{\partial y} + \frac{1}{Re} \left(\frac{\partial^2 v}{\partial x^2} + \frac{\partial^2 v}{\partial y^2} \right), \quad (4.27)$$

$$\frac{\partial u}{\partial x} + \frac{\partial v}{\partial y} = 0, \quad (4.28)$$

სადაც $u(x, y)$, $v(x, y)$ სიჩქარის გექტორის კომპონენტებია, p - წნევა, Re – რეინოლდსის უგანზომილებო რიცხვი.



ნახ. 4.2. წრიული ცილინდრის გარსდენის სქემა

სასაზღვრო პირობებს აქვს სახე:

$$u_{x^2+y^2=1} = v_{x^2+y^2=1} = 0. \quad (4.29)$$

Ճոնշա՞ծոյալը Յօրոծեցի այլ Շեմացո և այս:

$$u(-3, y, \alpha) = 1 - y^2, \quad (4.30)$$

$$v(-3, y, \beta) = 0. \quad (4.31)$$

$$p(-3, 0, \gamma) > p(3, 0, \gamma). \quad (4.32)$$

և Տաճախութեան Յօրոծեցի գառալու վոնց եղած Շյանամուսո *RO*-գունդցութ:

$$RO(x, y) = x^2 + y^2 - 1. \quad (4.33)$$

ամոցանա և մաթեմատիկա ածեցութա դյարձու մոմարտ. այլա գամոմանարյա զորից ամոնակենու Շյանամուսո և արմագանակ:

$$u(x, y, \alpha) = RO(x, y) \sum_{i=0}^N \sum_{j=0}^N \alpha_{ij} (x+3)^i y^{2j}, \quad (4.34)$$

$$v(x, y, \beta) = RO(x, y) \sum_{i=0}^N \sum_{j=0}^N \beta_{ij} (x+3)^i y^{2j}, \quad (4.35)$$

$$p(x, y, \gamma) = \sum_{i=0}^N \sum_{j=0}^N \gamma_{ij} x^i y^{2j}. \quad (4.36)$$

Իսկ ապա (4.34)-(4.36) Վյորմագանցեցի (4.26)-(4.28) գանցութեատա և օպերատու և Շյանամուսո գունդցութ ամոնակենու կարմագանցակ: Ամոնատութ չափանակ գամոցութա և արմագանցակ:

$$ux(x, y, \alpha) := 2 \cdot x \sum_{i=0}^N \sum_{j=0}^N \left[\alpha_{i,j} (x+3)^i y^{2j} \right] + (x^2 + y^2 - 1) \cdot \sum_{i=1}^N \sum_{j=0}^N \left[\alpha_{i,j} (x+3)^{i-1} y^{2j} \right] \quad (4.37)$$

$$uxx(x, y, \alpha) := 2 \cdot \sum_{i=0}^N \sum_{j=0}^N \left[\alpha_{i,j} (x+3)^i y^{2j} \right] + 2 \cdot x \sum_{i=1}^N \sum_{j=0}^N \left[\alpha_{i,j} (x+3)^{i-1} y^{2j} \right],$$

$$uxx(x, y, \alpha) := uxx(x, y, \alpha) + 2 \cdot x \sum_{i=1}^N \sum_{j=0}^N \left[\alpha_{i,j} (x+3)^{i-1} y^{2j} \right],$$

$$uxx(x, y, \alpha) := uxx(x, y, \alpha) + (x^2 + y^2 - 1) \cdot \sum_{i=2}^N \sum_{j=0}^N \left[\alpha_{i,j} (x+3)^{i-2} y^{2j} \right], \quad (4.38)$$

$$uy(x, y, \alpha) := 2 \cdot y \cdot \sum_{i=0}^N \sum_{j=0}^N \left[\alpha_{i,j} (x+3)^i y^{2j} \right] + (x^2 + y^2 - 1) \cdot \sum_{i=0}^N \sum_{j=1}^N \left[\alpha_{i,j} (x+3)^i y^{2j-1} \right], \quad (4.39)$$

$$uyy(x, y, \alpha) := 2 \cdot \sum_{i=0}^N \sum_{j=0}^N \left[\alpha_{i,j} \cdot (x+3)^i \cdot y^{2 \cdot j} \right] + 2 \cdot y \cdot \sum_{i=0}^N \sum_{j=1}^N \left[\alpha_{i,j} \cdot (x+3)^i \cdot y^{2 \cdot j-1} \cdot 2 \cdot j \right],$$

$$\text{uyy}(x, y, \alpha) := uyy(x, y, \alpha) + 2 \cdot y \cdot \sum_{i=0}^N \sum_{j=1}^N \left[\alpha_{i,j} \cdot (x+3)^i \cdot y^{2 \cdot j-1} \cdot 2 \cdot j \right],$$

$$\text{uyy}(x, y, \alpha) := uyy(x, y, \alpha) + (x^2 + y^2 - 1) \cdot \sum_{i=0}^N \sum_{j=1}^N \left[\alpha_{i,j} \cdot (x+3)^i \cdot y^{2 \cdot j-2} \cdot 2 \cdot j \cdot (2 \cdot j - 1) \right], \quad (4.40)$$

$$vx(x, y, \beta) := 2 \cdot x \cdot \sum_{i=0}^N \sum_{j=0}^N \left[\beta_{i,j} \cdot [(x+3)^i \cdot y^{2 \cdot j}] \right] + (x^2 + y^2 - 1) \cdot \sum_{i=1}^N \sum_{j=0}^N \left[\beta_{i,j} \cdot [(x+3)^{i-1} \cdot y^{2 \cdot j} \cdot i] \right], \quad (4.41)$$

$$vxx(x, y, \beta) := 2 \cdot \sum_{i=0}^N \sum_{j=0}^N \left[\beta_{i,j} \cdot [(x+3)^i \cdot y^{2 \cdot j}] \right] + 2 \cdot x \cdot \sum_{i=1}^N \sum_{j=0}^N \left[\beta_{i,j} \cdot [(x+3)^{i-1} \cdot y^{2 \cdot j} \cdot i] \right],$$

$$\text{vxx}(x, y, \beta) := vxx(x, y, \beta) + 2 \cdot x \cdot \sum_{i=1}^N \sum_{j=0}^N \left[\beta_{i,j} \cdot [(x+3)^{i-1} \cdot y^{2 \cdot j} \cdot i] \right],$$

$$\text{vxx}(x, y, \beta) := vxx(x, y, \beta) + (x^2 + y^2 - 1) \cdot \sum_{i=2}^N \sum_{j=0}^N \left[\beta_{i,j} \cdot [(x+3)^{i-2} \cdot y^{2 \cdot j} \cdot i \cdot (i-1)] \right], \quad (4.42)$$

$$vy(x, y, \beta) := 2 \cdot y \cdot \sum_{i=0}^N \sum_{j=0}^N \left[\beta_{i,j} \cdot [(x+3)^i \cdot y^{2 \cdot j}] \right] + (x^2 + y^2 - 1) \cdot \sum_{i=0}^N \sum_{j=1}^N \left[\beta_{i,j} \cdot [(x+3)^i \cdot y^{2 \cdot j-1} \cdot 2 \cdot j] \right],$$

(4.43)

$$vyy(x, y, \beta) := 2 \cdot \sum_{i=0}^N \sum_{j=0}^N \left[\beta_{i,j} \cdot [(x+3)^i \cdot y^{2 \cdot j}] \right] + 2 \cdot y \cdot \sum_{i=0}^N \sum_{j=0}^N \left[\beta_{i,j} \cdot [(x+3)^i \cdot y^{2 \cdot j}] \right],$$

$$\text{vyy}(x, y, \beta) := vyy(x, y, \beta) + 2 \cdot y \cdot \sum_{i=0}^N \sum_{j=1}^N \left[\beta_{i,j} \cdot [(x+3)^i \cdot y^{2 \cdot j-1} \cdot 2 \cdot j] \right],$$

$$\text{vyy}(x, y, \beta) := vyy(x, y, \beta) + (x^2 + y^2 - 1) \cdot \sum_{i=0}^N \sum_{j=1}^N \left[\beta_{i,j} \cdot [(x+3)^i \cdot y^{2 \cdot j-2} \cdot 2 \cdot j \cdot (2 \cdot j - 1)] \right], \quad (4.44)$$

$$px(x, y, \gamma) := \sum_{i=1}^N \sum_{j=0}^N \left(\gamma_{i,j} \cdot x^{i-1} \cdot y^{2 \cdot j} \cdot i \right), \quad (4.45)$$

$$py(x, y, \gamma) := \sum_{i=0}^N \sum_{j=1}^N \left(\gamma_{i,j} x^i y^{2j-1} \cdot 2^j \right). \quad (4.46)$$

გამო,

$$\begin{aligned} R1(x, y, \alpha, \beta, \gamma) &= u(x, y, \alpha)ux(x, y, \alpha) + v(x, y, \beta)uy(x, y, \alpha) + px(x, y, \gamma) - \\ &- \frac{1}{Re}(uxx(x, y, \alpha) + uyy(x, y, \alpha)), \end{aligned} \quad (4.47)$$

$$\begin{aligned} R2(x, y, \alpha, \beta, \gamma) &= u(x, y, \alpha)vx(x, y, \beta) + v(x, y, \beta)vy(x, y, \beta) + py(x, y, \gamma) - \\ &- \frac{1}{Re}(vxx(x, y, \beta) + vyy(x, y, \beta)), \end{aligned} \quad (4.48)$$

$$R3(x, y, \alpha, \beta) = ux(x, y, \alpha) + vy(x, y, \beta). \quad (4.49)$$

(4.30) და (4.31) კინემატიკური პირობები ავტომატურადაა დაკმაყოფილებული (4.34),(4.35) წარმოდგენებაში:

გვრჩება მხოლოდ ერთი კინემატიკური პირობა (4.32):

$$p(-3,0,\gamma) > p(3,0,\gamma). \quad (4.50)$$

მაშინ ცდომილების შეწონილ $I(\alpha, \beta, \gamma)$ ფუნქციას ექნება სახე:

$$\begin{aligned} I(\alpha, \beta, \gamma) &= \tau 1 \cdot \int_{-3}^3 \int_{-3}^3 [R1(x, y, \alpha, \beta, \gamma)]^2 dx dy + \\ &+ \tau 2 \cdot \int_{-3}^3 \int_{-3}^3 [R2(x, y, \alpha, \beta, \gamma)]^2 dx dy + \\ &+ \tau 3 \cdot \int_{-3}^3 \int_{-3}^3 [R3(x, y, \alpha, \beta)]^2 dx dy \rightarrow min, \end{aligned} \quad (4.51)$$

სადაც $\tau 1, \tau 2, \tau 3$ წონის კოეფიციენტებია. ჩვენს შემთხვევაში, მათი მნიშვნელობებია: 0.3; 0.3; 0.4. მათი ჯამი, რა თქმა უნდა, ერთის ტოლია.

გაშლის α, β, γ კოეფიციენტების საპოვნელად ვიყენებთ $L_2(G)$ ნორმით ინდუცირებულ მეტრიკას, რათა ეს კოეფიციენტები განისაზღვროს შესაბამის ცდომილების ფუნქციასა და 0-ს შორის მანძილის მინიმიზაციის პირობიდან.

შევადგინოთ პროგრამა **Mathcad**-ზე:

$$\text{Re} := 10 \quad N := 3$$

$$u(x, y, \alpha) := (x^2 + y^2 - 1) \cdot \sum_{i=0}^N \sum_{j=0}^N \left[\alpha_{i,j} \cdot (x+3)^i \cdot y^{2-j} \right]$$

$$v(x, y, \beta) := (x^2 + y^2 - 1) \cdot \sum_{i=0}^N \sum_{j=0}^N \left[\beta_{i,j} \cdot [(x+3)^i \cdot y^{2-j}] \right]$$

$$p(x, y, \gamma) := \sum_{i=0}^N \sum_{j=0}^N \left(\gamma_{i,j} \cdot x^i \cdot y^{2-j} \right)$$

$$ux(x, y, \alpha) := 2 \cdot x \sum_{i=0}^N \sum_{j=0}^N \left[\alpha_{i,j} \cdot (x+3)^i \cdot y^{2-j} \right] + (x^2 + y^2 - 1) \cdot \sum_{i=1}^N \sum_{j=0}^N \left[\alpha_{i,j} \cdot (x+3)^{i-1} \cdot y^{2-j} \cdot i \right]$$

$$uxx(x, y, \alpha) := 2 \sum_{i=0}^N \sum_{j=0}^N \left[\alpha_{i,j} \cdot (x+3)^i \cdot y^{2-j} \right] + 2 \cdot x \sum_{i=1}^N \sum_{j=0}^N \left[\alpha_{i,j} \cdot (x+3)^{i-1} \cdot y^{2-j} \cdot i \right]$$

$$uxx(x, y, \alpha) := uxx(x, y, \alpha) + (x^2 + y^2 - 1) \cdot \sum_{i=2}^N \sum_{j=0}^N \left[\alpha_{i,j} \cdot (x+3)^{i-2} \cdot y^{2-j} \cdot i \cdot (i-1) \right]$$

$$uxx(x, y, \alpha) := uxx(x, y, \alpha) + (x^2 + y^2 - 1) \cdot \sum_{i=2}^N \sum_{j=0}^N \left[\alpha_{i,j} \cdot (x+3)^{i-2} \cdot y^{2-j} \cdot i \cdot (i-1) \right]$$

$$uy(x, y, \alpha) := 2 \cdot y \cdot \sum_{i=0}^N \sum_{j=0}^N \left[\alpha_{i,j} \cdot (x+3)^i \cdot y^{2-j} \right] + (x^2 + y^2 - 1) \cdot \sum_{i=0}^N \sum_{j=1}^N \left[\alpha_{i,j} \cdot (x+3)^i \cdot y^{2-j-1} \cdot 2 \cdot j \right]$$

$$uyy(x, y, \alpha) := 2 \cdot \sum_{i=0}^N \sum_{j=0}^N \left[\alpha_{i,j} \cdot (x+3)^i \cdot y^{2-j} \right] + 2 \cdot y \cdot \sum_{i=0}^N \sum_{j=1}^N \left[\alpha_{i,j} \cdot (x+3)^i \cdot y^{2-j-1} \cdot 2 \cdot j \right]$$

$$uyy(x, y, \alpha) := uyy(x, y, \alpha) + 2 \cdot y \cdot \sum_{i=0}^N \sum_{j=1}^N \left[\alpha_{i,j} \cdot (x+3)^i \cdot y^{2-j-1} \cdot 2 \cdot j \right]$$

$$uyy(x, y, \alpha) := uyy(x, y, \alpha) + (x^2 + y^2 - 1) \cdot \sum_{i=0}^N \sum_{j=1}^N \left[\alpha_{i,j} \cdot (x+3)^i \cdot y^{2-j-2} \cdot 2 \cdot j \cdot (2 \cdot j - 1) \right]$$

$$vx(x, y, \beta) := 2 \cdot x \sum_{i=0}^N \sum_{j=0}^N \left[\beta_{i,j} \cdot [(x+3)^i \cdot y^{2-j}] \right] + (x^2 + y^2 - 1) \cdot \sum_{i=1}^N \sum_{j=0}^N \left[\beta_{i,j} \cdot [(x+3)^{i-1} \cdot y^{2-j} \cdot i] \right]$$

$$vxx(x, y, \beta) := 2 \cdot \sum_{i=0}^N \sum_{j=0}^N \left[\beta_{i,j} \left[(x+3)^i \cdot y^{2 \cdot j} \right] \right] + 2 \cdot x \cdot \sum_{i=1}^N \sum_{j=0}^N \left[\beta_{i,j} \left[(x+3)^{i-1} \cdot y^{2 \cdot j \cdot i} \right] \right]$$

$$\textcolor{red}{vxx}(x, y, \beta) := vxx(x, y, \beta) + 2 \cdot x \cdot \sum_{i=1}^N \sum_{j=0}^N \left[\beta_{i,j} \left[(x+3)^{i-1} \cdot y^{2 \cdot j} \right] \right]$$

$$\textcolor{red}{vxx}(x, y, \beta) := vxx(x, y, \beta) + (x^2 + y^2 - 1) \cdot \sum_{i=2}^N \sum_{j=0}^N \left[\beta_{i,j} \left[(x+3)^{i-2} \cdot y^{2 \cdot j \cdot i \cdot (i-1)} \right] \right]$$

$$vy(x, y, \beta) := 2 \cdot y \cdot \sum_{i=0}^N \sum_{j=0}^N \left[\beta_{i,j} \left[(x+3)^i \cdot y^{2 \cdot j} \right] \right] + (x^2 + y^2 - 1) \cdot \sum_{i=0}^N \sum_{j=1}^N \left[\beta_{i,j} \left[(x+3)^i \cdot y^{2 \cdot j-1} \cdot 2 \cdot j \right] \right]$$

$$vyy(x, y, \beta) := 2 \cdot \sum_{i=0}^N \sum_{j=0}^N \left[\beta_{i,j} \left[(x+3)^i \cdot y^{2 \cdot j} \right] \right] + 2 \cdot y \cdot \sum_{i=0}^N \sum_{j=0}^N \left[\beta_{i,j} \left[(x+3)^i \cdot y^{2 \cdot j} \right] \right]$$

$$\textcolor{red}{vyy}(x, y, \beta) := vyy(x, y, \beta) + 2 \cdot y \cdot \sum_{i=0}^N \sum_{j=1}^N \left[\beta_{i,j} \left[(x+3)^i \cdot y^{2 \cdot j-1} \cdot 2 \cdot j \right] \right]$$

$$\textcolor{red}{vyy}(x, y, \beta) := vyy(x, y, \beta) + (x^2 + y^2 - 1) \cdot \sum_{i=0}^N \sum_{j=1}^N \left[\beta_{i,j} \left[(x+3)^i \cdot y^{2 \cdot j-2} \cdot 2 \cdot j \cdot (2 \cdot j - 1) \right] \right]$$

$$px(x, y, \gamma) := \sum_{i=1}^N \sum_{j=0}^N \left(\gamma_{i,j} \cdot x^{i-1} \cdot y^{2 \cdot j \cdot i} \right)$$

$$py(x, y, \gamma) := \sum_{i=0}^N \sum_{j=1}^N \left(\gamma_{i,j} \cdot x^i \cdot y^{2 \cdot j-1} \cdot 2 \cdot j \right)$$

$$R1(x, y, \alpha, \beta, \gamma) := u(x, y, \alpha) \cdot ux(x, y, \alpha) + v(x, y, \beta) \cdot uy(x, y, \alpha) + px(x, y, \gamma) - \frac{1}{Re} \cdot (ux(x, y, \alpha) + uy(x, y, \alpha))$$

$$R2(x, y, \alpha, \beta, \gamma) := u(x, y, \alpha) \cdot vx(x, y, \beta) + v(x, y, \beta) \cdot vy(x, y, \beta) + py(x, y, \gamma) - \frac{1}{Re} \cdot (vxx(x, y, \alpha) + vyy(x, y, \alpha))$$

$$R3(x, y, \alpha, \beta) := ux(x, y, \alpha) + vy(x, y, \beta)$$

$$R4(y, \alpha) := u(-3, y, \alpha) - (1 - y^2)$$

$$\tau1 := 0.2 \quad \tau2 := 0.2 \quad \tau3 := 0.6$$

$$I_1(\alpha, \beta, \gamma) := \tau_1 \cdot \int_{-3}^3 \int_{-3}^3 R1(x, y, \alpha, \beta, \gamma)^2 dx dy + \tau_2 \cdot \int_{-3}^3 \int_{-3}^3 R2(x, y, \alpha, \beta, \gamma)^2 dx dy$$

$$I_2(\alpha, \beta) := \tau_3 \cdot \left(\int_{-3}^3 \int_{-3}^3 R3(x, y, \alpha, \beta)^2 dx dy + \int_{-3}^3 R4(y, \alpha)^2 dy \right)$$

$$I(\alpha, \beta, \gamma) := I_1(\alpha, \beta, \gamma) + I_2(\alpha, \beta)$$

i := 0..N j := 0..N

$\alpha_{i,j} := 0$ $\beta_{i,j} := 0$ $\gamma_{i,j} := 0$

Given

$$p(-3, 0, \gamma) > p(3, 0, \gamma)$$

$$p(-3, 1, \gamma) > p(3, 1, \gamma)$$

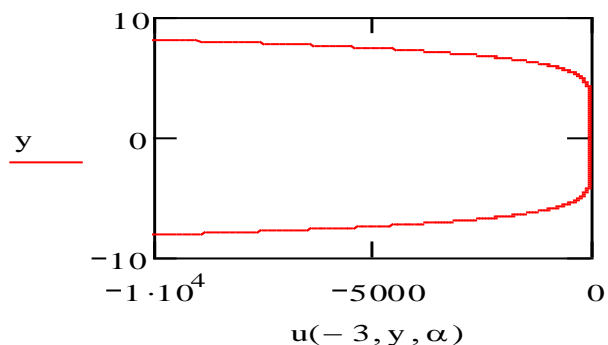
$$S := \text{Minimize}(I, \alpha, \beta, \gamma)$$

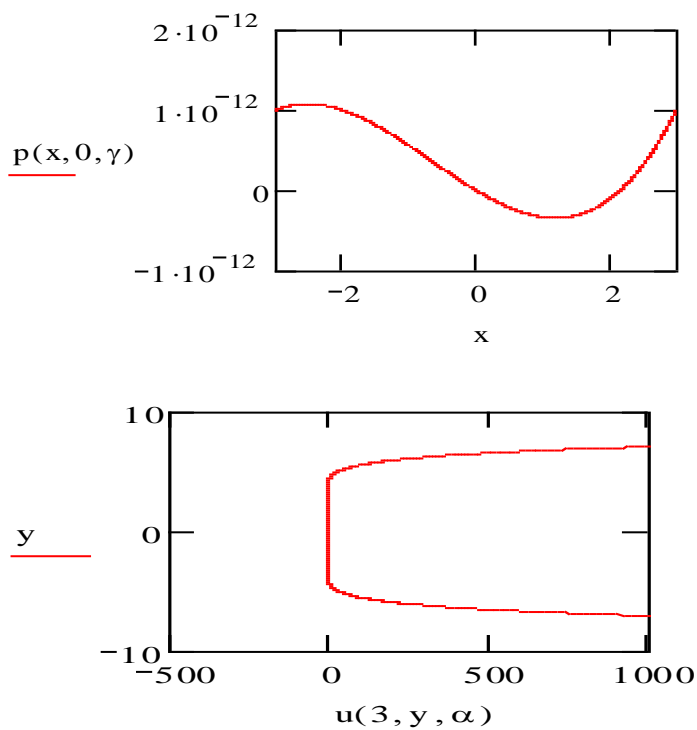
$$\alpha := S_0 \quad \beta := S_1 \quad \gamma := S_2$$

$$u(x, y, \alpha) := (x^2 + y^2 - 1) \cdot \sum_{i=0}^N \sum_{j=0}^N [\alpha_{i,j} (x+3)^i \cdot y^{2-j}]$$

$$v(x, y, \beta) := (x^2 + y^2 - 1) \cdot \sum_{i=0}^N \sum_{j=0}^N [\beta_{i,j} (x+3)^i \cdot y^{2-j}]$$

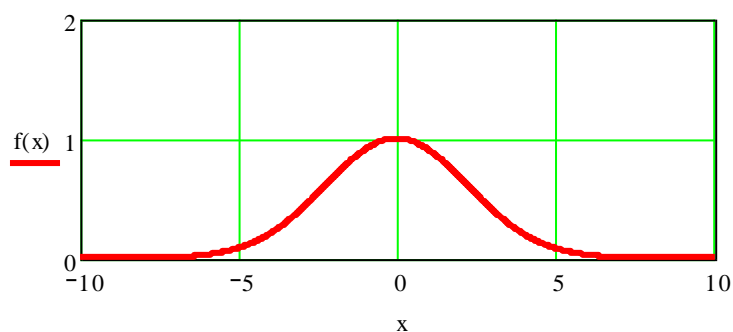
$$p(x, y, \gamma) := \sum_{i=0}^N \sum_{j=0}^N (\gamma_{i,j} x^i \cdot y^{2-j})$$





4.3. წყალქვეშა ბორცვის სტაციონარული გარსდენა ბლანტი, უკუმშავი სითხით

განვიხილოთ, წყალქვეშა ბორცვის გარსდენის ამოცანა ბლანტი, უკუმშავი სითხით. ბორცვის მოდელირებისათვის განვიხილოთ $f(x) = e^{-x^2}$ ფუნქციის გრაფიკი ნახ. 4.3.



ნახ. 4.3. წყალქვეშა ბორცვის გარსდენის სქემა

ბლანტი, უკუმშავი სითხის სტაციონარული ნაკადი აღიწერება ნავიუ-სტრექსის განტოლებათა სისტემითა და უკუმშვადობის პირობით:

$$u \frac{\partial u}{\partial x} + v \frac{\partial u}{\partial y} = - \frac{\partial p}{\partial x} + \frac{1}{Re} \left(\frac{\partial^2 u}{\partial x^2} + \frac{\partial^2 u}{\partial y^2} \right), \quad (4.52)$$

$$u \frac{\partial v}{\partial x} + v \frac{\partial v}{\partial y} = - \frac{\partial p}{\partial y} + \frac{1}{Re} \left(\frac{\partial^2 v}{\partial x^2} + \frac{\partial^2 v}{\partial y^2} \right), \quad (4.53)$$

$$\frac{\partial u}{\partial x} + \frac{\partial v}{\partial y} = 0. \quad (4.54)$$

სადაც $u(x, y)$, $v(x, y)$ სიჩქარის გექტორის კომპონენტებია, p – წნევა, Re – რეინოლდსის რიცხვი.

სასაზღვრო პირობები:

$$u_{f(x)=e^{-0.1x^2}} = v_{f(x)=e^{-0.1x^2}} = 0. \quad (4.55)$$

კინემატიკური პირობები:

$$u(-10, y, \alpha) = 1, \quad v(-10, y, \beta) = 0, \quad (4.56)$$

$$p(-10, 1, \gamma) > p(10, 1, \gamma). \quad (4.57)$$

RO ფუნქციას ძებს სახე:

$$RO(x, y) = y - e^{-0.1x^2}. \quad (4.58)$$

ამონახსნს ვეძებო შემდეგი სახით:

$$u(x, y, \alpha) = RO(x, y) \sum_{i=0}^N \sum_{j=0}^N \alpha_{ij} (x + 10)^i y^j, \quad (4.59)$$

$$v(x, y, \beta) = RO(x, y) \sum_{i=0}^N \sum_{j=0}^N \beta_{ij} (x + 10)^i y^j, \quad (4.60)$$

$$p(x, y, \gamma) = \sum_{i=0}^N \sum_{j=0}^N \gamma_{ij} x^i y^j. \quad (4.61)$$

ამ წარმოდგენაში ავტომატურადაა გათვალისწინებული (4.55) სასაზღვრო პირობები. დასაკმაყოფილებელია (4.52)-(4.54) განტოლებები და (4.56)-(4.57) კინემატიკური პირობები.

ჩავსვათ (4.59)-(4.61) წარმოდგენა (4.52)-(4.54) განტოლებებში და შევადგინოთ შესაბამისი ცდომილების ფუნქციები. ასევე, შევადგინოთ

ცდომილებები (4.56)-(4.57) კინემატიკური პირობებიდან გამომდინარე ამისათვის ჯერ უნდა გამოვითვალოთ საჭირო წარმოებულები:

$$ux(x, y, \alpha) = 0.2xe^{-0.1x^2} \sum_{i=0}^N \sum_{j=0}^N \alpha_{ij} (x+10)^i y^j,$$

$$ux(x, y, \alpha) = ux(x, y, \alpha) + (y - e^{-0.1x^2}) \sum_{i=1}^N \sum_{j=0}^N i\alpha_{ij} (x+10)^{i-1} y^j.$$

$$uxx(x, y, \alpha) = (0.2e^{-0.1x^2} - 0.04x^2 e^{-0.1x^2}) \sum_{i=0}^N \sum_{j=0}^N \alpha_{ij} (x+10)^i y^j,$$

$$uxx(x, y, \alpha) = uxx(x, y, \alpha) + 0.4xe^{-0.1x^2} \sum_{i=1}^N \sum_{j=0}^N i\alpha_{ij} (x+10)^{i-1} y^j,$$

$$uxx(x, y, \alpha) = uxx(x, y, \alpha) + (y - e^{-0.1x^2}) \sum_{i=2}^N \sum_{j=0}^N i(i-1)\alpha_{ij} (x+10)^{i-2} y^j$$

$$uy(x, y, \alpha) = \sum_{i=0}^N \sum_{j=0}^N \alpha_{ij} (x+10)^i y^j,$$

$$uy(x, y, \alpha) = uy(x, y, \alpha) + (y - e^{-0.1x^2}) \sum_{i=0}^N \sum_{j=1}^N \alpha_{ij} (x+10)^i y^{j-1}.$$

$$uyy(x, y, \alpha) = 2 \sum_{i=0}^N \sum_{j=1}^N j\alpha_{ij} (x+10)^i y^{j-1},$$

$$uyy(x, y, \alpha) = uyy(x, y, \alpha) + (y - e^{-0.1x^2}) \sum_{i=0}^N \sum_{j=2}^N \alpha_{ij} (x+10)^i y^{j-2}.$$

$$vx(x, y, \beta) = 0.2xe^{-0.1x^2} \sum_{i=0}^N \sum_{j=0}^N \beta_{ij} (x+10)^i y^j,$$

$$vx(x, y, \beta) = vx(x, y, \beta) + (y - e^{-0.1x^2}) \sum_{i=1}^N \sum_{j=0}^N i\beta_{ij} (x+10)^{i-1} y^j.$$

$$vxx(x, y, \beta) = (0.2e^{-0.1x^2} - 0.04x^2 e^{-0.1x^2}) \sum_{i=0}^N \sum_{j=0}^N \beta_{ij} (x+10)^i y^j,$$

$$vxx(x, y, \beta) = vxx(x, y, \beta) + 0.4xe^{-0.1x^2} \sum_{i=1}^N \sum_{j=0}^N i\beta_{ij} (x+10)^{i-1} y^j,$$

$$vxx(x, y, \beta) = vxx(x, y, \beta) + (y - e^{-0.1x^2}) \sum_{i=2}^N \sum_{j=0}^N i(i-1)\beta_{ij}(x+10)^{i-2}y^j$$

$$vy(x, y, \beta) = \sum_{i=0}^N \sum_{j=0}^N \beta_{ij}(x+10)^i y^j,$$

$$vy(x, y, \beta) = vy(x, y, \beta) + (y - e^{-0.1x^2}) \sum_{i=0}^N \sum_{j=1}^N j\beta_{ij}(x+10)^i y^{j-1}.$$

$$vyy(x, y, \beta) = 2 \sum_{i=0}^N \sum_{j=1}^N j\beta_{ij}(x+10)^i y^{j-1},$$

$$vyy(x, y, \beta) = vyy(x, y, \beta) + (y - e^{-0.1x^2}) \sum_{i=0}^N \sum_{j=2}^N j(j-1)\beta_{ij}(x+10)^i y^{j-2}$$

$$px(x, y, \gamma) = \sum_{i=1}^N \sum_{j=0}^N i\gamma_{ij}x^{i-1}y^j.$$

$$py(x, y, \gamma) = \sum_{i=0}^N \sum_{j=1}^N j\gamma_{ij}x^i y^{j-1}.$$

გაშინ თითოეული განტოლებიდან გვექნება შესაბამისი ცდომილება:

$$\begin{aligned} R1(x, y, \alpha, \beta, \gamma) &= u(x, y, \alpha)ux(x, y, \alpha) + v(x, y, \beta)uy(x, y, \alpha) + px(x, y, \gamma) - \\ &\quad - \frac{1}{Re}(uxx(x, y, \alpha) + uyy(x, y, \alpha)), \end{aligned} \quad (4.62)$$

$$\begin{aligned} R2(x, y, \alpha, \beta, \gamma) &= u(x, y, \alpha)vx(x, y, \beta) + v(x, y, \beta)vy(x, y, \beta) + py(x, y, \gamma) - \\ &\quad - \frac{1}{Re}(vxx(x, y, \beta) + vyy(x, y, \beta)), \end{aligned} \quad (4.63)$$

$$R3(x, y, \alpha, \beta) = ux(x, y, \alpha) + vy(x, y, \beta). \quad (4.64)$$

(4.55) კინებატიკური $u(-10, y, \alpha) = 1$, $v(-10, y, \beta) = 0$ პირობების დასაკმაყოფილებლად გვექნება ცდომილების ფუნქციები:

$$R4(y, \alpha) = u(-10, y, \alpha) - 1 \text{ და } R5(y, \beta) = v(-10, y, \beta).$$

$$I(\alpha, \beta, \gamma) = \tau_1 \cdot \int_0^{10} \int_{-10}^{10} [R1(x, y, \alpha, \beta, \gamma)]^2 dx dy +$$

$$\begin{aligned}
& + \tau 2 \cdot \int_0^{10} \int_{-10}^{10} [R2(x, y, \alpha, \beta, \gamma)]^2 dx dy + \\
& + \tau 3 \cdot \int_0^{10} \int_{-10}^{10} [R3(x, y, \alpha, \beta)]^2 dx dy + \tau 4 \cdot \int_0^{10} R4(y, \alpha)^2 dy + \\
& + \tau 5 \cdot \int_0^{10} R5(y, \beta)^2 dy \rightarrow min.
\end{aligned} \tag{4.65}$$

სადაც $\tau 1, \tau 2, \tau 3, \tau 4, \tau 5$ წონის კოეფიციენტებია. ჩვენ შემთხვევაში, მათი მნიშვნელობებია $0.2; 0.2; 0.2; 0.2; 0.2$. მათი ჯამი, რა თქმა უნდა ერთის ტოლია.

გაშლის α, β, γ კოეფიციენტების საპოვნელად ვიყენებთ $L_2(G)$ ნორმით ინდუცირებულ მეტრიკას, რათა ეს კოეფიციენტები განისაზღვროს მანძილის მინიმიზაციის პირობიდან, შესაბამის ცდომილების ფუნქციასა და 0-ს შორის.

შევადგინოთ პროგრამა **Mathcad**-ზე:

$$N := 3 \quad Re := 100$$

$$u(x, y, \alpha) := \left(y - e^{-0.1 \cdot x^2} \right) \cdot \sum_{i=0}^N \sum_{j=0}^N \left[\alpha_{i,j} \cdot (x + 10)^i \cdot y^j \right]$$

$$v(x, y, \beta) := \left(y - e^{-0.1 \cdot x^2} \right) \cdot \sum_{i=0}^N \sum_{j=0}^N \left[\beta_{i,j} \cdot (x + 10)^i \cdot y^j \right]$$

$$p(x, y, \gamma) := \sum_{i=0}^N \sum_{j=0}^N \left(\gamma_{i,j} \cdot x^i \cdot y^j \right)$$

$$ux(x, y, \alpha) := 0.2x \cdot e^{-0.1 \cdot x^2} \cdot \sum_{i=0}^N \sum_{j=0}^N \left[\alpha_{i,j} \cdot (x + 10)^i \cdot y^j \right]$$

$$ux(x, y, \alpha) := ux(x, y, \alpha) + \left(y - e^{-0.1 \cdot x^2} \right) \cdot \sum_{i=1}^N \sum_{j=0}^N \left[\alpha_{i,j} \cdot (x + 10)^{i-1} \cdot y^j \cdot i \right]$$

$$ux(x, y, \alpha) := \left(0.2e^{-0.1 \cdot x^2} - 0.04x^2 \cdot e^{-0.1 \cdot x^2} \right) \cdot \sum_{i=0}^N \sum_{j=0}^N \left[\alpha_{i,j} \cdot (x + 10)^i \cdot y^j \right]$$

$$uxx(x, y, \alpha) := uxx(x, y, \alpha) + 0.4x e^{-0.1 \cdot x^2} \cdot \sum_{i=1}^N \sum_{j=0}^N \left[\alpha_{i,j} \cdot (x+10)^{i-1} \cdot y^j \cdot j! \right]$$

$$uxx(x, y, \alpha) := uxx(x, y, \alpha) + \left(y - e^{-0.1 \cdot x^2} \right) \cdot \sum_{i=2}^N \sum_{j=0}^N \left[\alpha_{i,j} \cdot (x+10)^{i-2} \cdot y^j \cdot i \cdot (i-2)! \right]$$

$$uy(x, y, \alpha) := \sum_{i=0}^N \sum_{j=0}^N \left[\alpha_{i,j} \cdot (x+10)^i \cdot y^j \right] + \left(y - e^{-0.1 \cdot x^2} \right) \cdot \sum_{i=0}^N \sum_{j=1}^N \left[\alpha_{i,j} \cdot (x+10)^i \cdot y^{j-1} \cdot j \right]$$

$$uyy(x, y, \alpha) := 2 \cdot \left[\sum_{i=0}^N \sum_{j=1}^N \left[\alpha_{i,j} \cdot (x+10)^i \cdot y^{j-1} \cdot j \right] \right]$$

$$uyy(x, y, \alpha) := uyy(x, y, \alpha) + \left(y - e^{-0.1 \cdot x^2} \right) \cdot \sum_{i=0}^N \sum_{j=2}^N \left[\alpha_{i,j} \cdot (x+10)^i \cdot y^{j-2} \cdot j \cdot (j-2)! \right]$$

$$vx(x, y, \beta) := 0.2x e^{-0.1 \cdot x^2} \cdot \sum_{i=0}^N \sum_{j=0}^N \left[\beta_{i,j} \cdot (x+10)^i \cdot y^j \right]$$

$$vx(x, y, \beta) := vx(x, y, \beta) + \left(y - e^{-0.1 \cdot x^2} \right) \cdot \sum_{i=1}^N \sum_{j=0}^N \left[\beta_{i,j} \cdot (x+10)^{i-1} \cdot y^j \cdot i \right]$$

$$vxx(x, y, \beta) := \left(0.2e^{-0.1 \cdot x^2} - 0.04x^2 \cdot e^{-0.1 \cdot x^2} \right) \cdot \sum_{i=0}^N \sum_{j=0}^N \left[\beta_{i,j} \cdot (x+10)^i \cdot y^j \right]$$

$$vxx(x, y, \beta) := vxx(x, y, \beta) + 0.4x e^{-0.1 \cdot x^2} \cdot \sum_{i=1}^N \sum_{j=0}^N \left[\beta_{i,j} \cdot (x+10)^{i-1} \cdot y^j \cdot i \right]$$

$$vxx(x, y, \beta) := vxx(x, y, \beta) + \left(y - e^{-0.1 \cdot x^2} \right) \cdot \sum_{i=0}^N \sum_{j=2}^N \left[\beta_{i,j} \cdot (x+10)^i \cdot y^{j-2} \cdot j \cdot (j-2)! \right]$$

$$vy(x, y, \beta) := \sum_{i=0}^N \sum_{j=0}^N \left[\beta_{i,j} \cdot (x+10)^i \cdot y^j \right] + \left(y - e^{-0.1 \cdot x^2} \right) \cdot \sum_{i=0}^N \sum_{j=1}^N \left[\beta_{i,j} \cdot (x+10)^i \cdot y^{j-1} \cdot j \right]$$

$$vy(x, y, \beta) := 2 \cdot \left[\sum_{i=0}^N \sum_{j=1}^N \left[\beta_{i,j} \cdot (x+10)^i \cdot y^{j-1} \cdot j \right] \right]$$

$$\text{vyy}(x, y, \beta) := \text{vyy}(x, y, \beta) + \left(y - e^{-0.1 \cdot x^2} \right) \cdot \sum_{i=0}^N \sum_{j=2}^N \left[\beta_{i,j} \cdot (x+10)^i \cdot y^{j-2} \cdot j \cdot (j-2) \right]$$

$$px(x, y, \gamma) := \sum_{i=1}^N \sum_{j=0}^N \left(\gamma_{i,j} \cdot x^{i-1} \cdot y^{j-i} \right)$$

$$py(x, y, \gamma) := \sum_{i=0}^N \sum_{j=1}^N \left(\gamma_{i,j} \cdot x^i \cdot y^{j-1} \cdot j \right)$$

$$R1(x, y, \alpha, \beta, \gamma) := u(x, y, \alpha) \cdot ux(x, y, \alpha) + v(x, y, \beta) \cdot uy(x, y, \alpha) + px(x, y, \gamma) - \frac{1}{Re} \cdot (ux(x, y, \alpha) + uy(x, y, \alpha))$$

$$R2(x, y, \alpha, \beta, \gamma) := u(x, y, \alpha) \cdot vx(x, y, \beta) + v(x, y, \beta) \cdot vy(x, y, \beta) + py(x, y, \gamma) - \frac{1}{Re} \cdot (vx(x, y, \beta) + vy(x, y, \beta))$$

$$R3(x, y, \alpha, \beta) := ux(x, y, \alpha) + vy(x, y, \beta)$$

$$R4(y, \alpha) := u(-10, y, \alpha) - 1$$

$$R5(y, \beta) := v(-10, y, \beta)$$

$$\tau1 := 0.2 \quad \tau2 := 0.2 \quad \tau3 := 0.2 \quad \tau4 := 0.2 \quad \tau5 := 0.2$$

$$I1(\alpha, \beta, \gamma) := \tau1 \cdot \int_0^{10} \int_{-10}^{10} R1(x, y, \alpha, \beta, \gamma)^2 dx dy + \tau2 \cdot \int_0^{10} \int_{-10}^{10} R2(x, y, \alpha, \beta, \gamma)^2 dx dy$$

$$I2(\alpha, \beta) := \tau3 \cdot \int_0^{10} \int_{-10}^{10} R3(x, y, \alpha, \beta)^2 dx dy + \tau4 \cdot \int_0^{10} R4(y, \alpha)^2 dy + \tau5 \cdot \int_0^{10} R5(y, \alpha)^2 dy$$

$$I(\alpha, \beta, \gamma) := I1(\alpha, \beta, \gamma) + I2(\alpha, \beta)$$

$$i := 0..N \quad j := 0..N$$

$$\alpha_{i,j} := 1 \quad \beta_{i,j} := 0 \quad \gamma_{i,j} := 0.1$$

Given

$$p(-10, 1, \gamma) > p(10, 1, \gamma)$$

$$S := \text{Minimize}(I, \alpha, \beta, \gamma)$$

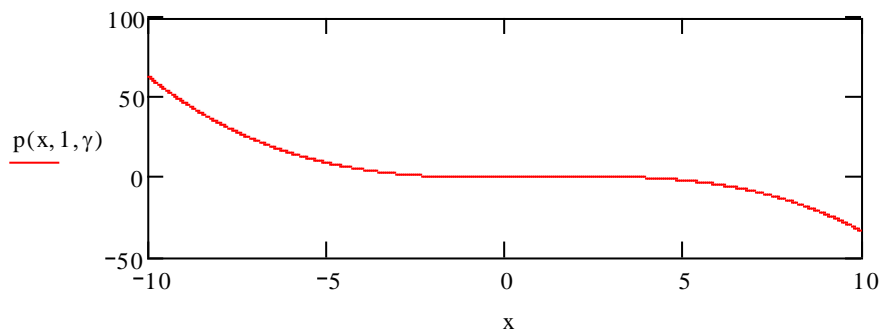
$$S = \begin{bmatrix} & \begin{pmatrix} 0.25 & 0.5 & 0.25 & 0.5 \\ 0.25 & 0.5 & 0.25 & 0.498 \\ 0.25 & 0.5 & 0.249 & 0.468 \\ 0.25 & 0.495 & 0.237 & -0.056 \end{pmatrix} \\ & \begin{pmatrix} -7.99 \times 10^{-7} & -9.292 \times 10^{-6} & -1.028 \times 10^{-4} & -1.105 \times 10^{-3} \\ -6.826 \times 10^{-6} & -9.444 \times 10^{-5} & -1.148 \times 10^{-3} & -0.013 \\ -1.738 \times 10^{-5} & -6.821 \times 10^{-4} & -0.011 & -0.14 \\ 1.21 \times 10^{-3} & 2.44 \times 10^{-3} & -0.05 & 0.012 \end{pmatrix} \\ & \begin{pmatrix} 0.025 & 0.05 & 0.025 & 0.05 \\ 0.025 & 0.049 & 0.025 & 0.049 \\ 0.025 & 0.05 & 0.025 & 0.05 \\ 5 \times 10^{-3} & -0.03 & 5 \times 10^{-3} & -0.03 \end{pmatrix} \end{bmatrix}$$

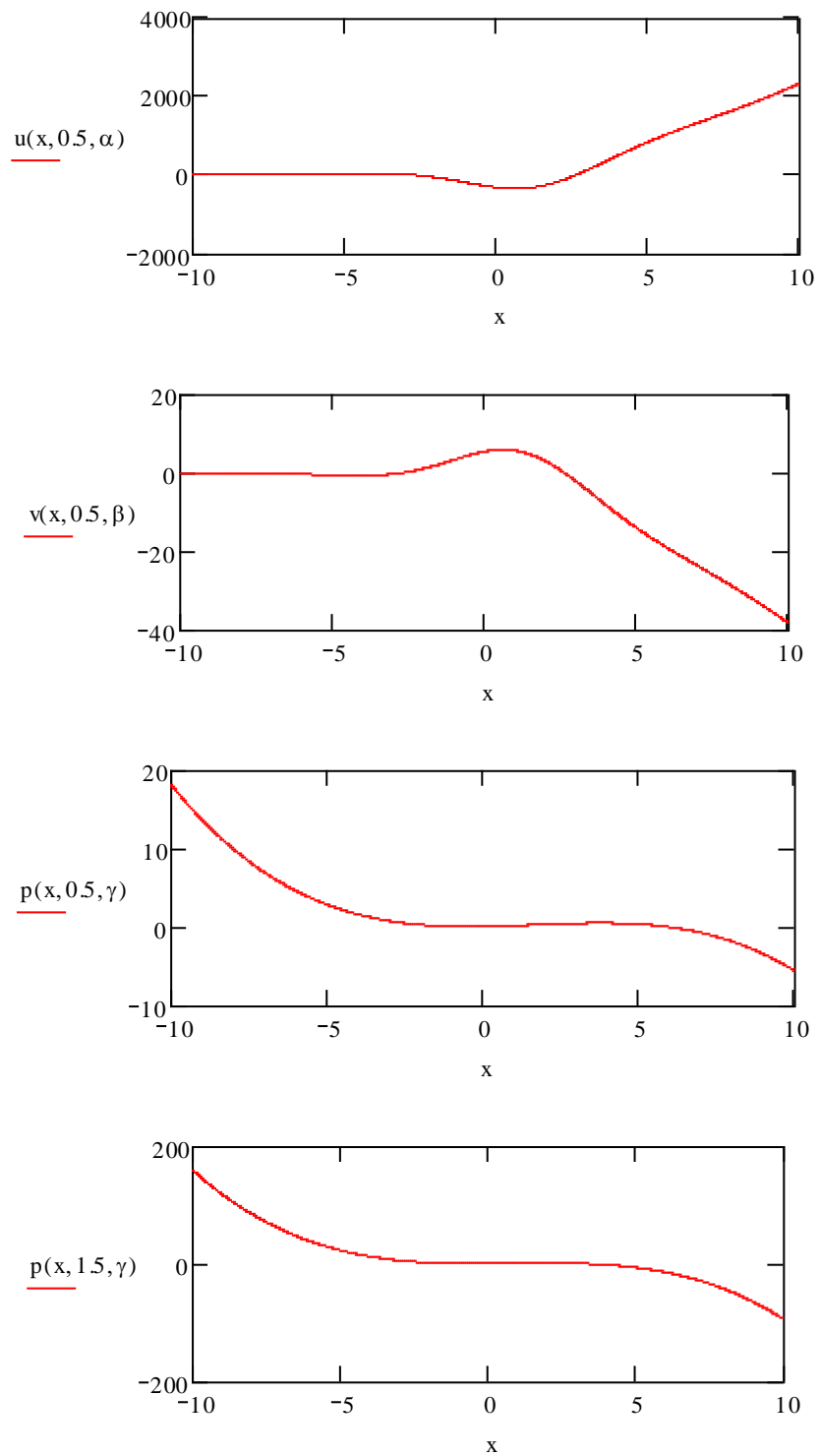
$$\alpha_{\textcolor{red}{m}} := S_0 \quad \beta_{\textcolor{red}{m}} := S_1 \quad \gamma_{\textcolor{red}{m}} := S_2$$

$$u_{\textcolor{red}{m}}(x, y, \alpha) := \left(y - e^{-0.1 \cdot x^2} \right) \cdot \sum_{i=0}^N \sum_{j=0}^N \left[\alpha_{i,j} \cdot (x + 10)^i \cdot y^j \right]$$

$$v_{\textcolor{red}{m}}(x, y, \beta) := \left(y - e^{-0.1 \cdot x^2} \right) \cdot \sum_{i=0}^N \sum_{j=0}^N \left[\beta_{i,j} \cdot (x + 10)^i \cdot y^j \right]$$

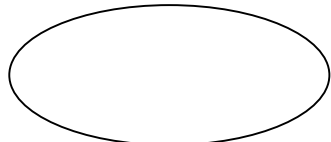
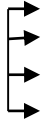
$$p_{\textcolor{red}{m}}(x, y, \gamma) := \sum_{i=0}^N \sum_{j=0}^N \left(\gamma_{i,j} \cdot x^i \cdot y^j \right)$$





4.4. ელიფსური ფორმის განივავეთის საყრდენი ბურჯის
სტაციონარული გარსდენა ბლანტი, უპუმშავი სითხით

განვიხილოთ ელიფსური ფორმის განივევეთის საყრდენი ბურჯის ორგანზომილებიანი სტაციონარული გარსდენის ამოცანა ბლანტი, უკუმშავი სითხით ნახ. 4.4.



ნახ. 4.4. ელიფსის გარსდენის სქემა

ბლანტი, უკუმშავი სითხის სტაციონარული ნაკადი აღიწერება ნავიჟ-სტოქსის განტოლებებითა და უკუმშგადობის პირობით:

$$u \frac{\partial u}{\partial x} + v \frac{\partial u}{\partial y} = - \frac{\partial p}{\partial x} + \frac{1}{Re} \left(\frac{\partial^2 u}{\partial x^2} + \frac{\partial^2 u}{\partial y^2} \right), \quad (4.66)$$

$$u \frac{\partial v}{\partial x} + v \frac{\partial v}{\partial y} = - \frac{\partial p}{\partial y} + \frac{1}{Re} \left(\frac{\partial^2 v}{\partial x^2} + \frac{\partial^2 v}{\partial y^2} \right), \quad (4.67)$$

$$\frac{\partial u}{\partial x} + \frac{\partial v}{\partial y} = 0. \quad (4.68)$$

სადაც $u(x, y)$, $v(x, y)$ სიჩქარის ვექტორის კომპონენტებია, p -წნევა, Re – რეინოლდსის რიცხვი.

სასაზღვრო პირობები:

$$u_{\frac{x^2}{16} + \frac{y^2}{9} = 1} = v_{\frac{x^2}{16} + \frac{y^2}{9} = 1} = 0. \quad (4.69)$$

კინემატიკური პირობები:

$$u(-10, y, \alpha) = 100 - y^2, \quad v(-10, y, \beta) = 0, \quad (4.70)$$

$$p(-10, 1, \gamma) > p(10, 1, \gamma). \quad (4.71)$$

RO ფუნქციაა:

$$RO(x, y) = \frac{x^2}{16} + \frac{y^2}{9} - 1. \quad (4.72)$$

ამონახსნს ვეძებთ სახით:

$$u(x, y, \alpha) = RO(x, y) \sum_{i=0}^N \sum_{j=0}^N \alpha_{ij} (x + 10)^i y^j, \quad (4.73)$$

$$v(x, y, \beta) = RO(x, y) \sum_{i=0}^N \sum_{j=0}^N \beta_{ij} (x + 10)^i y^j, \quad (4.74)$$

$$p(x, y, \gamma) = \sum_{i=0}^N \sum_{j=0}^N \gamma_{ij} x^i y^j. \quad (4.75)$$

ამონასნის ამ წარმოდგენაში ავტომატურადაა გათვალისწინებული (4.69) სასაზღვრო პირობები. დასაკმაყოფილებელია (4.66)–(4.68) განტოლებები და (4.70)–(4.71) კინემატიკური პირობები.

ჩავსვათ (4.73)–(4.75) წარმოდგენა (4.66)–(4.68) განტოლებებში და შევადგინოთ შესაბამისი ცდომილების ფუნქციები. ასევე, შევადგინოთ ცდომილებები კინემატიკური პირობებიდან გამომდინარე. ამისა-თვის ჯერ უნდა გამოვითვალოთ საჭირო პერძო წარმოებულები:

$$ux(x, y, \alpha) = 0.125x \sum_{i=0}^N \sum_{j=0}^N \alpha_{ij} (x + 10)^i y^j,$$

$$ux(x, y, \alpha) = ux(x, y, \alpha) + \left(\frac{x^2}{16} + \frac{y^2}{9} - 1\right) \sum_{i=1}^N \sum_{j=0}^N i \alpha_{ij} (x + 10)^{i-1} y^j.$$

$$uxx(x, y, \alpha) = 0.125 \cdot \sum_{i=0}^N \sum_{j=0}^N \alpha_{ij} (x + 10)^i y^j,$$

$$uxx(x, y, \alpha) = uxx(x, y, \alpha) + 0.25x \cdot \sum_{i=1}^N \sum_{j=0}^N i \alpha_{ij} (x + 10)^{i-1} y^j,$$

$$uxx(x, y, \alpha) = uxx(x, y, \alpha) + \left(\frac{x^2}{16} + \frac{y^2}{9} - 1\right) \sum_{i=2}^N \sum_{j=0}^N i(i-1) \alpha_{ij} (x + 10)^{i-2} y^j.$$

$$uy(x, y, \alpha) = \frac{2}{9}y \cdot \sum_{i=0}^N \sum_{j=0}^N \alpha_{ij} (x + 10)^i y^j,$$

$$uy(x, y, \alpha) = uy(x, y, \alpha) + \left(\frac{x^2}{16} + \frac{y^2}{9} - 1\right) \sum_{i=0}^N \sum_{j=1}^N j \cdot \alpha_{ij} (x + 10)^i y^{j-1}.$$

$$uyy(x, y, \alpha) = \frac{2}{9} \cdot \sum_{i=0}^N \sum_{j=0}^N \alpha_{ij} (x + 10)^i y^j + \frac{4}{9}y \cdot \sum_{i=0}^N \sum_{j=1}^N j \alpha_{ij} (x + 10)^i y^{j-1},$$

$$uyy(x, y, \alpha) = uyy(x, y, \alpha) + \left(\frac{x^2}{16} + \frac{y^2}{9} - 1\right) \sum_{i=0}^N \sum_{j=2}^N j(j-1) \alpha_{ij} (x + 10)^i y^{j-2}.$$

$$vx(x, y, \beta) = 0.125x \sum_{i=0}^N \sum_{j=0}^N \beta_{ij} (x + 10)^i y^j,$$

$$vx(x, y, \beta) = vx(x, y, \beta) + \left(\frac{x^2}{16} + \frac{y^2}{9} - 1\right) \sum_{i=1}^N \sum_{j=0}^N i \beta_{ij} (x + 10)^{i-1} y^j.$$

$$vxx(x, y, \beta) = 0.125 \sum_{i=0}^N \sum_{j=0}^N \beta_{ij} (x + 10)^i y^j,$$

$$vxx(x, y, \beta) = vxx(x, y, \beta) + 0.25x \cdot \sum_{i=1}^N \sum_{j=0}^N i \beta_{ij} (x + 10)^{i-1} y^j,$$

$$vxx(x, y, \beta) = vxx(x, y, \beta) + \left(\frac{x^2}{16} + \frac{y^2}{9} - 1 \right) \sum_{i=2}^N \sum_{j=0}^N i(i-1) \beta_{ij} (x + 10)^{i-2} y^j.$$

$$vy(x, y, \beta) = \frac{2}{9} y \cdot \sum_{i=0}^N \sum_{j=0}^N \beta_{ij} (x + 10)^i y^j,$$

$$vy(x, y, \beta) = vy(x, y, \beta) + \left(\frac{x^2}{16} + \frac{y^2}{9} - 1 \right) \sum_{i=0}^N \sum_{j=1}^N j \beta_{ij} (x + 10)^i y^{j-1}.$$

$$vyy(x, y, \beta) = \frac{2}{9} \cdot \sum_{i=0}^N \sum_{j=0}^N \beta_{ij} (x + 10)^i y^j + \frac{4}{9} y \sum_{i=0}^N \sum_{j=1}^N j \beta_{ij} (x + 10)^i y^{j-1},$$

$$vyy(x, y, \beta) = vyy(x, y, \beta) + \left(\frac{x^2}{16} + \frac{y^2}{9} - 1 \right) \sum_{i=0}^N \sum_{j=2}^N j(j-1) \beta_{ij} (x + 10)^i y^{j-2}$$

$$px(x, y, \gamma) = \sum_{i=1}^N \sum_{j=0}^N i \gamma_{ij} x^{i-1} y^j.$$

$$py(x, y, \gamma) = \sum_{i=0}^N \sum_{j=1}^N j \gamma_{ij} x^i y^{j-1}.$$

Ճանաչելու,

$$\begin{aligned} R1(x, y, \alpha, \beta, \gamma) &= u(x, y, \alpha) ux(x, y, \alpha) + v(x, y, \beta) uy(x, y, \alpha) + px(x, y, \gamma) - \\ &\quad - \frac{1}{Re} (uxx(x, y, \alpha) + uyy(x, y, \alpha)), \end{aligned} \tag{4.76}$$

$$\begin{aligned} R2(x, y, \alpha, \beta, \gamma) &= u(x, y, \alpha) vx(x, y, \beta) + v(x, y, \beta) vy(x, y, \beta) + py(x, y, \gamma) - \\ &\quad - \frac{1}{Re} (vxx(x, y, \beta) + vyy(x, y, \beta)), \end{aligned} \tag{4.77}$$

$$R3(x, y, \alpha, \beta) = ux(x, y, \alpha) + vy(x, y, \beta). \tag{4.78}$$

Ճանաչման օրու սահմանը $u(-10, y, \alpha) = 100 - y^2$, $v(-10, y, \beta) = 0$ Յուրաքանչյան դաշտականությունը պահպանվում է գործությունում:

$$R4(y, \alpha) = u(-10, y, \alpha) - 100 + y^2 \quad \text{and} \quad R5(y, \beta) = v(-10, y, \beta).$$

მაშინ ცდომილების შეწონილ $I(\alpha, \beta, \gamma)$ ფუნქციას ექნება სახე:

$$\begin{aligned} I(\alpha, \beta, \gamma) &= \tau 1 \cdot \int_0^{10} \int_{-10}^{10} [R1(x, y, \alpha, \beta, \gamma)]^2 dx dy + \\ &+ \tau 2 \cdot \int_0^{10} \int_{-10}^{10} [R2(x, y, \alpha, \beta, \gamma)]^2 dx dy + \\ &+ \tau 3 \cdot \int_0^{10} \int_{-10}^{10} [R3(x, y, \alpha, \beta)]^2 dx dy + \tau 4 \cdot \int_0^{10} R4(y, \alpha)^2 dy + \\ &+ \tau 5 \cdot \int_0^{10} R5(y, \beta)^2 dy \rightarrow \min. \end{aligned} \quad (4.65)$$

სადაც $\tau 1, \tau 2, \tau 3, \tau 4, \tau 5$ წონის კოეფიციენტებია. ჩვენ შემთხვევაში, მათი მნიშვნელობებია შესაბამისად: 0.2; 0.2; 0.2; 0.2; 0.2. მათი ჯამი, რა თქმა, უნდა ერთის ტოლია.

გაშლის α, β, γ კოეფიციენტების საპოვნელად ვიყენებთ $L_2(G)$ ნორმით ინდუცირებულ მეტრიკას, რათა ეს კოეფიციენტები განისაზღვროს შესაბამის ცდომილების ფუნქციასა და 0-ს შორის მანძილის მინიმიზაციის პირობიდან.

შევადგინოთ პროგრამა **Mathcad**-ზე:

$$\text{Re} := 100 \quad N := 3$$

$$u(x, y, \alpha) := \left(\frac{x^2}{16} + \frac{y^2}{9} - 1 \right) \cdot \sum_{i=0}^N \sum_{j=0}^N [\alpha_{i,j} \cdot (x + 10)^i \cdot y^j]$$

$$v(x, y, \beta) := \left(\frac{x^2}{16} + \frac{y^2}{9} - 1 \right) \cdot \sum_{i=0}^N \sum_{j=0}^N [\beta_{i,j} \cdot (x + 10)^i \cdot y^j]$$

$$p(x, y, \gamma) := \sum_{i=0}^N \sum_{j=0}^N (\gamma_{i,j} \cdot x^i \cdot y^j)$$

$$ux(x, y, \alpha) := 0.125x \cdot \sum_{i=0}^N \sum_{j=0}^N [\alpha_{i,j} \cdot (x + 10)^i \cdot y^j]$$

$$\text{uxx}(x, y, \alpha) := \text{ux}(x, y, \alpha) + \left(\frac{x^2}{16} + \frac{y^2}{9} - 1 \right) \cdot \sum_{i=1}^N \sum_{j=0}^N \left[i \cdot \alpha_i, j \cdot (x+10)^{i-1} \cdot y^j \right]$$

$$\text{uxx}(x, y, \alpha) := 0.125 \sum_{i=0}^N \sum_{j=0}^N \left[\alpha_i, j \cdot (x+10)^i \cdot y^j \right]$$

$$\text{uxx}(x, y, \alpha) := \text{uxx}(x, y, \alpha) + 0.25x \sum_{i=1}^N \sum_{j=0}^N \left[i \cdot \alpha_i, j \cdot (x+10)^{i-1} \cdot y^j \right]$$

$$\text{uxx}(x, y, \alpha) := \text{uxx}(x, y, \alpha) + \left(\frac{x^2}{16} + \frac{y^2}{9} - 1 \right) \cdot \sum_{i=2}^N \sum_{j=0}^N \left[i \cdot (i-1) \cdot \alpha_i, j \cdot (x+10)^{i-2} \cdot y^j \right]$$

$$\text{uy}(x, y, \alpha) := \frac{2}{9} \cdot y \cdot \sum_{i=0}^N \sum_{j=0}^N \left[\alpha_i, j \cdot (x+10)^i \cdot y^j \right]$$

$$\text{uy}(x, y, \alpha) := \text{uy}(x, y, \alpha) + \left(\frac{x^2}{16} + \frac{y^2}{9} - 1 \right) \cdot \sum_{i=0}^N \sum_{j=1}^N \left[j \cdot \alpha_i, j \cdot (x+10)^i \cdot y^{j-1} \right]$$

$$\text{uyy}(x, y, \alpha) := \frac{2}{9} \cdot \sum_{i=0}^N \sum_{j=0}^N \left[\alpha_i, j \cdot (x+10)^i \cdot y^j \right] + \frac{4}{9} \cdot y \cdot \sum_{i=0}^N \sum_{j=1}^N \left[j \cdot \alpha_i, j \cdot (x+10)^i \cdot y^{j-1} \right]$$

$$\text{uyy}(x, y, \alpha) := \text{uyy}(x, y, \alpha) + \left(\frac{x^2}{16} + \frac{y^2}{9} - 1 \right) \cdot \sum_{i=0}^N \sum_{j=2}^N \left[j \cdot (j-1) \cdot \alpha_i, j \cdot (x+10)^i \cdot y^{j-2} \right]$$

$$\text{vx}(x, y, \beta) := 0.125x \sum_{i=0}^N \sum_{j=0}^N \left[\beta_i, j \cdot (x+10)^i \cdot y^j \right]$$

$$\text{vx}(x, y, \beta) := \text{vx}(x, y, \beta) + \left(\frac{x^2}{16} + \frac{y^2}{9} - 1 \right) \cdot \sum_{i=1}^N \sum_{j=0}^N \left[i \cdot \beta_i, j \cdot (x+10)^{i-1} \cdot y^j \right]$$

$$\text{vxx}(x, y, \beta) := 0.125 \sum_{i=0}^N \sum_{j=0}^N \left[\beta_i, j \cdot (x+10)^i \cdot y^j \right]$$

$$\text{vxx}(x, y, \beta) := \text{vxx}(x, y, \beta) + 0.25x \sum_{i=1}^N \sum_{j=0}^N \left[i \cdot \beta_i, j \cdot (x+10)^{i-1} \cdot y^j \right]$$

$$\text{vx}\text{xx}(x, y, \beta) := \text{vx}\text{xx}(x, y, \beta) + \left(\frac{x^2}{16} + \frac{y^2}{9} - 1 \right) \cdot \sum_{i=2}^N \sum_{j=0}^N [i \cdot (i-1) \cdot \beta_i, j \cdot (x+10)^{i-2} \cdot y^j]$$

$$\text{vy}(x, y, \beta) := \frac{2}{9} \cdot y \cdot \sum_{i=0}^N \sum_{j=0}^N [\beta_i, j \cdot (x+10)^i \cdot y^j]$$

$$\text{vx}\text{yy}(x, y, \beta) := \text{vy}(x, y, \beta) + \left(\frac{x^2}{16} + \frac{y^2}{9} - 1 \right) \cdot \sum_{i=0}^N \sum_{j=1}^N [j \cdot \beta_i, j \cdot (x+10)^i \cdot y^{j-1}]$$

$$\text{vy}\text{y}(x, y, \beta) := \frac{2}{9} \cdot \sum_{i=0}^N \sum_{j=0}^N [\beta_i, j \cdot (x+10)^i \cdot y^j]$$

$$\text{vyy}(x, y, \beta) := \text{vy}\text{y}(x, y, \beta) + \left(\frac{x^2}{16} + \frac{y^2}{9} - 1 \right) \cdot \sum_{i=0}^N \sum_{j=2}^N [j \cdot (j-1) \cdot \beta_i, j \cdot (x+10)^i \cdot y^{j-2}]$$

$$\text{px}(x, y, \gamma) := \sum_{i=1}^N \sum_{j=0}^N (i \cdot \gamma_i, j \cdot x^{i-1} \cdot y^j)$$

$$\text{py}(x, y, \gamma) := \sum_{i=0}^N \sum_{j=1}^N (j \cdot \gamma_i, j \cdot x^i \cdot y^{j-1})$$

$$\text{R01}(x, y, \alpha, \beta, \gamma) := u(x, y, \alpha) \cdot \text{ux}(x, y, \alpha) + v(x, y, \beta) \cdot \text{uy}(x, y, \alpha) + \text{px}(x, y, \gamma)$$

$$\text{R11}(x, y, \alpha, \beta, \gamma) := \text{R01}(x, y, \alpha, \beta, \gamma) - \frac{1}{\text{Re}} \cdot (\text{ux}(x, y, \alpha) + \text{uy}(x, y, \alpha))$$

$$\text{R02}(x, y, \alpha, \beta, \gamma) := u(x, y, \alpha) \cdot \text{vx}(x, y, \beta) + v(x, y, \beta) \cdot \text{vy}(x, y, \beta) + \text{py}(x, y, \gamma)$$

$$\text{R22}(x, y, \alpha, \beta, \gamma) := \text{R02}(x, y, \alpha, \beta, \gamma) - \frac{1}{\text{Re}} \cdot (\text{vx}(x, y, \beta) + \text{vy}(x, y, \beta))$$

$$\text{R33}(x, y, \alpha, \beta) := \text{ux}(x, y, \alpha) + \text{vy}(x, y, \beta)$$

$$\text{R44}(y, \alpha) := u(-10, y, \alpha) - 100 + y^2$$

$$\text{R55}(y, \beta) := v(-10, y, \beta)$$

$$\tau1 := 0.2 \quad \tau2 := 0.2 \quad \tau3 := 0.2 \quad \tau4 := 0.2 \quad \tau5 := 0.2$$

$$\text{I00}(\alpha, \beta, \gamma) := \tau1 \cdot \int_{-10}^{10} \int_{-10}^{10} \text{R11}(x, y, \alpha, \beta, \gamma)^2 dx dy + \tau2 \cdot \int_{-10}^{10} \int_{-10}^{10} \text{R22}(x, y, \alpha, \beta, \gamma)^2 dx dy$$

$$I_{\text{III}}(\alpha, \beta) := \tau_3 \cdot \int_{-10}^{10} \int_{-10}^{10} R3(x, y, \alpha, \beta)^2 dx dy + \tau_4 \cdot \int_{-10}^{10} R4(y, \alpha)^2 dy + \tau_5 \cdot \int_{-10}^{10} R5(y, \alpha)^2 dy$$

$$I(\alpha, \beta, \gamma) := I_{\text{II}}(\alpha, \beta, \gamma) + I_{\text{III}}(\alpha, \beta)$$

i := 0..N

j := 0..N

$$\alpha_{i,j} := 0.1 \quad \beta_{i,j} := 0.1 \quad \gamma_{i,j} := 0.2$$

Given

$$p(-10, 3, \gamma) > p(10, 3, \gamma)$$

$$p(-10, -3, \gamma) > p(10, -3, \gamma)$$

$$S := \text{Minimize}_{\alpha, \beta, \gamma}(I(\alpha, \beta, \gamma))$$

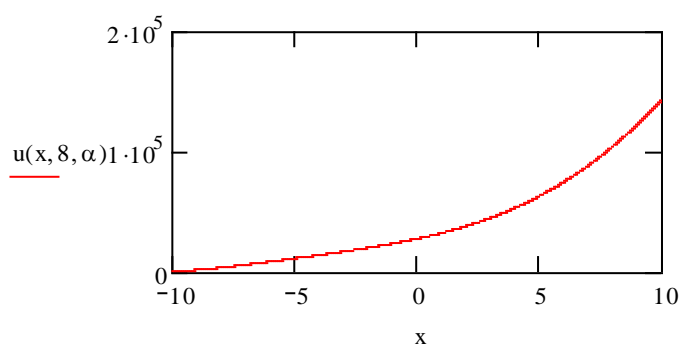
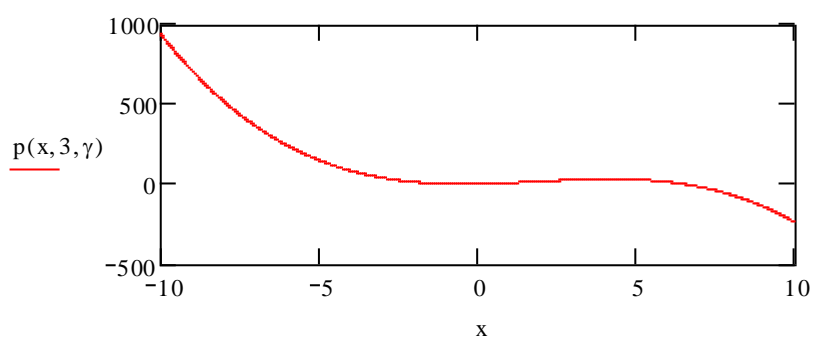
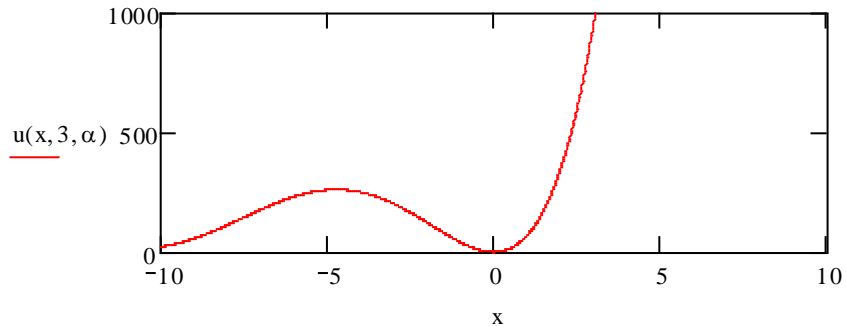
$$S = \begin{bmatrix} \begin{pmatrix} 0.05 & 0.1 & 0.05 & 0.1 \\ 0.05 & 0.1 & 0.05 & 0.1 \\ 0.05 & 0.1 & 0.05 & 0.094 \\ 0.05 & 0.099 & 0.045 & -0.01 \end{pmatrix} \\ \begin{pmatrix} 0.025 & 0.05 & 0.025 & 0.05 \\ 0.025 & 0.05 & 0.025 & 0.05 \\ 0.025 & 0.05 & 0.025 & 0.047 \\ 0.025 & 0.049 & 0.024 & -0.006 \end{pmatrix} \\ \begin{pmatrix} 0.05 & 0.1 & 0.05 & 0.1 \\ 0.05 & 0.1 & 0.049 & 0.099 \\ 0.05 & 0.1 & 0.05 & 0.1 \\ 0.04 & 0.089 & -0.038 & -0.022 \end{pmatrix} \end{bmatrix}$$

$$\alpha := S_0 \quad \beta := S_1 \quad \gamma := S_2$$

$$u(x, y, \alpha) := \left(\frac{x^2}{16} + \frac{y^2}{9} - 1 \right) \cdot \sum_{i=0}^N \sum_{j=0}^N \left[\alpha_{i,j} (x+10)^i \cdot y^j \right]$$

$$v(x, y, \beta) := \left(\frac{x^2}{16} + \frac{y^2}{9} - 1 \right) \cdot \sum_{i=0}^N \sum_{j=0}^N \left[\beta_{i,j} (x+10)^i \cdot y^j \right]$$

$$p(x, y, \gamma) := \sum_{i=0}^N \sum_{j=0}^N (\gamma_{i,j} \cdot x^i \cdot y^j)$$



როგორც ვხედავთ, პიდროდინამიკის სტაციონარული ამოცანების ამონისნის პროცესში, რვაჩოვ-ობგაძის RO-მეთოდი ეფექტურად მუშაობს.

4.5. კოშის ამოცანის ამოხსნა რეგულარულ წყაროთა მეთოდით

განვიხილოთ, ორწერტილოვანი სასაზღვრო ამოცანა ჩვეულებრივი დიფერენციალური განტოლებისათვის:

$$\frac{dy}{dx} = y(x), \quad (4.66)$$

$$y(0) = 1. \quad (4.67)$$

ადგილი საპოვნელია, რომ მაშინ $y = e^x$.

ამოგხსნათ ეს ამოცანა რეგულარულ წყაროთა მეთოდით. ამისათვის, გამოვიყენებოთ ერთგანზომილებიან რეგულარული წყაროს ტიპის ფუნქციებს, რაც იმას ნიშნავს, რომ ამონახსნს ვეძებოთ შემდეგი ფორმით:

$$y(x) = \alpha_0 + \alpha_1(x - 0)^2 + \alpha_2(x - e)^2. \quad (4.68)$$

ცდომილების ფუნქციას ექნება სახე:

$$R(x, \alpha) = e^x - \alpha_0 + \alpha_1(x - 0)^2 + \alpha_2(x - e)^2. \quad (4.69)$$

მაშინ, ცდომილებას $L_2[0; 1]$ აზრით ექნება შემდეგი სახე:

$$I(\alpha) = \int_0^1 (R(x, \alpha))^2 dx. \quad (4.70)$$

შევადგინოთ პროგრამა *Mathcad*-ზე და ამოგხსნათ ინტერპოლაციის ამოცანა:

$$f(x, \alpha) := \alpha_0 + \alpha_1 \cdot x^2 + \alpha_2 \cdot (x - e)^2$$

$$I(\alpha) := \int_0^1 \left(e^{x_j} - f(x_j, \alpha) \right)^2 dx$$

$i := 0..2$

$\alpha_i := 1$

Given

$S := \text{Minimize}_{x_j} I(\alpha)$

$\alpha := S$

$j := 0..10$

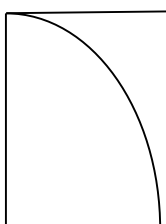
$x_j := 0.1j$

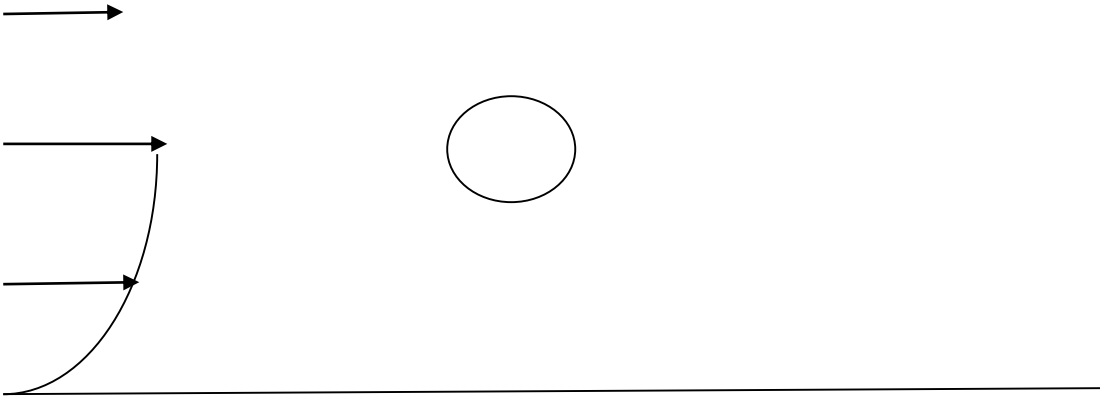
$f(x_j, \alpha) =$	$ e^{x_j} - f(x_j, \alpha) $
1.013	0.013
1.106	1.325·10 ⁻³
1.217	4.619·10 ⁻³
1.344	6.003·10 ⁻³
1.488	4.114·10 ⁻³
1.648	3.714·10 ⁻⁴
1.826	3.654·10 ⁻³
2.02	6.226·10 ⁻³
2.231	5.428·10 ⁻³
2.459	8.602·10 ⁻⁴
2.703	0.015

როგორც ვხედავთ, აბსოლუტური ცდომილება არ აღემატება 1%-ს.

4.6. სწორხაზოვანი კედლების მქონე არხში წრიული ცილინდრის სტაციონარული გარსდენის ამოცანის ამოხსნა რეგულარულ წყაროთა მეთოდით

განვიხილოთ, წრიული ცილინდრის სტაციონარული გარსდენის ამოცანა ბლანტი, უკუმშავი სითხით, სწორხაზოვანი კედლების მქონე არხში ნახ. 4.5.





ნახ. 4.5. წრიული ცილინდრის გარსდების სქემა

ბლანტი, უკუმშავი სითხის სტაციონარული ნაკადი აღიწერება ნავიუ-სტოქსის განტოლებებითა და უკუმშვადობის პირობით:

$$u \frac{\partial u}{\partial x} + v \frac{\partial u}{\partial y} = - \frac{\partial p}{\partial x} + \frac{1}{Re} \left(\frac{\partial^2 u}{\partial x^2} + \frac{\partial^2 u}{\partial y^2} \right), \quad (4.71)$$

$$u \frac{\partial v}{\partial x} + v \frac{\partial v}{\partial y} = - \frac{\partial p}{\partial y} + \frac{1}{Re} \left(\frac{\partial^2 v}{\partial x^2} + \frac{\partial^2 v}{\partial y^2} \right), \quad (4.72)$$

$$\frac{\partial u}{\partial x} + \frac{\partial v}{\partial y} = 0. \quad (4.73)$$

სადაც $u(x, y)$, $v(x, y)$ სიჩქარის ვექტორის კომპონენტებია, p – წნევა, Re – რეინოლდსის რიცხვი.

სასაზღვრო პირობები:

$$u_{x^2+y^2=1} = v_{x^2+y^2=1} = 0, \quad y = \pm 3. \quad (4.74)$$

კინემატიკური პირობები:

$$u(-5, y, \alpha) = 1 - \frac{1}{9}y^2, \quad v(-5, y, \beta) = 0. \quad (4.75)$$

$$\int_{-3}^3 u(-5, y, \alpha) dy = \int_{-3}^{-1} u(0, y, \alpha) dy + \int_{-1}^3 u(0, y, \alpha) dy = \int_{-3}^3 u(5, y, \alpha) dy$$

ეს პირობა უზრუნველყოფს არხის სხვადასხვა კვეთში $x = -5$;

$x = 0$; $x = 5$ გამავალი სითხის ხარჯის მუდმივობას.

ამ შემთხვევაში, $G = [-5; 5] \times [-3; 3]$ არეზე ნორმირებულ RO ფუნქციას აქვს სახე:

$$RO(x, y) = \frac{(x^2 + y^2 - 1)(9 - y^2)}{216}. \quad (4.76)$$

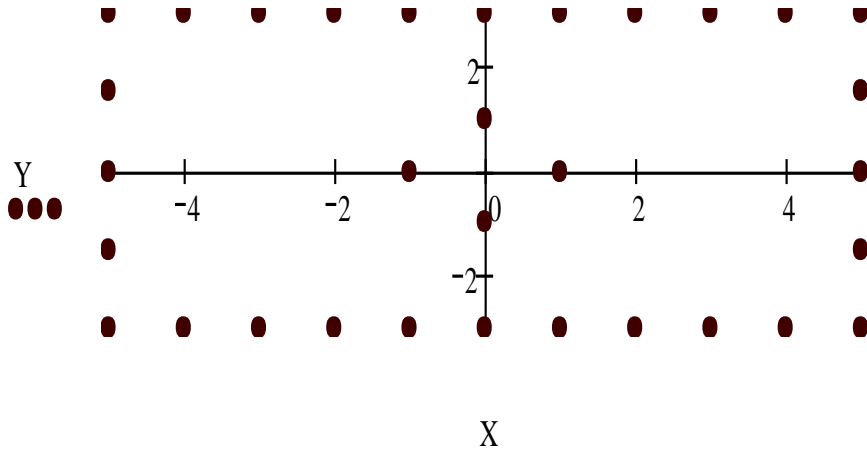
ამოცანის ამონახსნები ვეძებთ (4.77)-(4.79) სახით, სადაც (4.74) სა-საზღვრო პირობები ავტომატურადაა გათვალისწინებული:

$$u(x, y, \alpha) = \frac{(x^2 + y^2 - 1)(9 - y^2)}{216} \cdot \sum_{i=1}^N \alpha_i \cdot ((x - \xi_i)^2 + (y - \eta_i)^2), \quad (4.77)$$

$$v(x, y, \beta) = \frac{(x^2 + y^2 - 1)(9 - y^2)}{216} \cdot \sum_{i=1}^N \beta_i \cdot ((x - \xi_i)^2 + (y - \eta_i)^2), \quad (4.78)$$

$$p = \sum_{i=1}^N \gamma_i \cdot ((x - \xi_i)^2 + (y - \eta_i)^2). \quad (4.79)$$

გაშლის α_i , β_i და γ_i კოეფიციენტების საპოვნელად (4.77)-(4.79) ფორმულებს შევიტანო (4.71)-(4.73) განტოლებათა სისტემაში და ასევე შევეცდებით დავაკმაყოფილოთ (4.75) კინემატიკური პირობები. ვიყენებთ რეგულარული წყაროს ტიპის ფუნქციებს, რომელთა ლოკალურაციაა ოპერატორული განტოლების განსაზღვრის G არის საზღვრის (ξ_j, η_j) წერტილები ნახ. 4.6.:



ნახ. 4.6. რეგულარული წყაროს ტიპის ფუნქციების ლოკალურაციის წერტილები (ξ_j, η_j)

გამოვითვალოთ განმსაზღვრელი პარამეტრების საჭირო კერძო წარმოებულები:

$$u_x; u_y; u_{xx}; u_{yy}; v_x; v_y; v_{xx}; v_{yy}; p_x; p_y.$$

შემდეგ, უნდა შევადგინოთ ცდომილების ფუნქცია და გადავიყვანოთ ის $L_2(G)$ პილბერტის სივრცის მეტრიკის ენაზე და შევადგინოთ შესაბამისი **Mathcad** - პროგრამა ცდომილების მინიმიზაციისათვის.

ORIGIN:= 1

Re := 500 **N :=** 32

$$\xi := \begin{pmatrix} -5 \\ -5 \\ -5 \\ -5 \\ -5 \\ -5 \\ -4 \\ -3 \\ -2 \\ -1 \\ 0 \\ 1 \\ 2 \\ 3 \\ 4 \\ 5 \\ 5 \\ 5 \\ 5 \\ 4 \\ 3 \\ 2 \\ 1 \\ 0 \\ -1 \\ -2 \\ -3 \\ -4 \\ -1 \\ 0 \\ 1 \\ 0 \end{pmatrix} \quad \eta := \begin{pmatrix} -3 \\ -1.5 \\ 0 \\ 1.5 \\ 3 \\ 3 \\ 3 \\ 3 \\ 3 \\ 3 \\ 3 \\ 3 \\ 3 \\ 3 \\ 3 \\ 3 \\ 1.5 \\ 0 \\ -1.5 \\ -3 \\ -3 \\ -3 \\ -3 \\ -3 \\ -3 \\ -3 \\ -3 \\ -3 \\ -3 \\ 0 \\ 1.5 \\ 0 \\ -1.5 \end{pmatrix}$$

$$u(x, y, \alpha) := \frac{(x^2 + y^2 - 1)(9 - y^2)}{216} \cdot \sum_{i=1}^N \left[\alpha_i \left[(x - \xi_i)^2 + (y - \eta_i)^2 \right] \right]$$

$$v(x, y, \beta) := \frac{(x^2 + y^2 - 1)(9 - y^2)}{216} \cdot \sum_{i=1}^N \left[\beta_i \left[(x - \xi_i)^2 + (y - \eta_i)^2 \right] \right]$$

$$p(x, y, \gamma) := \sum_{i=1}^N \left[\gamma_i \left[(x - \xi_i)^2 + (y - \eta_i)^2 \right] \right]$$

$$ux(x, y, \alpha) := \frac{2x(9 - y^2)}{216} \cdot \sum_{i=1}^N \left[\alpha_i \left[(x - \xi_i)^2 + (y - \eta_i)^2 \right] \right] + \frac{(x^2 + y^2 - 1)(9 - y^2)}{216} \cdot \sum_{i=1}^N \left[\alpha_i \left[2(x - \xi_i) \right] \right]$$

$$uxx(x, y, \alpha) := \frac{2(9 - y^2)}{216} \cdot \sum_{i=1}^N \left[\alpha_i \left[(x - \xi_i)^2 + (y - \eta_i)^2 \right] \right] + \frac{4x(9 - y^2)}{216} \cdot \sum_{i=1}^N \left[\alpha_i \left[2(x - \xi_i) \right] \right] + \frac{(x^2 + y^2 - 1)(9 - y^2)}{216} \cdot 2 \cdot \sum_{i=1}^N \alpha_i$$

$$uy(x, y, \alpha) := \frac{20y - 2x^2 \cdot y - 4y^3}{216} \cdot \sum_{i=1}^N \left[\alpha_i \left[(x - \xi_i)^2 + (y - \eta_i)^2 \right] \right] + \frac{(x^2 + y^2 - 1)(9 - y^2)}{216} \cdot \sum_{i=1}^N \left[\alpha_i \left[2(y - \eta_i) \right] \right]$$

$$uyy(x, y, \alpha) := \frac{20 - 12y^2 - 2y^2}{216} \cdot \sum_{i=1}^N \left[\alpha_i \left[(x - \xi_i)^2 + (y - \eta_i)^2 \right] \right] + \frac{2(20y - 2x^2 \cdot y - 4y^3)}{216} \cdot \sum_{i=1}^N \left[\alpha_i \left[2(y - \eta_i) \right] \right] + \frac{(x^2 + y^2 - 1)(9 - y^2)}{216} \cdot 2 \cdot \sum_{i=1}^N \alpha_i$$

$$vx(x, y, \beta) := \frac{2x(9 - y^2)}{216} \cdot \sum_{i=1}^N \left[\beta_i \left[(x - \xi_i)^2 + (y - \eta_i)^2 \right] \right] + \frac{(x^2 + y^2 - 1)(9 - y^2)}{216} \cdot \sum_{i=1}^N \left[\beta_i \left[2(x - \xi_i) \right] \right]$$

$$vxx(x, y, \beta) := \frac{2(9 - y^2)}{216} \cdot \sum_{i=1}^N \left[\beta_i \left[(x - \xi_i)^2 + (y - \eta_i)^2 \right] \right] + \frac{4x(9 - y^2)}{216} \cdot \sum_{i=1}^N \left[\beta_i \left[2(x - \xi_i) \right] \right] + \frac{(x^2 + y^2 - 1)(9 - y^2)}{216} \cdot 2 \cdot \sum_{i=1}^N \beta_i$$

$$vy(x, y, \beta) := \frac{20y - 2x^2 \cdot y - 4y^3}{216} \cdot \sum_{i=1}^N \left[\beta_i \left[(x - \xi_i)^2 + (y - \eta_i)^2 \right] \right] + \frac{(x^2 + y^2 - 1)(9 - y^2)}{216} \cdot \sum_{i=1}^N \left[\beta_i \left[2(y - \eta_i) \right] \right]$$

$$vyy(x, y, \beta) := \frac{20 - 12y^2 - 2y^2}{216} \cdot \sum_{i=1}^N \left[\beta_i \left[(x - \xi_i)^2 + (y - \eta_i)^2 \right] \right] + \frac{2(20y - 2x^2 \cdot y - 4y^3)}{216} \cdot \sum_{i=1}^N \left[\beta_i \left[2(y - \eta_i) \right] \right] + \frac{(x^2 + y^2 - 1)(9 - y^2)}{216} \cdot 2 \cdot \sum_{i=1}^N \beta_i$$

$$px(x, y, \gamma) := \sum_{i=1}^N \left[\gamma_i \left[2(x - \xi_i) \right] \right]$$

$$py(x, y, \gamma) := \sum_{i=1}^N \left[\gamma_i \left[2(y - \eta_i) \right] \right]$$

$$R1(x, y, \alpha, \beta, \gamma) := u(x, y, \alpha) \cdot ux(x, y, \alpha) + v(x, y, \beta) \cdot uy(x, y, \alpha) + px(x, y, \gamma) - \frac{1}{Re} \cdot (uxx(x, y, \alpha) + uyy(x, y, \alpha))$$

$$R2(x, y, \alpha, \beta, \gamma) := u(x, y, \alpha) \cdot vx(x, y, \beta) + v(x, y, \beta) \cdot vy(x, y, \beta) + py(x, y, \gamma) - \frac{1}{Re} \cdot (vxx(x, y, \beta) + vyy(x, y, \beta))$$

$$R3(x, y, \alpha, \beta) := ux(x, y, \alpha) + vy(x, y, \beta)$$

$$R4(y, \alpha) := u(-5, y, \alpha) - \left(1 - \frac{1}{9}y^2\right)$$

$$R5(y, \beta) := v(-5, y, \beta)$$

$$II_{\textcolor{brown}{m}}(\alpha, \beta, \gamma) := \int_{-3}^3 \int_{-5}^5 (R1(x, y, \alpha, \beta, \gamma)^2 + R2(x, y, \alpha, \beta, \gamma)^2) dx dy$$

$$I2(\alpha, \beta) := \int_{-3}^3 \int_{-5}^5 R3(x, y, \alpha, \beta)^2 dx dy$$

$$I3(\alpha, \beta) := \int_{-3}^3 [(R4(y, \alpha))^2 + (R5(y, \beta))^2] dy$$

$$I(\alpha, \beta, \gamma) := II_{\textcolor{brown}{m}}(\alpha, \beta, \gamma) + I2(\alpha, \beta) + I3(\alpha, \beta)$$

$$i := 1..N$$

$$\alpha_i := 0.1 \quad \beta_i := 0.1 \quad \gamma_i := 0.1$$

Given

$$u_{\textcolor{brown}{m}}(x, y, \alpha) := \frac{(x^2 + y^2 - 1)(9 - y^2)}{216} \sum_{i=1}^N \left[\alpha_i \left[(x - \xi_i)^2 + (y - \eta_i)^2 \right] \right] \quad u(-5, 0, \alpha) \geq 0.9$$

$$\int_{-3}^3 u(-5, y, \alpha) dy = \int_{-3}^{-1} u(0, y, \alpha) dy + \int_1^3 u(0, y, \alpha) dy = \int_{-3}^3 u(5, y, \alpha) dy$$

$$S := \text{Minimize}_{\textcolor{brown}{m}}(I, \alpha, \beta, \gamma)$$

$$\alpha_{\textcolor{brown}{m}} := S_1 \quad \beta_{\textcolor{brown}{m}} := S_2 \quad \gamma_{\textcolor{brown}{m}} := S_3$$

$$\textcolor{violet}{v}_{\textcolor{brown}{N}}(x,y,\beta) := \frac{\left(x^2+y^2-1\right)\cdot\left(9-y^2\right)}{216}\cdot\sum_{i=1}^N\left[\beta_i\cdot\left[(x-\xi_i)^2+(y-\eta_i)^2\right]\right]$$

$$p_{\textcolor{brown}{N}}(x,y,\gamma) := \sum_{i=1}^N\left[\gamma_i\cdot\left[(x-\xi_i)^2+(y-\eta_i)^2\right]\right]$$

	1		1		1
1	0.015	1	-0.021	1	0.011
2	0.315	2	-0.053	2	-0.005
3	0.005	3	0.004	3	0.011
4	-0.019	4	-0.021	4	-0.005
5	0.015	5	0.005	5	0.011
6	-0.028	6	-0.022	6	-0.006
7	-0.002	7	0.009	7	0.011
8	-0.079	8	-0.01	8	-0.008
9	-0.01	9	0.01	9	0.01
10	-0.096	10	-0.01	10	-0.011
11	-0.01	11	0.008	11	0.01
12	-0.078	12	-0.018	12	-0.013
13	-0.002	13	0.006	13	0.009
14	-0.027	14	-0.023	14	-0.015
15	0.015	15	0.004	15	0.008
16	0.313	16	-0.025	16	-0.016
17	0.005	17	0.005	17	0.008
18	-0.019	18	-0.034	18	-0.016
19	0.015	19	0	19	0.008
20	-0.029	20	-0.012	20	-0.015
21	-0.002	21	0.012	21	0.009
22	-0.081	22	0.014	22	-0.013
23	-0.011	23	0.016	23	0.01
24	-0.098	24	0.014	24	-0.01
25	-0.011	25	0.014	25	0.01
26	-0.081	26	0.004	26	-0.008
27	-0.003	27	0.012	27	0.011
28	-0.03	28	0.026	28	-0.006
29	-0.02	29	0.027	29	0.01
30	-0.121	30	0.079	30	-0.011
31	-0.02	31	0.032	31	0.01
32	-0.126	32	0.068	32	-0.01

$$U(x, y) := \begin{pmatrix} u(x, y, \alpha) \\ v(x, y, \beta) \end{pmatrix}$$

xlow := -5 xhigh := 5

xn := 10

ylow := -3 yhigh := 3

yn := 6

i := 1..xn

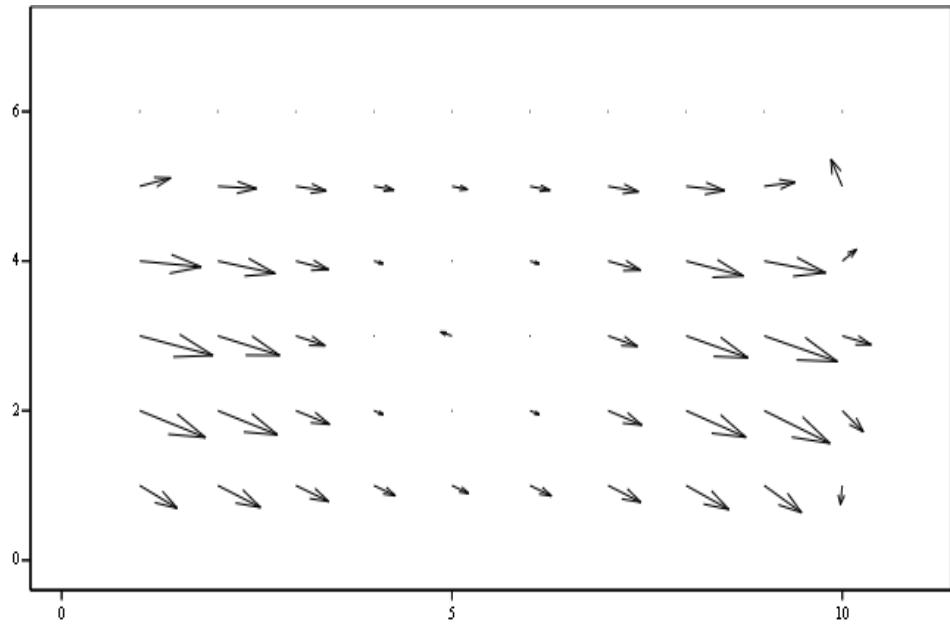
$$x_{\text{ind}_i} := x_{\text{low}} + i \cdot \frac{x_{\text{high}} - x_{\text{low}}}{xn}$$

j := 1..yn

$$y_{\text{ind}_j} := y_{\text{low}} + j \cdot \frac{y_{\text{high}} - y_{\text{low}}}{yn}$$

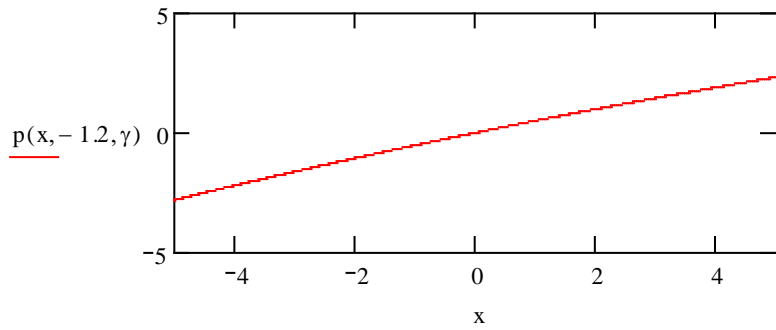
$$F_{i,j} := U(x_{ind_i}, y_{ind_j})$$

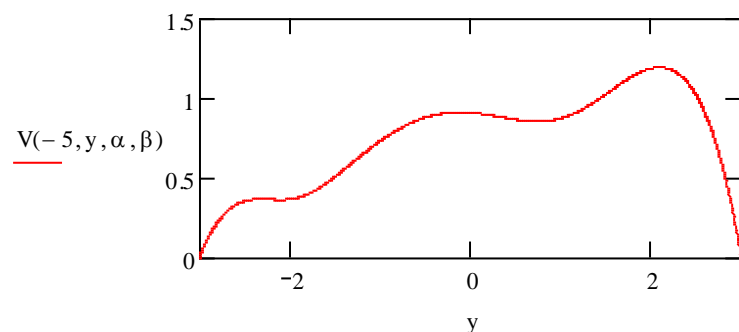
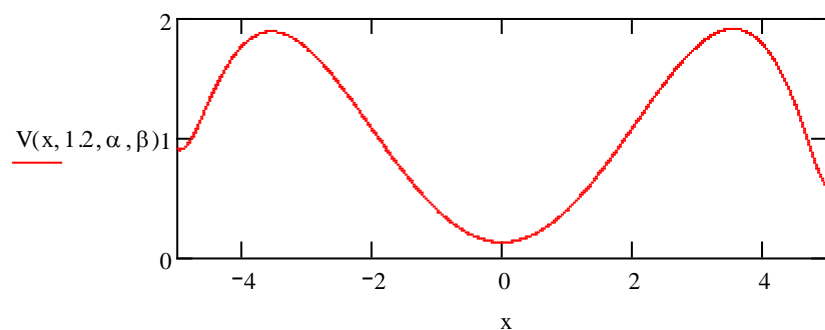
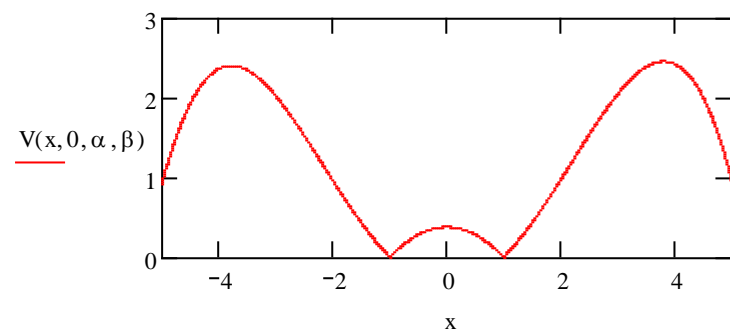
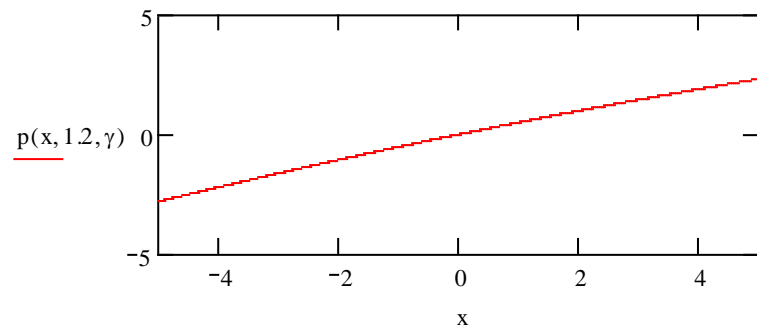
$$M_{i,j} := \begin{pmatrix} F_{i,j} \end{pmatrix}_1 \quad N_{i,j} := \begin{pmatrix} F_{i,j} \end{pmatrix}_2$$

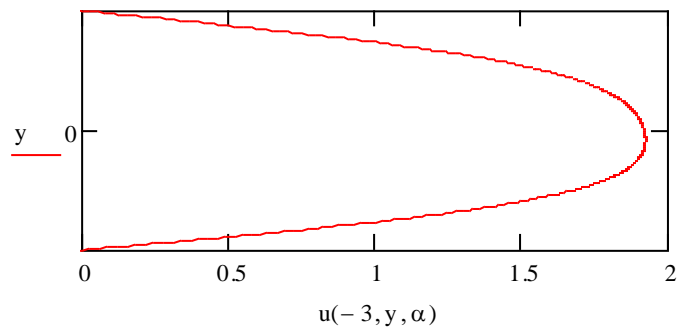
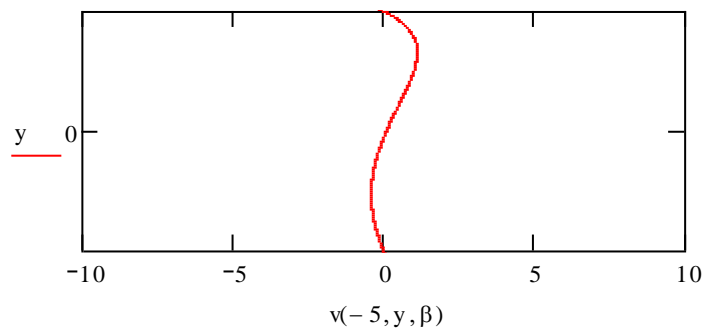
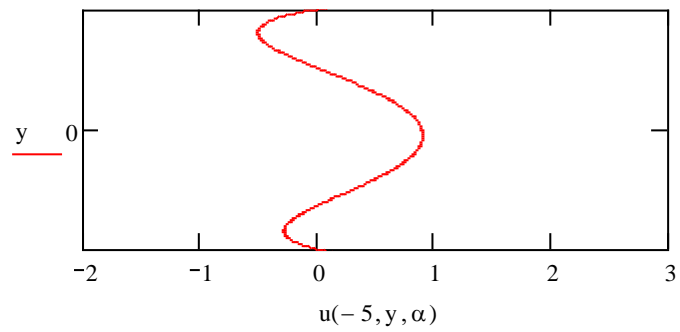
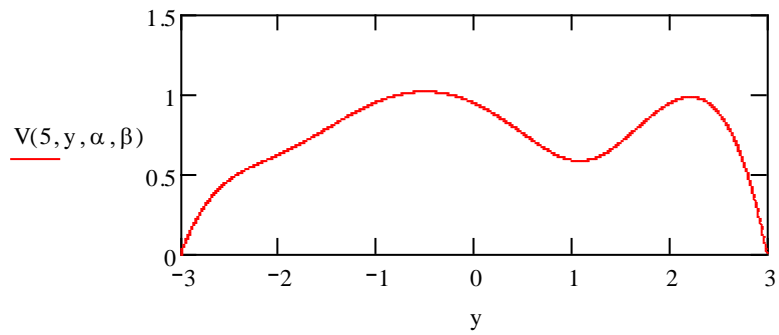


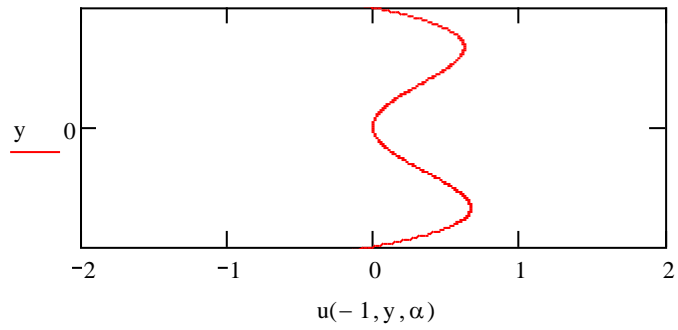
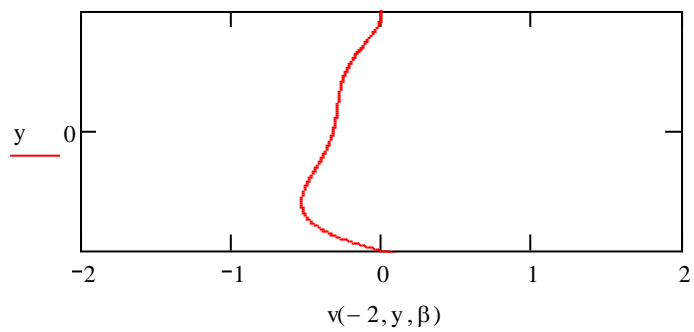
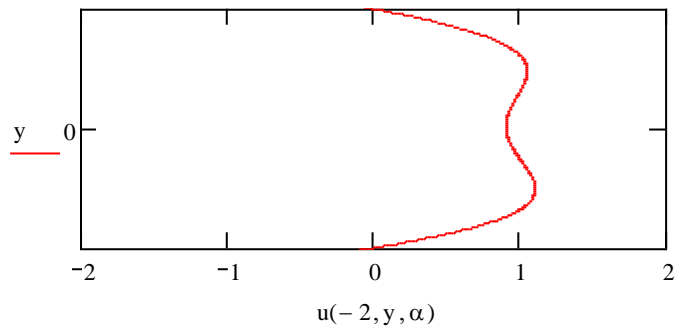
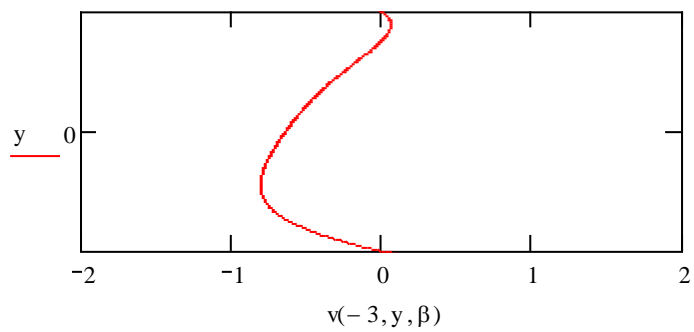
(M, N)

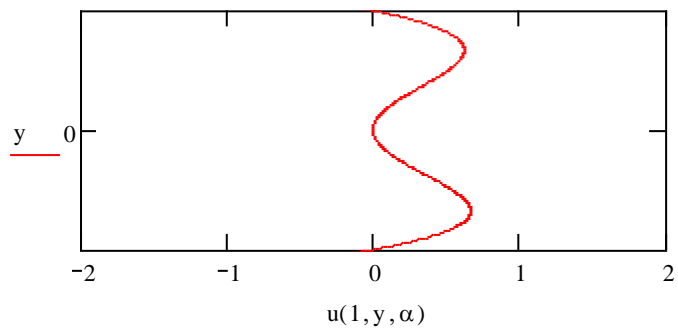
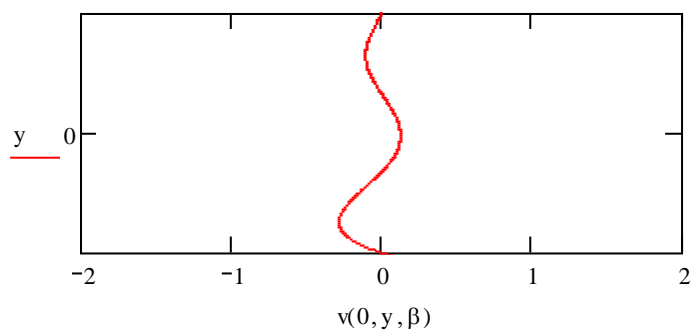
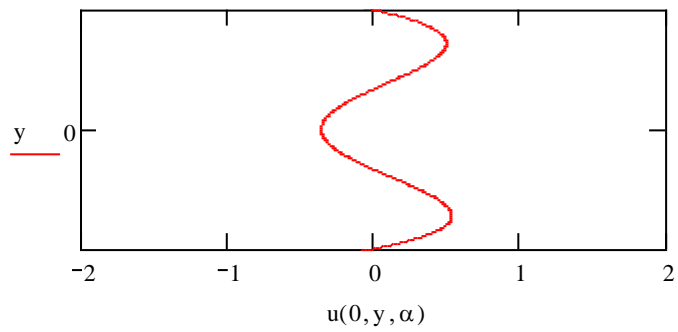
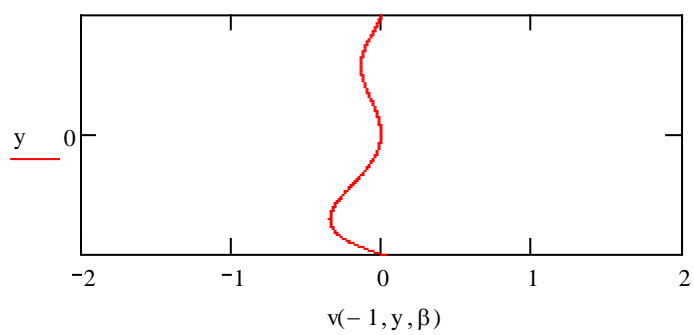
$$V(x,y,\alpha,\beta) := \sqrt{u(x,y,\alpha)^2 + v(x,y,\beta)^2}$$

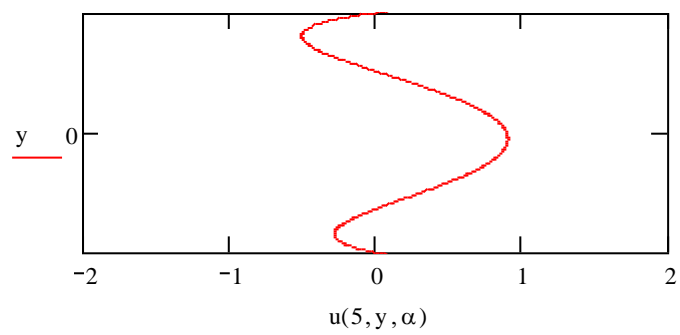
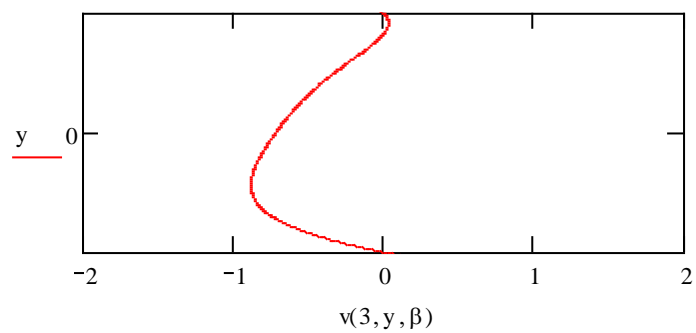
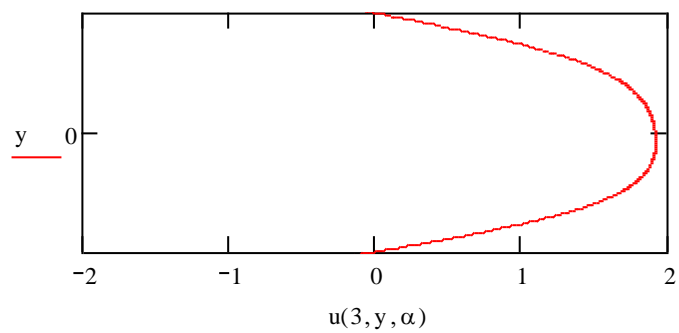
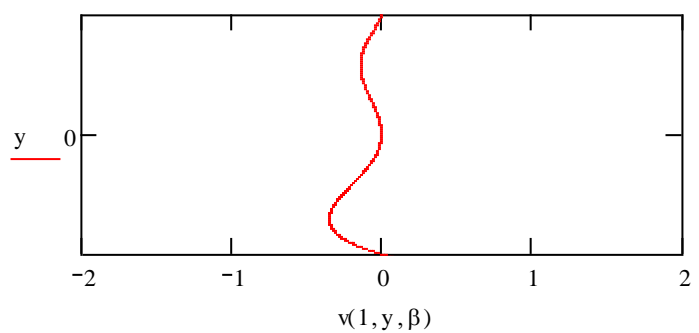


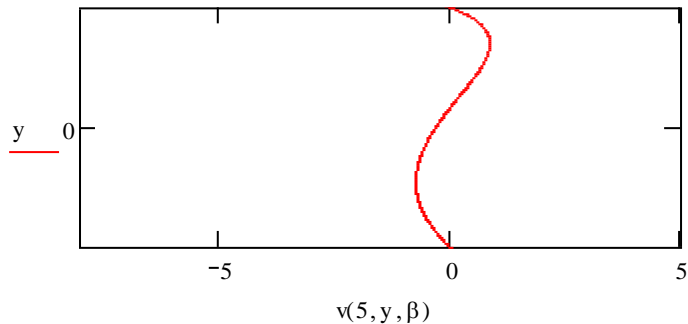












როგორც გათვლის შედეგები გვიჩვენებს, *RO*-მეთოდი კარგად ასახავს დინების ფიზიკურ სურათს, თუმცა რჩება არაერთი სიძნელე, რომელიც დაკავშირებულია მრავალი ცვლადის ცდომილების ფუნქციის მინიმუმის პოვნის ამოცანის ამოხსნასთან, როცა ცვლადთა რაოდენობა საკმაოდ დიდია.

ცვლადთა რაოდენობა იზრდება იმის მიხედვით, თუ რამდენად დიდია G არის დიამეტრი, თუ გადავსახვთ ამ არეს მცირე ზომის G' არეზე, მაშინ რეგულარულ წყაროთა შორის მანძილები იქნება გათვლების ცდომილების ზღვარზე. ამიტომ, ცალკე პრობლემაა ოპტიმალური G' არის პოვნა.

Література

1. **Ректорис К.** Вариационные методы в математической физике и технике, пер. с англ., Мир, Москва, 1985,
2. **Заманский М.** Введение в современную алгебру и анализ, пер. с франц., М., 1974,
3. **Пизо Ш., Заманский М.** Курс математики алгебра и анализ, пер. с франц., М., 1971,
4. **Шварц Л.** Анализ., Пер. с франц. по ред. С.Г. Крейна, т.1, т.2, Мир, М., 1972,
5. **Картан А.** Дифференциальное исчисление. Дифференциальные формы. Пер. с франц. под ред. Б.А. Фукса, Мир, М., 1971,
6. **Рудин У.** Основы математического анализа. Пер. с англ. под ред. В.П. Хавина, Мир, М., 1966,
7. **Марчук Г.И., Агошков В.И.** Введение в проекционно-сеточные методы, Наука, М., 1981,
8. **Галёркин Б.Г.** Вестник инженеров, №19, Санкт-Петербург, 1915,
9. **Finlayson B.A., Scriven L.E.** Appl. Mech. Rev., v.19, 1966,
10. **Finlayson B.A.** The method of weighted residuals and variational principles. New York: Academic Press, 1972,
11. **Чебышев П.Л.** Полное собрание сочинений, том 2, математический анализ, Москва-Ленинград, 1947,
12. **Обгадзе Т.А., Прокошев В.Г.** Вычислительная физика, ВлГУ, Владимир, 1999,
13. **Fletcher C.A.** Burger's equation: a model for all reasons. In: Numerical solution of partial differential equations. Ed. J.Noye. North-Holland, 1982,
14. **Додд Р., Эйлбек Дж., Гиббон Дж., Моррис Х.** Солитоны и нелинейные волновые уравнения, пер. с англ., Мир, М., 1988,
15. **Рвачёв В.Л.** Теория R-функций и некоторые её приложения, Киев, Наукова думка, 1982,

16. **Обгадзе Т.А.** Применение методов R -функций и Ψ -преобразования для решения операторных уравнений, Сообщения АН ГССР, т.136, №1, 1989,
17. **Обгадзе Т.А.** Об одном методе решения задач теории обтекания тел вязкой жидкостью, Сборник науч. трудов ГПИ им. В.И. Ленина, сер. МСС, №6(262), Т., 1983,
18. **Обгадзе Т.А.** Элементы математического моделирования, Учебное пос., министерство высшего и среднего образования ГССР, ГПИ, 1989,
19. **Мироновский Л.А.** Моделирование разностных уравнений, учебное пос., Санкт-Петербургский государственный университет аэрокосмического приборостроения, Санкт-Петербург, 2004,
20. **Флетчер К.** Численные методы на основе метода Галёркина, пер. с англ., Мир, М., 1988,
21. თბეგაძე თ. მათემატიკური მოდელირების კურსი, (უწყვეტი მათემატიკური მოდელები), ტომი 1, სტუ, თ., 2006,
22. თბეგაძე თ., თბეგაძე ლ., მჭედლიშვილი ნ., დავითაშვილი ი., თუშიშვილი ნ. მათემატიკური მოდელირების კურსი, (ეპონომიქსი Mathcad-ისა და Matlab-ის ბაზაზე), ტომი 2, სტუ, თ., 2007,
23. თბეგაძე თ. მათემატიკური მოდელირების კურსი, (მაგისტრანტული სათვის), ტომი 3, სტუ, თ., 2008,
24. თბეგაძე თ. მათემატიკური მოდელირების კურსი, (რჩევითი პროცესები), ტომი 4, სტუ, თ., 2010,
25. თბეგაძე თ., ბიჩენოვი ნ. მათემატიკური მოდელირების კურსი, (სოციალურ-ეკონომიკური პროცესები), ტომი 5, სტუ, თ., 2012,
26. თბეგაძე თ. მათემატიკური მოდელირების კურსი, (დინამიკური პროცესები და ქაოსი), ტომი 6, სტუ, თ., 2013,
27. თბეგაძე თ. მათემატიკური მოდელირება, მონოგრაფია, სტუ, თ., 2016,
28. თბეგაძე თ., თუშიშვილი ნ., მუხაშავრია ს., გურგენიძე ლ., ვარძიაშვილი ნ. ცოცხალი სისტემების ანალიზის მეთოდები, დამხმარესახლმდღვანელო, ტომი 1, სტუ, თ., 2014,

29. მბგაძე თ., ფრანგიშვილი ა. ცოცხალი სისტემების ანალიზის მეთოდები (დიფერენცირებად მრავალსახეობათა ლოკალური გეო-მეტრია), დამხმარე სახელმძღვანელო, ტომი 2, სტუ, თ., 2015,
30. მბგაძე თ., ფრანგიშვილი ა., ტრუსკინოვსკი ა. ცოცხალი სისტემების ანალიზის მეთოდები (ფრაქტალური), დამხმარე სახელმძღვანელო, ტომი 3, სტუ, თ., 2016,
31. **Van Dyke M.** An album of fluid motion, Stanford, California, 1982,
32. **Пейре Р., Тейлор Томас Д.** Вычислительные методы в задачах механики жидкости, пер. с англ., Ленинград, 1986,
33. **Kupradze V.D.** Method of potential in theory of elasticity. – M., Physmathgiz, 1963,
34. **Brebbia C.A., Telles J.C.F., Wrobel L.C.** Boundary Element methods. Theory and Applications in Engineering. Springer-Verlag, 1984,
35. **Brebbia C.A.** The boundary element method for engineers. Pentech Press , London , Holstead press, New York , 1978,
36. **Temam R.** Navier-Stokes equation, theory and numerical analysis, North Holland, 1975,
37. **Франк А.М.** Дискретные модели несжимаемой жидкости, М., 2001,
38. **Шарма Дж.Н., Сингх К.** Уравнения в частных производных для инженеров, пер. с англ., М., 2002.

შინაარსი

		გვ.
წინასიტყვაობა		3
თავი I.	ფუნქციონალური სიმრავლეები	4
	1.1 წრფივი ფუნქციონალური სივრცე	4
	1.2 ჰილბერტის ფუნქციონალური სივრცე	7
	1.3 ანალოგია π განზომილებიან გექტორულ და ჰილბერტის $L_2(G)$ ფუნქციონალურ სივრცეებს შორის	12
	1.4 სობოლევის $W_2^k(G)$ ფუნქციონალური სივრცე	13
	1.5 დამოკიდებულება ფუნქციონალურ სივრცეებს შორის	14
თავი II.	უწყვეტ ტანთა მექანიკის მოდელები	15
	2.1 დრეკადობის (ელასტიკურობის) თეორიის მათემატიკური მოდელები. ლამეს მოდელი. ბელტრამი-მიჩელას მოდელი. რეინერის მოდელი. თერმოდრეკადობის ამოცანა	15
	2.2 სითხეთა დინამიკის მათემატიკური მოდელები. ნავიე-სტოქს-დიუგემის მოდელი. განტოლებათა ჩაწერა უგანზომილებო ფორმით. ნავიე-სტოქსისა და ეილერის მათემატიკური მოდელები	21
	2.3 უწყვეტ გარემოში სითბოს განაწილების მათემატიკური მოდელირება (დიფუზიის განტოლება)	28
თავი III.	რგაჩოვ-ობგაძის RO-მეთოდი	31
	3.1 გალიორკინის კლასიკური მეთოდი	31
	3.1.1 კოშის ამოცანის ამოხსნა პირველი რიგის ჩვეულებრივი დიფერენციალური განტოლებისათვის გალიორკინის კლასიკური მეთოდით	33

	3.1.2	ბლანტი სითხის ერთგანზომილებიანი დინება კვადრატული კვეთის უსასრულო მილში	36
	3.1.3	არასტაციონარული სითბოგამტარობის ამოცანის ამოხსნა გალიორკინის კლასიკური მეთოდით	39
	3.1.4	ბიურგერსის განტოლების მიახლოებითი ამოხსნა გალიორკინის მეთოდით	44
	3.2	რვაჩოვ-ობგაძის ფუნქციების აგების დიაგრამა და საზღვრის ანალიზური კოდირების RO-მეთოდი	49
	3.2.1	კოშის ამოცანის ამოხსნა პირველი რიგის ჩვეულებრივი დიფერენციალური განტოლებისათვის რვაჩოვ-ობგაძის RO-მეთოდით	51
	3.2.2	რვაჩოვ-ობგაძის მეთოდის გამოყენება კვადრატული კვეთის უსასრულო მილში ერთგანზომილებიანი დინების შესასწავლად	55
	3.2.3	რვაჩოვ-ობგაძის მეთოდის გამოყენება არასტაციონარული სითბოგამტარობის ამოცანის ამოსახსნელად	58
	3.2.4	ბიურგერსის განტოლების მიახლოებითი ამოხსნა რვაჩოვ-ობგაძის მეთოდით	61
თავი IV.	პიდროდინამიკის სტაციონარული ამოცანების ამოხსნა RO-მეთოდით		65
	4.1	სწორხაზოვან კედლებიან არხში მოთავსებული წრიული ცილინდრის, ბლანტი უკუმშავი სითხით სტაციონარული გარსდენის ამოცანის ამოხსნა RO-მეთოდით	65
	4.2	წრიული ცილინდრის, ბლანტი უკუმშავი სითხით სტაციონარული გარსდენის ამოცანის ამოხსნა RO-მეთოდით	73
	4.3	წყალქვეშა ბორცვის სტაციონარული გარსდენა ბლანტი, უკუმშავი სითხით	80
	4.4	ელიფსური ფორმის განივევეთის საყრდენი ბურჯის სტაციონარული გარსდენა ბლანტი, უკუმშავი სითხით	88

	4.5	კოშის ამოცანის ამოხსნა რეგულარულ წყაროთა მეთოდით	87
	4.6	სწორხაზოვანი კედლების მქონე არხში წრიული ცილინდრის სტაციონარული გარსდენის ამოცანის ამოხსნა რეგულარულ წყაროთა მეთოდით	98
ლიტერატურა			112



ობგამე თამაზ აბესალომის ძე დაიბადა 1955 წლის 5 აპრილს თბილისში. განათლება: თბილისის სახელმწიფო უნივერსიტეტის მექანიკა-მათემატიკის ფაკულტეტი (1974); მიზნობრივი წესით გაიგზავნა სასწავლებლად მოსკოვის მ.ვ. მ.გლომონოსოვის სახ. სახელმწიფო უნივერსიტეტის მექანიკა-მათემატიკის ფაკულტეტზე, აერომექანიკისა და გაზის დინამიკის კათედრა, კვალიფიკაცია მექანიკოსი, ინჟინერ-მათემატიკოსი (1979). კარიერა: საქართველოს მეცნიერებათა აკადემიის გამოთვლითი ცენტრის სტაჟიორ-ლაბორატორი, საქართველოს პოლიტექნიკური ინსტიტუტის უმაღლესი მათემატიკის კათედრის ასისტენტი საათობრივი ანაზღაურებით (1980-1987); საქართველოს მეცნიერებათა აკადემიის კ.ზავრიევის სახ. სამშენებლო მექანიკისა და სეისმომედეობის ინსტიტუტის სივრცული კონსტრუქციების განყოფილების ინჟინერი, საქართველოს საგეგმო კომიტეტის გამოთვლითი ცენტრის უმცროსი, უფროსი მეცნიერ-თანამშრომელი, საქართველოს პოლიტექნიკური ინსტიტუტის უმაღლესი მათემატიკის კათედრის ასისტენტი საათობრივი ანაზღაურებით (1983-1985); ინსტიტუტის წყლოთა მეცნიერების განყოფილების უფროსი მეცნიერ-თანამშრომელი, საქართველოს პოლიტექნიკური ინსტიტუტის, უმაღლესი მათემატიკის კათედრის უფროსი მასწავლებელი (1987-1988), საქართველოს პოლიტექნიკური ინსტიტუტის დოცენტი, პროფესორ-მასწავლებელთა კვალიფიკაციის ამაღლების ფაკულტეტის დეკანის მოადგილე სამეცნიერო ნაწილში (1988-1990); საქართველოს რესპუბლიკის პირველი მოწვევის უზენაესი საბჭოს წევრი: საარჩევნო ბლოკი “მრგვალი მაგიდა – თავისუფალი საქართველო”, საგარეო ურთიერთობათა კომისიის მდივანი; ხელი აქვს მოწერილი საქართველოს დამოუკიდებლობის აღდგენის აქტზე (1991 წლის 9 აპრილი). ახალგორის კერძო უნივერსიტეტის დამფუძნებელი (1992-1997); საქართველოს ტექნიკური უნივერსიტეტის პროფესორ-მასწავლებელთა დახელოვნების ცენტრის დირექტორის მოადგილე (1991-1995). საქართველოს რესპუბლიკის პარლამენტის წევრი (1992-95): კომპენსაციის სით, მერაბ კოსტავას საზოგადოება, განათლებისა და მეცნიერების კომისია. საქართველოს ტექნიკური უნივერსიტეტის თვითმფრინავმშენებლობის, ავტომატიკისა და ტელემექანიკის კათედრების პროფესორი (1995-1996); საქართველოს საგადასახადო სამსახურის მსხვილგადამხდელთა ინსპექციის გადამხდელთა მომსახურების განყოფილების მთავარი ინსპექტორი (1996-1997). ვლადიმირის სახელმწიფო უნივერსიტეტის გამოყენებითი მათემატიკისა და თეორიული ფიზიკის კათედრის პროფესორი, ვიტესკის სახელმწიფო ტექნოლოგიური უნივერსიტეტის უმაღლესი მათემატიკის კათედრის მიწვეული პროფესორი, ვლადიმირის სახელმწიფო უნივერსიტეტის თეორიული და გამოყენებითი მექანიკის კათედრის გამგე (1997-2000); მოსკოვის საბუღალტრო აღრიცხვის, ანალიზისა და აუდიტის ინსტიტუტის კრასნოდარის წარმომადგენლობის დირექტორი, მოსკოვის სახელმწიფო აღმინისტრირების ინსტიტუტის პროექტორი სამეცნიერო ნაწილში, მოსკოვის ბიზნესისა და პოლიტიკის ინსტიტუტის მათემატიკური და ინფორმაციული უზრუნველყოფის კათედრის გამგე, მოსკოვის ჰუმანიტარული უნივერსიტეტის უმაღლესი მათემატიკის კათედრის პროფესორი (2000-2003); საქართველოს ტექნიკური უნივერსიტეტის მართვისა და ავტომატიზაციის კათედრის სრული პროფესორი, ს/ს “თბილავამშენის” საკონსტრუქტორო ბიუროს თვითმფრინავის ფრთის აეროდინამიკური გათვლების განყოფილების ხელმძღვანელი, სასწავლო ცენტრის დირექტორი (2003-2007); საქართველოს ტექნიკური უნივერსიტეტის, ინფორმატიკისა და მართვის სისტემების ფაკულტეტის საინჟინრო კიბერნეტიკის დეპარტამენტის ხელმძღვანელი (2007-2013). საქართველოს ეროვნული აკადემიისა (1986) და საინჟინრო აკადემიების (2011) აკადემიკოსი. არჩეულია რუსეთის ბიოფიზიკოსთა საზოგადოების წევრად (2002); დაიცვა საკანდიდატო დისერტაცია თემაზე: “დატვირთვების განსაზღვრა, სელურ ნაკადში მოთავსებულ საინჟინრო ნაგებობებზე” (მოსკოვი-1985); სადოქტორო დისერტაცია თემაზე: “ზვავური ტიპის ნაკადების მათემატიკური მოდელირება და განმსაზღვრული პარამეტრების იდენტიფიკაცია” (თბილისი-1995); 15 სახელმძღვანელოს და 5 მონოგრაფიის, 138 სამეცნიერო ნაშრომის ავტორი. აღზრდილი ყავს 11 მეცნიერებათა დოქტორი და 15 მაგისტრი.